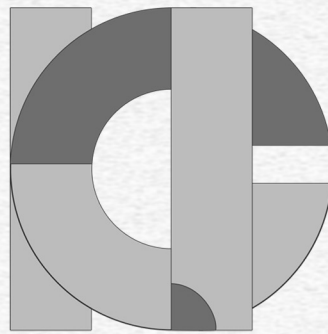


انجمن بتن ایران

ISSN 1735 - 1987

نشریه داخلی انجمن بتن ایران، سال بیست و پنجم، شماره ۹۴، تابستان ۱۴۰۳



تازه ها

۲	خبر انجمن
۴	گزارش مجمع انجمن بتن ایران
۶	گزارش مجمع انجمن علمی بتن ایران
۸	بانیان خانه انجمن
۱۱	پرسش و پاسخ

صاحب امتیاز:
انجمن بتن ایران

مدیر مسؤول:
محمد شکرچیزاده

مسوول کمیته انتشارات:
هرمز فامیلی

مسوول پرسش و پاسخ:
محسن تدین

زیر نظر هیات مدیره:
چینی مهدی، رحمتی علیرضا، رئیس قاسمی
امیرمازیار، شکرچیزاده محمد، کلهری موسی،
فامیلی هرمز، بحیوی ارزنق مهران.

همکاران این نشریه:
حیاتی پرهام، دهشپور امیرابراهیم،
ظاهری علی، عبدالهی تیآب مهدیه،
فیاض محمد، قاسمی مجید
محمدی زاده محمد رضا.

مدیر امور اداری:
عزیز الله بربیجانی

خدمات گرافیکی و امور اجرایی:
همراهان جاده های سبز
صفحه بندي و چاپ: منصور محمدی
تلفن: ۰۹۱۲۶۱۰۲۳۳۱

مقالات علمی

۱۸	- بررسی عملکرد مصالح FRP در تقویت خمشی پنل های بتن پارچه ای
۳۹	- ارزیابی تاثیر پوزولان خاکستری بادی نوع A و میکروسیلیس بر خواص مکانیکی و دوام بتن
۵۴	- بررسی تاثیر رزین پلی استر غیر اشباع به عنوان ماده پرکننده مابین بلوك های رویه بتن بلوكی سطوح پروازی فرودگاه (توقفگاه هوایپیما) بر شاخص FOD و در مواجهه با سوخت هوایپیما

معرفی اعضاء

اعضای حقیقی
اعضای حقوقی
فرم عضویت انجمن علمی بتن
فرم عضویت انجمن بتن ایران

ملاحظات

۱. آرای نویسندهای الزاماً دیدگاه انجمن بتن نیست.
۲. مسئولیت متن آگهی ها به عهده ارائه دهنده آگهی ها است.
۳. نشریه در حک و اصلاح و ویرایش مطالب رسیده آزاد است. مقالات و ترجمه های خود را خوانا و حتی الامکان حروفچینی شده ارسال نمایید.
۴. مقالات ارسال شده بازگردانده نمی شود.
۵. نقل مطلب با ذکر مأخذ آزاد است.
۶. فصلنامه انجمن بتن ایران، نشریه داخلی این انجمن بوده و غیر قابل فروش است.

نشانی دفتر نشریه:

تهران- میدان صنعت (شهرک غرب)- بلوار فرج‌زاده،
نرسیده به ورودی بزرگراه نیایش- خیابان عباسی اناری
پلاک ۸۱ کد پستی: ۱۹۹۸۹۵۸۸۸۳
تلفکس: ۸۸۵۶۰۵۸۸- ۸۸۵۶۰۵۲۸

نشانی اینترنتی انجمن:

www.ici.ir

به نام خداوند هستی بخش

اعضاء گرامی انجمن

بدنبال اعلام اگهی رسمی، مجمع عمومی عادی سالانه انجمن و انتخاب هشتمین دوره اعضا هیات مدیره و بازرسان در روز سه شنبه ۹ مرداد ماه با حضور پرشور اعضای پیوسته انجمن در محل مرکز تحقیقات راه، مسکن و شهرسازی برگزار و اعضای هیات مدیره و بازرسان دوره جدید انتخاب شده و متعاقبا در اولین جلسه هیات مدیره در تاریخ ۱۴۰۳/۰۶/۰۶ ارکان هیات مدیره تعیین شدند.

همچنین جلسات کمیته راهبردی شانزدهمین کنفرانس ملی بتن و بیست و دومین همایش روز بتن که در تاریخهای ۱۵ الی ۱۷ مهرماه در محل مرکز تحقیقات راه، مسکن و شهرسازی برگزار خواهد شد، در ماههای گذشته برگزار شده است. در همین رابطه، برای بررسی علمی و حرفه ای پیش ساختگی در بتن و موانع توسعه آن در کشور مقرر شده است روز بتن امسال با عنوان "بتن و رنجیره تامین با تاکید بر پیش ساختگی" نامگذاری شود. همچنین مقرر شد در مراسم روز بتن پیش رو میزگرد تخصصی با موضوع "راهکارهای توسعه پیش ساختگی و تولید صنعتی ساختمان" با حضور افراد صاحب نظر از مدیران بخش خصوصی، دانشگاهیان و سازمانهای مرتبط دولتی برگزار گردد.

هیات مدیره حاضر لازم می داند در روزهای پایانی مسئولیت خود، از اعتماد اعضا انجمن تشکر و قدردانی نمایند و موفقیت اعضا جدید هیات مدیره را در دستیابی به اهداف عالیه انجمن با همراهی همه اعضای انجمن از درگاه حضرت احادیث مسئلت نمایند. از اهم فعالیت های هیات مدیره فعلی انجمن در طی مدت سه سال گذشته می توان به تکمیل و بهره برداری از ساختمان انجمن بتن، تثبیت مالکیت ساختمان انجمن، اخذ مجوز ساخت سالن اجتماعات انجمن و شروع عملیات اجرایی آن، تشكیل و راه اندازی کمیته های علمی - تخصصی انجمن و چاپ مجموعه راهنمای جامع بتن ساز (دو جلدی) و همایش روز بتن در قالب هفته بتن به مناسبت بیستمین سال فعالیت انجمن در سال ۱۴۰۰ و همچنین برنامه ریزی استراتژی انجمن برای فعالیت دهه سوم و شروع بکار مجدد کمیته آموزش انجمن اشاره نمود.

هیات مدیره انجمن بتن ایران

مهم ترین مصطفیات اخیر هیات مدیره

هیات مدیره انجمن بتن ایران در فصل تابستان از تاریخ ۱۴۰۳/۰۶/۱۱ تا ۱۴۰۳/۰۴/۱۱ جمعاً ۳ جلسه رسمی برگزار نمود. در این جلسات ضمن سازمان دهی امور انجمن، مصوبات و تصمیمات مقتضی در راستای اهداف انجمن اتخاذ شد که به شرح ذیل می باشد.

۱) اتخاذ تصمیم و تصویب موارد جاری انجمن

۲) -پذیرش اعضاء:

در طی این مدت به پیشنهاد کمیته پذیرش و تصویب هیات مدیره تعدادی به عضویت انجمن درآمدند. آخرین آمار اعضاء به شرح ذیل است:

تعداد پذیرفته شده در سه ماهه دوم سال ۱۴۰۳

تعداد اعضای حقيقی جدید: ۴۰، تعداد کل: ۵۱۶۲

تعداد اعضای حقوقی جدید: ۲۰، تعداد کل: ۱۷۷۷

تعداد اعضای دانشجویی جدید: ۱۱، تعداد کل: ۵۱۸۸

تعداد کارداران جدید: ۰، تعداد کل: ۱۰۵

تعداد کل اعضای انجمن بتن: ۱۳۰۳۲

صور تجلیسه مجمع عمومی عادی سالیانه نوبت دوم انجمن بتن ایران

ثبت شده به شماره ۱۲۷۲۳ (مورخ ۱۴۰۳/۰۵/۲۳)

نام تشكل : انجمن بتن ایران (انجمن صنفی فن آوران بتن ایران)

تاریخ برگزاری مجمع : ۱۴۰۳/۰۵/۲۳

محل برگزاری مجمع : سالن اجتماعات مرکز تحقیقات راه، مسکن و شهرسازی

نوع مجمع : عادی نوبت برگزاری: دوم

تاریخ انتشار آگهی / دعوتنامه : نوبت اول ۱۴۰۳/۰۴/۲۴ نوبت دوم : ۱۴۰۳/۰۵/۰۹

نام روز نامه: اطلاعات

۲۵

۲۵۵

تعداد آراء مأخوذه:

تعداد افراد حاضر صاحب رای:

انتخاب اعضای هیات رئیسه به شرح زیر اقدام شد.

۱. آقای محمد رضا رئیس محمدیان به عنوان رئیس

۲. آقای علی اکبر مقیمی آذری به عنوان ناظر

۳. آقای محمد رضا رهبر به عنوان ناظر

۴. خانم غزاله بیعتی به عنوان منشی

آنگاه بر طبق دستور جلسه موارد زیر مورد تصویب و بررسی قرار گرفت

- ارائه گزارش عملکرد هیات مدیره *
- ارائه گزارش بازرگانی هیات مدیره *
- تغییر آدرس انجمن *
- انتخاب بازرگان *

شماره	تصویبات مجمع عمومی
۱	تصویب گزارش هیات مدیره
۲	تصویب گزارش مالی برای دوره مالی از تاریخ ۱۴۰۲/۰۱/۰۱ تا تاریخ ۱۴۰۲/۱۲/۲۹
۳	تصویب گزارش هیات بازرگان
۴	روزنامه اطلاعات بعنوان روزنامه کثیرالانتشار برای درج خبرهای انجمن تصویب شد.
۵	تصویب تغییر آدرس به ساختمان جدید انجمن *
۶	میزان حق عضویت اعضاء به شرح زیر به تصویب رسید
	الف - دانشجویان: ۵۰۰/۰۰۰ ریال
	ب - اعضای حقیقی و کاردار: ۲/۰۰۰/۰۰۰ ریال
	ج - اعضای حقوقی:
	مهندسین مشاور و مراکز آموزشی: ۱۲/۰۰۰/۰۰۰ ریال
	د - اعضای حقوقی پیمانکاران: ۱۳/۵۰۰/۰۰۰ ریال

* آدرس جدید انجمن: تهران- بخش مرکزی، سپهر، کوچه گل آرا، خ شهید مهدی عباسی اناری، پلاک ۸۱،

طبقه همکف، کد پستی: ۱۹۹۸۹۵۸۸۸۳

پس از معرفی نامزدهای عضویت در هیات مدیره و بازرگانی انجمن و اخذ و قرائت آرا نتایج به شرح زیر اعلام شد.

ردیف	نام و نام خانوادگی	سمت در تشکل
۱	آقای محسن تدین	عضو اصلی هیات مدیره
۲	آقای موسی کلهری	عضو اصلی هیات مدیره
۳	آقای مهرداد اشتری	عضو اصلی هیات مدیره
۴	آقای مهران یحیوی ارزنق	عضو اصلی هیات مدیره
۵	آقای آرش گوهري	عضو اصلی هیات مدیره
۶	آقای جاوید خطیبی طالقانی	عضو اصلی هیات مدیره
۷	آقای بابک فروتن مهر	عضو اصلی هیات مدیره
۸	آقای بهتاش امیری	عضو علی البدل هیات مدیره
۹	آقای رحیم واعظی	عضو علی البدل هیات مدیره
۱۰	آقای حسین برزگر	عضو علی البدل هیات مدیره
۱۱	آقای هرمز فامیلی	بازرس اصلی
۱۲	آقای محمد شکرچی زاده	بازرس اصلی
۱۳	آقای ناصر سلمان موحدی	بازرس اصلی
۱۴	آقای پدرام محمدقاسمی	بازرس علی البدل
۱۵	آقای شایان ابی زاده	بازرس علی البدل

در پایان انتخاب شدگان با امضای این برگ قبول مسؤولیت نمودند و مجمع به آقای امیرعباس نظری وکالت تام با حق توكیل به غیر داد تا کلیه امور ثبتی انجمن را در اداره ثبت شرکتها و موسسات غیرتجاری انجام داده و دفاتر مربوطه را امضا کند.



صور تجلیسه مجمع عمومی عادی سالیانه نوبت دوم انجمن علمی بتن ایران
ثبت شده به شماره ۳۰۹۲۷ (مورخ ۱۴۰۳/۰۴/۲۹)

بر اساس دعوتنامه قبلی / اگهی روزنامه مورخ ۱۴۰۳/۰۴/۱۱ جلسه مجمع عمومی عادی نوبت دوم انجمن علمی بتن ایران در ساعت ۱۸/۰۰ روز یکشنبه مورخ ۱۴۰۳/۰۴/۳۱ در محل سالن تالار همایش مرکز همایش های موزه ملی انقلاب اسلامی و دفاع مقدس تشكیل شد. در این جلسه پس از قرائت آیاتی از قرآن مجید در مورد انتخاب اعضای هیات رئیسه جلسه به شرح زیر اقدام شد.

۱. محسن تدبین به عنوان رئیس
۲. هرمز فامیلی به عنوان ناظر
۳. موسی کلهری به عنوان ناظر
۴. مهران یحیوی ارزنق به عنوان منشی

آنگاه بر طبق دستور جلسه موارد زیر مورد بررسی و تصویب قرار گرفت

- دستور جلسه:
- + ارائه گزارش مالی (تراز مالی)
- + ارائه گزارش عملکرد هیات مدیره
- + انتخاب اعضای هیات مدیره
- + ارائه گزارش بازرگانی
- + برنامه راهبردی ۵ ساله انجمن
- + انتخاب بازرگانی

شماره	تصویبات مجمع عمومی
۱	تصویب گزارش هیات مدیره
۲	تصویب گزارش مالی برای دوره مالی از تاریخ ۱۴۰۲/۰۱/۰۱ تا تاریخ ۱۴۰۲/۱۲/۲۹
۳	تصویب گزارش هیات بازرگانی
۴	روزنامه اطلاعات بعنوان روزنامه کشی‌الانتشار برای درج خبرهای انجمن تصویب شد.
۵	تصویب برنامه راهبردی ۵ ساله انجمن
۶	میزان حق عضویت اعضاء به شرح زیر به تصویب رسید. الف - دانشجویان: ۷۰۰/۰۰۰ ریال ب - اعضای پیوسته و وابسته: ۲/۰۰۰/۰۰۰ ریال ج - اعضای حقوقی: ۱۰/۰۰۰/۰۰۰ ریال

**پس از معرفی نامزدهای عضویت در هیات مدیره و بازرگانی انجمن
و اخذ و قرائت آرا نتایج به شرح زیر اعلام شد.**

ردیف	نام و نام خانوادگی	سمت در تشکل
۱	سیدحسین حسینی لواسانی	عضو اصلی هیات مدیره
۲	علیرضا خالو	عضو اصلی هیات مدیره
۳	مهرداد اشتاری	عضو اصلی هیات مدیره
۴	علیرضا باقری	عضو اصلی هیات مدیره
۵	آرش ذوالفقارنسب	عضو اصلی هیات مدیره
۶	جاوید خطیبی طالقانی	عضو اصلی هیات مدیره
۷	ناصر سلمان موحدی	عضو اصلی هیات مدیره
۸	سیدحسام مدنی	عضو علی البدل هیات مدیره
۹	شهریار طاووسی تفرشی	عضو علی البدل هیات مدیره
۱۰	بهتاش امیری	بازرگان اصلی
۱۱	پیام کاظمی اشتیانی	بازرگان اصلی
۱۲	پدرام محمدقاسمی	عضو علی البدل بازرگان

در پایان انتخاب شدگان با امضای این برگ قبول مسئولیت نمودند و مجمع به آقای امیر عباس نظری وکالت تام با حق توکیل به غیر دادند تا کلیه امور ثبتی انجمن علمی بتن ایران را در اداره ثبت شرکتها و موسسات غیرتجاری انجام داده و دفاتر مربوطه را امضا کند.

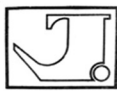


انجمن بتن ایران مراتب سپاس خود را از
بانياں انجمن بتن ایران اعلام می دارد

نقره



شرکت نسران



توسعه سیلوها



کیسون



پرلیت



البرز شیمی آسیا

مجتمع عمرانی ابراهیم

علی امین پور



جهاد نصر حمزه

شرکت ساختمانی
لوزان



آ.اس.پ.



پوزولان



ستاره سیرمان آسیا



طرح و ساخت رایبن

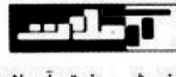
برنز



شرکت ساختمانی تابلیه



سازه های بلندپایه



کفیوش صنعتی آرملاط



عمران پارس



کیکیک ساختمان ایران



فائم بتن ورامین



شرکت آهاب پری پارس Ltd.



گچ امید سمنان



گچ مازندران



شیراز

تقدیر

محمد رضا جواهری

حسین رحیمی

مهندی افشار



ایمان ازیاران

پرسش و پاسخ

جناب آقای دکتر تدین

مواردی در آئین نامه جدید بتن ایران در مورد مواد افزودنی پودری معدنی و مکمل سیمان در فصل ۳ و ۶ وجود دارد که تا حدودی نامفهوم است. بویژه مفهوم ضریب k برای این مواد مورد سوال است. هم چنین در روش ملی طرح مخلوط بتن بویژه در ویرایش سوم چنین ضریبی وجود دارد که نسبت آب به سیمان معادل را مطرح می کند(ظاهراً در ویرایش قبلی نیز بوده است). بطور کلی پرسش های مشخص بنده در زیر بصورت خلاصه وار می آید.

الف: اصولاً مفهوم ضریب k چیست؟

ب: در فصل ۳ در بند ت ۴-۳-۸-۳ در قسمت توضیح و تفسیر گفته شده است که مقدار k به کیفیت مواد جایگزین سیمان، درصد جایگزینی، نوع و رده مقاومتی سیمان مصرفی، مقاومت بتن و نسبت آب به مواد سیمانی بتن بستگی دارد. آیا k یک ضریب ثابت نیست؟

پ: هدف از محاسبه نسبت آب به سیمان معادل یا نسبت آب به مواد سیمانی معادل که در تفسیر و توضیح فصل پنجم(ت ۳-۵-۸) چیست؟ چه تفاوتی با نسبت آب به سیمان یا مواد سیمانی دارد؟ کاربرد آن چیست؟

ث: در فصل ۶ در جدول ۶-۲-۴-۳ در بند ۶ مواد حداقل سیمان یا مواد سیمانی معادل مجدداً از ضریب اصلاح k استفاده شده است. در اینجا نیز ابهاماتی وجود دارد. در مواردی نیز گفته شده است وقتی درصد جایگزینی بیش از حد خاصی می شود از اثر مقادیر بیشتر صرفنظر میگردد. اینها به چه معناست؟

ج: آیا در فصل ۶ یا مواردی که بحث از حداکثر سیمان یا مواد سیمانی به میان می آید نیز ضریب k می تواند مطرح شود و آیا مانند حداقل سیمان یا مواد سیمانی معادل خواهد بود؟ آیا تجاوز از درصد جایگزینی خاصی موجب می شود که از تاثیر مقادیر بیشتر صرفنظر گردد؟

ج: در فصل پنجم (روش طرح مخلوط بتن) در بندهای ۱-۲-۵ تا ۱-۲-۵ به ضریب k برای تعیین نسبت آب به سیمان معادل جهت دستیابی به مقاومت فشاری اشاره شده است اما برخلاف مواردی که در جدول ۷-۶ آبا مطرح شده بود ضریب k عدد ثابتی برای یک ماده جایگزین سیمان نیست. برای مثال ضریب k برای دوده سیلیسی ۲ تا ۴ منظور شده است. چرا این تفاوت وجود دارد؟ هم چنین این ضریب برای سرباره بین ۴/۸ تا ۸/۰ برای خاکستری بادی ۰/۲ تا ۴/۰ برای پوزولانهای طبیعی ۰/۲ تا ۴/۰، برای زئولیت ۸/۰ تا ۱/۲ را، برای متاکائلون بین ۱/۵ تا ۲ داده شده است؟

ح: در روش ملی طرح مخلوط نیز در اعمال محدودیت حداقل عیار سیمان در بندهای ۲-۲-۵ نیز مطالی برای k ذکر شده و گاه k برای مواردی از جمله میکروسیلیس به ۱ محدود شده است چرا؟

به حال در پایان به استحضار می‌رسانم که این ضریب k باعث سردرگمی اینجانب و برخی از دوستان و همکاران شده است. استدعا دارم، ما را از این ابهامات بیرون آورید؟

امیرمسعود سلیمی

مهندسین مشاور سیناب غرب

جناب آقای مهندس سلیمی

درباره مفهوم ضریب k در آئین نامه جدید بتن ایران و هم چنین در ویرایش سوم و حتی ویرایش های قبلی روش ملی طرح مخلوط بتن، پاسخ های مورد نظر در ذیل از نظر جنابعالی خواهد گذشت. امیدوارم بتوانم توضیحات مبسوط و مناسبی را داشته باشم. بهر حال در طی چند سالی که از تدوین آبای جدید می گذرد، جنابعالی اولین فردی بوده اید که در این مورد سوال نموده اید. هر چند از زمانی که این ضریب در روش ملی طرح مخلوط آمده است چندین مورد با پرسش های شفاهی در دوره های روش ملی طرح مخلوط روبرو شده ام که پاسخ مختصری به آن داده شده است.

الف: ابتدا باید بگوییم که ضریب k در EN206 مشاهده شده است و عمدتاً در ارتباط با محدودیت حداقل سیمان (مواد سیمانی) بوده است. این مفهوم سپس

در روش های طرح مخلوط بتن برخی از کشورهای اروپایی دیده می شد. در مورد خلاصه مفهوم ضریب K می توان گفت که هر کیلو از ماده پوزولانی یا سرباره ای معادل چند کیلو از سیمان، عملکرد خواهد داشت. در روش ملی طرح مخلوط بتن و آبای جدید چنین مفهومی ارائه شده است. عملکرد ماده پوزولانی یا سرباره ای می تواند در ارتباط با مقاومت فشاری بتن یا نسبت آب به مواد سیمانی در ارتباط با مقاومت فشاری مطرح گردد. به حال سایر ویژگی های بتن مانند مقاومت کششی یا خمشی را نیز می تواند شامل گردد که کمتر بدان اشاره شده است.

این عملکرد می تواند در ارتباط با دوام بتن حاوی مواد پوزولانی و سرباره ای نیز مطرح گردد. موضوع دوام بسیار گسترده است و به بحث های سایش، يخ زدن و آبشدن پی در پی، نفوذ پذیری و جذب آب، نفوذ یون کلرید و موضوع خوردگی میلگردها، حمله سولفاتی و غیره تقسیم می گردد. برخی از این موارد مانند نفوذ پذیری و جذب آب، آزمایش هایی مختلف و شاخص های متتنوعی دارد. هم چنین در مورد نفوذ یون کلرید و خوردگی، آزمایش هایی همچون $RCPT$ ، مقاومت الکتریکی سطحی و حجمی، هدایت الکتریکی و ضریب انتشار یون کلرید وجود دارد. برای هر کدام از این موارد ضریب K می تواند وجود داشته باشد.

در یکی از نشریات استاندارد اروپا (گزارش فنی) $CEN/TR16639$ مفصلأ در مورد ضریب K و نحوه بدست آوردن آن مباحثی ارائه شده است. ب: همانطور که اشاره فرموده اید در بند ۳-۴-۳-۸-۳-۴ آبای جدید مقدار K را تلویحاً یک مقدار غیر ثابت دانسته است، هر چند در جدول ۷-۶ ضریب K را ثابت در نظر گرفته است، با مراجعه به منابع معتبر مشخص می شود که مقدار K ثابت نیست اما به ناچار گاه بصورت ثابت در نظر می گیرند. کیفیت پوزولان یا سرباره از عوامل موثر در تغییر مقدار K می باشد. بدیهی است این امر بسیار طبیعی است. با توجه به ویژگی های پوزولانی و ویژگی های هیدرولیکی مواد سرباره ای، تاثیر آنها در بتن متفاوت است و K مقاومتی و k مرتبط به پارامترهای دوام آنها نمی تواند یکسان باشد. برای مثال فرض کنید که برای یک

میکروسیلیس، حداقل نسبت مقاومت ملات حاوی آن به ملات سیمان بدون میکروسیلیس در سن ۷ روزه تسریع شده یعنی ۱۰۵ درصد برقرار باشد و برای میکروسیلیس دیگر این عدد ۱۲۵ درصد باشد. بدیهی است رفتار این دومیکروسیلیس در بتن یکسان نیست. این غیر یکسان بودن هم در بحث ضربه مقاومتی و هم در ضربه K دوام تسریع خواهد داشت. هم چنین فرض کنید اندیس هیدرولیکی یک سرباره ۸۰ یا ۱۰۰ یا ۱۲۰ (ردیهای مختلف سرباره طبق استاندارد $EN15167$ یا $ASTMC989$ یا استاندارد ملی ۲۱۳۱۹) باشد. بنابراین نمی‌توان آنها را یک ماده ثابت با K یکسان و ثابت در نظر گرفت. هم چنین درصد جایگزینی آنها نیز بر مقدار K اثرگذار است. برای مثال ۵ درصد جایگزینی میکروسیلیس تا حدودی و ۱۰ درصد جایگزینی آن به شدت تاثیرگذار است (هم بر K مقاومت و هم بر K دوام).

براحتی دیده می‌شود که وقتی رده مقاومتی سیمان تغییر می‌کند مقدار k نیز تغییر می‌کند. هم چنین در نسبت‌های آب به مواد سیمانی تاثیر مواد افزودنی مربوطه تغییر می‌کند بنابراین پر واضح است که k نمی‌تواند ثابت باشد اما ممکن است برای سهولت و هم چنین اضطرار، آنرا در بسیاری از موارد ثابت در نظر بگیریم.

پ: همانطور که اشاره نموده اید در تفسیر بند ۳-۸-۵ آبای جدید، این موضوع بخوبی توضیح داده شده است. زمانی که از نسبت آب به مواد سیمانی یا نسبت آب به سیمان یاد می‌کنیم در مخرج کسر مقدار سیمان (اعم از پرتلند یا آمیخته) و یا مجموع سیمان و مواد چسباننده مکمل می‌آید.

هر ماده ای مانند پوزولانها اعم از طبیعی یا مصنوعی و انواع سرباره‌ها که می‌توانند نقش کمک چسباننده را به همراه سیمان ایفا کنند بعنوان ماده چسباننده و یا مواد مکمل سیمانی تلقی می‌شود و در مخرج کسر به همراه سیمان پرتلند یا آمیخته برای برای محاسبه نسبت آب به سیمان یا آب به مواد سیمانی (چسباننده) می‌آید. در این رابطه باید گفت که موادی مانند پودرسنگ‌های آهکی، سیلیسی و گرانیتی و مشابه آن که نقش چندانی در کسب مقاومت های کوتاه مدت و دراز مدت ندارند و بطور جدی در هیدراته شدن سیمان و

مواد آزاد شده (محصولات هیدراته شدن) وارد نمی شوند، بعنوان ماده مکمل سیمان یا مواد چسباننده شناخته نمی شوند. اما نکته مهم نسبت آب به سیمان معادل یا نسبت آب به مواد سیمانی معادل است که معادل عملکردی نسبت آب به سیمان یا نسبت آب به مواد سیمانی می باشد اعم از اینکه عملکرد مقاومتی یا دوامی مدنظر باشد.

در این رابطه ماده مکمل (چسباننده) با ضریبی بنام k در مخرج کسر ضرب می شود و با سیمان مصرفی جمع می گردد. فرض کنید در روش ملی طرح مخلوط (ویرایش سوم) برای مقاومت فشاری هدف، مقدار ۴۰ مگاپاسکال لازم باشد. در این حالت برای سیمان رده ۳۲۵ و سنگدانه درشت شکسته نسبت آب به سیمان در حدود ۰/۴۵ بعنوان راهنمای نظر گرفته می شود) استفاده از افزودنی های روان کننده نیز در دستور کار بوده است). در این حالت اگر قرار باشد بعنوان مثال از دوده سیلیسی استفاده گردد می توان از نسبت آب به مواد سیمانی بالاتری استفاده کرد که آن نسبت، عملاً همان نسبت آب به سیمان معادل (نسبت آب به مواد سیمانی معادل) نام دارد که می تواند ما را به همان مقاومت ۴۰ مگاپاسکال برساند. هم چنین فرض کنید که مقدار آب آزاد طرح ۱۸۰ و مقدار مواد سیمانی ۴۰۰ بوده است و درصد میکروسیلیس جایگزین نیز ۵

$$\left(\frac{w}{c_m}\right)_e = \frac{180}{380+2\times 20} = 0/43 \quad \text{درصد(یعنی حدود ۲۰ کیلو) باشد}$$

در این حالت بین ۲ تا ۴ در فصل پنجم در روش طی طرح مخلوط (ویرایش سوم) منظور شده است که ما در اینجا همان عدد ۲ را در نظر می گیریم. یعنی این بتن عملاً مشابه بتنی با نسبت آب به مواد سیمانی ۰/۴۵ عمل می کند و مقاومت هدف ۴۲ مگاپاسکال را بدست می دهد.

اگر قرار باشد همان ۴۰ مگاپاسکال را داشته باشیم

$$0/45 = \frac{180}{\text{مواد سیمانی معادل}} \quad \text{میکروسیلیس}*۲ + \text{سیمان} = ۴۰۰ = \text{مواد سیمانی معادل}$$

$$x=367 X+2(0/05*x) = ۳۸۵ \quad \text{جمع مواد سیمانی} \quad \text{کیلو} = ۱۸ = \text{مقدار میکرو سیلیس} \quad \text{کیلو} = 400 \quad \text{بنابراین عملاً این مقدار مواد سیمانی همان کار ۴۰۰ کیلو سیمان را خواهد کرد.}$$

در این مثال اگر بجای دوده سیلیسی از حدود ۳۰ درصد سرباره ایرانی استفاده شود با توجه به آنچه در فصل پنجم ویرایش سوم روش طرح مخلوط بتن آمده

است، مقدار k بین $4/0$ تا $8/0$ داده شده است که در این مثال با توجه به درصد

سرباره و شرایط آن مقدار k برابر $6/0$ منظور می شود. بنابراین علماً

یعنی در این شرایط مقاومت حاصله برابر حدود 33 مگاپاسکال را در سن 28 روز

$$\text{بدست می دهد بنابراین } \frac{180}{\text{مواد سیمانی}} = 0/45$$

$= 400$ (سیمان $* 0/3 + 0/6$ سیمان = مواد سیمانی معادل

$$x + 0/6(0/3*x) = 400 \quad \text{کیلو} = 340 \quad \text{کیلو} = 120 \text{ مقدار سرباره}$$

ج: در بنده $2-3-4$ -آبای سال 1400 و در جدول $7-6$ زمانی که بحث حداقل

سیمان مصرفی یا مواد سیمانی معادل مطرح می شود این ضرائب برای مواد

مکمل سیمانی بکار می رود و لزوماً دلیلی برای اینکه این ضرائب مانند ضرایب

طرح مخلوط باشد وجود ندارد هر چند ممکن است عدههای آنها تا حدودی

شبیه به یکدیگر باشد.

لازم به ذکر است که این بنده و جدول $7-6$ در بحث دوام (فصل 6) آبا آمده است و موضوع مقاومتی مطرح نیست.

مقدار حداکثر جایگزینی در جدول $7-6$ نیز مطرح شده است و در زیر بنده الف

بنده $2-3-4$ - 6 نیز ذکر شده است که اگر در صد جایگزینی این مواد بیش از

مقادیر ذکر شده در جدول $7-6$ باشد از منظور نمودن مقادیر مازاد در محاسبه

حداقل مقدار سیمان معادل، صرفاً برای دوام صرفنظر می گردد در حالی که

برای مقاومت چنین موضوعی مطرح نشده است زیرا مقادیر مازاد از نظر دوام،

کارایی خاصی ارائه نمی دهند.

ج: در بحث حداکثر سیمان مصرفی یا مواد سیمانی مصرفی، سخنی از ضریب k

به میان نیامده است، بنظر می رسد در اینجا اصولاً ضریب k مطرح نیست و

صرفاً مجموع سیمان و ماده مکمل سیمانی موضوعیت دارد و تجاوز از درصد

مجاز جایگزینی نیز مطرح نیست و صرف نظر کردن از مقادیر مازاد نیز

موضوعیت ندارد

ح: در فصل پنجم روش طرح مخلوط بتن (ویرایش سوم) در بندهای $1-1-2-5$ تا

$5-1-2-5$ ، ضریب k عمده از نظر مقاومتی آمده است به حال از نظر دوام هم

تفاوت در ضریب می تواند موضوعیت داشته باشد. در آبای سال 1400 این

ضریب صرفاً در مورد دوام است و ثابت فرض شده است در حالی که می‌تواند ثابت نباشد زیرا پارامترهای دوام بسیار گوناگون هستند. در این مورد تحقیقات محدودی انجام شده است. آقای مهندس خانی هم اکنون در دانشگاه صنعتی شاهروд به این موضوع پرداخته‌اند و تحت نظر اینجانب در حال تحقیق خود در دوره دکترا هستند و نتایج اولیه ایشان نشان می‌دهد که k در بحث دوام نمی‌تواند برای یک نوع ماده مکمل سیمانی برای پارامترهای مختلف دوام همچون جذب آب نیم ساعته، $RCMTRCPT$ ، مقاومت الکتریکی و حتی یخ‌بندان و دوام در برابر حمله سولفاتها، سایش و غیره یکسان باشد.

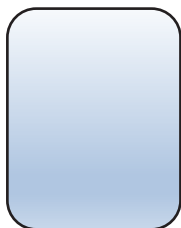
خ: در روش ملی طرح مخلوط همانطور که در عنوان بند ۵-۲-۲ ذکر شده است محدودیت عیار مواد سیمانی از نظر دوام مطرح گشته است و بنابراین وقتی درصد میکروسیلیس (تصویر جایگزین) بیشتر از ۱۰ درصد و نسبت آن به سیمان از ۱۱ درصد بیشتر می‌شود مقدار اضافی در محاسبه وارد نمی‌گردد. همچنین وقتی نسبت آب به سیمان بزرگتر از $45/0$ باشد و بتن در معرض یخ‌بندان و آبشدن و هم چنین کربناته شدن واقع گردد، مقدار K برای میکروسیلیس عملاً برابر ۱ منظور می‌شود یعنی از نظر دوام خاصیت مثبتی را دارا نمی‌باشد.

در پایان اميدوارم که این موضوع پرابهام برای همه دست اندکاران بخوبی روشن شده و ابهام زدائی شده باشد.

محسن تدین

انجمن بتون ایران

بررسی عملکرد مصالح FRP در تقویت خمشی پنل‌های بتن پارچه‌ای



محمدفیاض

استادیار، دانشکده مهندسی عمران
دانشگاه جامع امام حسین



علی طاهری

کارشناسی ارشد سازه، دانشکده مهندسی عمران
دانشگاه جامع امام حسین عضو
حقیقی انجمن بتن ایران

چکیده

بتن پارچه‌ای یک کامپوزیت تشکیل شده از پارچه اسپیسر^۱ سه‌بعدی است که از طریق جای‌گیری و آغشته نمودن آن با مواد سیمانی ساخته و پس از هیدراته شدن، سخت می‌گردد و یک لایه بتنی نازک، بادوام، ضدآب و مقاوم در برابر آتش را ایجاد می‌کند. از این ماده بتنی برای کاربردهای مختلفی از جمله ساخت سازه‌های سریع الاصداث، لاینینگ کانال‌ها، پایدارسازی و تثبیت ترانشه‌ها، دیواره مخازن و ساخت سنگرهای دفاعی استفاده می‌گردد. از مزیت‌های اصلی بتن پارچه‌ای آن است که می‌توان آن را با سرعت بالا، حداقل تجهیزات و در جبهه‌های کار پیچیده مورد استفاده قرارداد. با این حال، بتن پارچه‌ای دارای کاستی‌هایی در خواص مکانیکی خود و به طور خاص در مقاومت خمشی خود می‌باشد. که استفاده از ماده را با محدودیت‌هایی مواجه می‌نماید. در مقابل کامپوزیت تقویت‌شده با الیاف (FRP) دارای مزایای فراوانی چون وزن سبک، استحکام بالا، مقاومت در برابر خوردگی مناسب، تغییرشکل پلاستیک بالا و مقاومت در برابر خستگی می‌باشد، به همین سبب امروزه از مصالح FRP به طور گسترده‌ای جهت بهبود مقاومت خمشی سازه‌ها و مقاومت سازی آن‌ها استفاده می‌گردد. در همین راستا این پژوهش به بررسی استفاده از مصالح کامپوزیتی FRP در تقویت خمشی بتن پارچه‌ای می‌پردازد. در این بررسی از الیاف‌های شیشه (GFRP) و کولار (AFRP) در تعداد لایه‌های مختلف و نیز ترکیبات این الیاف‌ها با یک دیگر در دو تنوع تار و پود، تحت بار خمشی جهت تقویت بتن پارچه‌ای استفاده گردیده است، که نتایج حاصل از آن نشان می‌دهد تقویت بتن پارچه‌ای با مصالح FRP می‌تواند به طور موثری بر ارتقاء استحکام خمشی بتن پارچه‌ای موثر باشد، به نحوی که استفاده از الیاف شیشه و کولار به ترتیب سبب افزایش ۴/۶۴ و ۶/۵۹ برابری مقاومت خمشی پنل‌های بتن پارچه‌ای نسبت حالت فاقد تقویت گردیده است.

کلمات کلیدی: بتن پارچه‌ای، مقاومت خمشی، تقویت، الیاف شیشه (GFRP)، الیاف کولار (AFRP).

۱- پارچه‌های اسپیسر منسوجاتی هستند که از ترکیب دو لایه پارچه حلقوی مجزا که توسط نخ‌های مونوفیلامنت به یکدیگر متصل شده اند ساخته و تولید می‌گردد. پارچه اسپیسر یکی از اجزا تشکیل‌دهنده بتن پارچه‌ای است که جهت تامین انعطاف‌پذیری محصول و جلوگیری از رشد ترک در کامپوزیت بتن پارچه‌ای مورد استفاده قرار می‌گیرد.

مقاومت، عمل آوری، کنترل کیفیت و دوام این ماده ساختمانی شاهد هستیم.

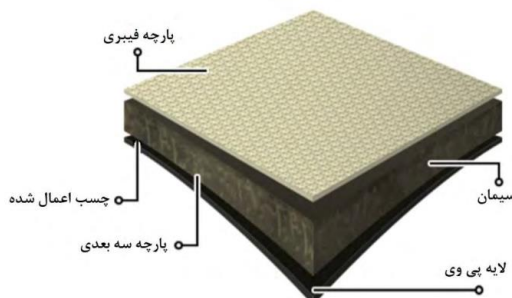
در سالیان اخیر با ایجاد تغییرات و ابتكارات نوآورانه، محصولات جدیدی در حوزه سازه‌های بتنی ارائه گردیده است. از جمله این ابتكارات می‌توان به بتن پارچه‌ای که نوع خاص و جدیدی از این مصالح ساختمانی می‌باشد اشاره نمود. بتن پارچه‌ای یک محصول کامپوزیتی انعطاف‌پذیر مت Shank از پارچه‌های سه بعدی آگوچه به پودر سیمان است که در صورت پاشیده شدن آب بر روی سطح آن، در مدت زمان کوتاهی (بسته به نوع سیمان مصرفی متفاوت است) سخت شده و لایه‌ای نازک، بادوام، ضدآب و مقاوم دربرابر آتش ایجاد می‌کند [۴]. بتن پارچه‌ای اولین بار در سال ۲۰۰۵ میلادی توسط بروین و کرافورد ارائه گردید. این محصول امروزه صنعتی سازی گردیده و کشورهای مختلفی اقدام به تولید این محصول نموده‌اند. با توجه به اینکه شرکت Concrete Canvas نخستین بار اقدام به تولید صنعتی این محصول نمود امروزه نیز این محصول با همین نام، بتن CC معرفی می‌گردد [۵]. همان طور که در شکل ۱ ارائه گردیده است، این محصول از پارچه‌های رئوسانتیک تشکیل شده است که شامل سطح رویی، پارچه‌ی سه بعدی پرشده با مواد سیمانی خشک با فرمولاسیونی خاص و یک لایه PVC در زیر آن تشکیل گردیده است. عمل آوری این محصول از دو طریق اسپری نمودن آب و یا غوطه‌ور شدن کامل در آب صورت می‌گیرد و پس از هیدراتاسیون آن و در مدت ۲۴ ساعت به حدود نهایت مقاومت خود خواهد رسید [۶]. سرعت اجرا بتن پارچه‌ای در

بتن به عنوان پر مصرف‌ترین مصالح ساختمانی با مصرف بیش از ۱۳ میلیارد تن در سال جایگاه ویژه‌ای را در ساخت انواع سازه‌ها در جهان را دارد می‌باشد [۱]. به عبارت دیگر بتن ساخته شده از سیمان پرتلند پر مصرف‌ترین نوع مصالح ساختمانی است که در پروژه‌های عمرانی در سراسر دنیا مورد استفاده قرار می‌گیرد [۲]. دلایل این پیشگامی بتن متعدد است و از مهمترین آن‌ها می‌توان به اقتصادی بودن بتن، در دسترس بودن اجزای تشکیل‌دهنده آن نسبت به سایر مصالح ساختمانی، خواص مهندسی مطلوب، دوام بالا و شکل‌پذیری مناسب آن اشاره نمود. همچنین متنوع بودن و تطابق‌پذیری بتن با سازه‌های مختلف و هزینه نگهداری اندک آن در طول عمر بهره‌برداری از سازه را می‌توان از دیگر دلایل استفاده گسترش داد این ماده ساختمانی دانست [۳]. از سوی دیگر بتن در میان سایر مصالح ساختمانی تنها ماده‌ای است که با استفاده از مواد قابل دسترس محلی در هر پروژه ساخته می‌شود و لذا چنانچه مصالح و اجزا تشکیل‌دهنده بتن و عمل آوری آن به نحو مطلوب و مناسب با شرایط بهره‌برداری مورد نظر، صورت نپذیرفته باشد، این فرآیند غیراستاندارد و ناقص در تولید بتن موجب عدم دستیابی به اهداف مورد نظر در طراحی سازه بتنی می‌گردد. همین امر پژوهشگران و محققین حوزه بتن را بر آن داشت تا با ایجاد تغییراتی در این ماده ساختمانی ضمن حفظ خاصیت بتن بر کارایی، کیفیت و دوام آن بیفزاید و از این رو امروزه تغییرات گسترده و قابل توجیهی را در خصوص

به خصوص در کاربردهای نظامی و دفاعی این محصول با هدف حفظ جان افراد و تجهیزات و امکانات یک ضرورت قلمداد می‌گردد. بتن پارچه‌ای یک ماده کامپوزیتی است که از ماتریس سیمان و پارچه اسپیسر سه بعدی تشکیل شده است و لذا عملکرد بتن پارچه‌ای تابع خواص ماتریس سیمانی، مقاومت پارچه اسپیسر سه بعدی و اتصال و یکپارچگی میان آن‌ها می‌باشد. ماتریس سیمان به عنوان جز برابر بتن پارچه‌ای، شامل ویژگی‌های سیمان، کیفیت پرکنندگی پارچه و مواد افزودنی موجود در سیمان می‌باشد که نقش به سزایی در عملکرد بتن پارچه‌ای در برابر بارگذاری‌های مکانیکی و دینامیکی این محصول دارد [۹]. به علاوه خواص، کسر حجمی و الگوی هندسی پارچه اسپیسر نیز تأثیر مهمی بر خواص و ویژگی‌های کامپوزیت دارد. بر همین اساس روش‌ها و رویکردهای تقویت بتن پارچه‌ای در برابر بارهای مکانیکی نیز به طور عمده مبتنی بر همین دو حوزه می‌باشد. علاوه بر آنکه استفاده از تقویت‌کننده‌های خارجی و مصالح کامپوزیت FRP نیز به سبب وزن سبک، استحکام بالا، مقاومت در برابر خوردگی، تغییر‌شکل پلاستیک بالا و مقاومت در برابر خستگی می‌تواند به طور موثری کاستی‌های استحکام و مقاومت در برابر نفوذ ضعیف بتن پارچه‌ای را جبران نماید. در ادامه تعدادی از مهم‌ترین پژوهش‌های صورت گرفته با هدف ارتقاء خواص مکانیکی بتن پارچه‌ای ارائه می‌گردد.

بی‌پ و همکاران [۱۰]، به بررسی خواص فیزیکی و مکانیکی پارچه‌های اسپیسر پرداختند. نتایج این پژوهش نشان می‌دهد هم نفوذپذیری هوا و هم

مقایسه با بتن معمولی ۱۰ برابر سریع‌تر است. این محصول به صورت رول شده تولید و در ضخامت‌های ۱۰، ۸ و ۱۲ میلی‌متر متروبا عرض ۱۱۰ تا ۲۲۰ سانتی‌متر و با طول‌های متفاوت تولید می‌گردد.



شکل ۱- اجزای تشکیل‌دهنده بتن پارچه‌ای (CC)

بتن پارچه‌ای دارای مزایایی فراوانی همچون نصب سریع، اجرای آسان، دوام بالا، سازگاری با محیط زیست، مقاومت در برابر حملات مواد شیمیایی و خوردگی و همچنین هزینه تمام‌شده پایین می‌باشد. از این محصول می‌توان در تثبیت خاکها و ترانشه‌ها، ترمیم و تقویت دیوارهای و گایبیون‌ها، لاینینگ کانال‌ها، خروجی مخازن و سرربیزهای پد بالگرد، دیواره مخازن و پالایشگاه‌ها و نیز ساخت پناهگاه‌ها و سنگرهای سریع الاحادث استفاده نمود [۷]. با وجود چشم‌انداز بسیار گسترده‌ی استفاده از بتن پارچه‌ای به خصوص در کاربردهای آن در ساخت سازه‌های سریع الاحادث، پناهگاه‌ها و سنگرهای، و همچنین در مخازن و پالایشگاه‌ها، این متریال دارای ضعف‌هایی در خواص مکانیکی خود از جمله مقاومت خمشی خود می‌باشد؛ که موجب محدودیت وايجاد چالش‌هایی در استفاده از این محصول ارزشمند می‌گردد. [۸] لذا با توجه به ضعف‌های موجود در بتن پارچه‌ای ارتقاء، مقاوم‌سازی و بهبود خواص مکانیکی این متریال به منظور استفاده گسترده‌تر و با خواص بهتر

پارچه و شیوه تهیه مناسب سبب گردیده تا خیز بیشتری توسط کامپوزیت تحمل و رفتار کلی کامپوزیت نیز شکل پذیرتر گردد

با^۱ و همکاران [۱۳]، مکانیزم و نحوه تأثیر پنج نوع سیمان مورد استفاده، به عنوان ماتریس سیمانی بتن پارچه‌ای (یعنی سیمان منیزیم- فسفات، سیمان کلسیم سولفو-آلومینات، سیمان منیزیم - کلرید، سیمان با آلومینا بالا و سیمان پرتلنن) را بر روی مقاومت فشاری بتن پارچه‌ای مورد مطالعه قراردادند.

گوئو^۲ و همکاران [۱۴] نیز کاربرد سیمان منیزیم فسفات را به عنوان ماتریس در بتن پارچه‌ای بررسی کرد و به استحکام نسبتاً بالایی دست یافت. با این وجود، نمونه‌ها نسبت به هالوژنه شدن، سوره‌زدن و سفت شدن (گیرش نهایی) بیش از حد سریع و حساس بودند و همچنین تهیه و کنترل شاخص‌های مواد اولیه مشکل بود. با توجه به چگالی ظاهری پایین قبل و بعد از سفت شدن (گیرش نهایی) و تخلخل بالای بتن پارچه‌ای تجاری، کائو^۳ و همکاران نیز طی پژوهشی، به بررسی اصلاح سیمان پرتلنن و سیمان سولفات-آلومینیوم^۴ را آزمایش کردند. با توجه به قابلیت افزایش حجم ایندریت، کائو [۱۵]

اثرات قبل از افزودن ایندریت را نیز مقایسه کرد و پارچه الیاف ۱۰۰ درصد پلی‌استری را به کار برد. با

هدایت حرارتی ارتباط نزدیکی با تراکم پارچه دارد. به علاوه خواص خواص فشرده‌سازی و مقاومت فشاری نیز بسیار به نوع نخ اسپیسر و آرایش نخ مورد استفاده در پارچه اسپیسر بستگی دارد. همچنین مشخص گردید خواص خمثی پارچه اسپیسر نیاز ارتباط نزدیکی با نوع پارچه، ساختار، نوع نخ و چگالی آن دارد، در حالی که خواص کششی به نوع پارچه و نوع نخ اسپیسر وابسته می‌باشد بنابراین، انتخاب دقیق پارچه اسپیسر با توجه به کاربرد مورد نظر آن از اهمیت خاصی برخوردار می‌باشد. همو^۵ و همکاران [۱۱]، به بررسی و شبیه‌سازی رفتار پارچه اسپیسر سه بعدی و عوامل موثر بر تغییر شکل فشاری آن پرداختند. آنان در بررسی از روش‌های عددی برای تحلیل مکانیسم فشرده‌سازی پارچه اسپیسر سه بعدی بر اساس ویژگی‌های ساختاری آن و تحلیل عملکرد فشاری پارچه اسپیسر را مورد استفاده قراردادند. نتایج بدست آمده در این پژوهش نشان می‌دهد فرآیند تولید و پس از تولید پارچه می‌تواند به طور قابل ملاحظه‌ای ساختار پارچه اسپیسر سه بعدی را موثر باشد. وانگ و همکاران [۱۶]، به بررسی اثر تقویتی و ارتقا خواص مکانیکی فوم‌ها و ملات‌های سیمانی با استفاده از پارچه مشبك ساندویچی سه بعدی (WLSF) پرداختند. پارچه سه بعدی مورد استفاده شامل منسوجی بافته شده است که دو صفحه پارچه‌ای در دو طرف آن به وسیله نخ‌های اتصال دهنده آن‌ها را به هم متصل می‌کند. در این مطالعه با استفاده از پارچه WLSF ظرفیت- خمثی کامپوزیت تولید شده، نسبت به نمونه مسلح نشده چهار برابر شده است؛ و همچنین استفاده از

¹ Bao B

² Guo Y

³ Cao P

⁴ sulfate-aluminum cement

می‌دهد. همان‌طور که اشاره گردید بتن پارچه‌ای علی‌رغم مزایای فراوان خود دارای ضعفهایی در خواص مکانیکی و به طور خاص مقاومت خمشی خود می‌باشد، در مقابل مصالح کامپوزیت تقویت شده با الیاف (FRP) دارای مزایای فراوانی از جمله، وزن سبک، استحکام بالا، مقاومت در برابر خوردگی، تغییر شکل پلاستیک بالا و مقاومت در برابر خستگی می‌باشد. لذا این پژوهش به بررسی اثر تقویتی مصالح FRP بر ارتقاء مقاومت و عملکرد خمشی بتن پارچه‌ای می‌پردازد. در این پژوهش از دو نوع الیاف شیشه و آرامید (کولار) جهت تقویت بتن پارچه‌ای استفاده شده است تا ضمن بررسی نحوه تاثیر و عملکرد الیاف‌های شیشه و آرامید (کولار) در تعداد لایه‌های مختلف و همچنین طرح‌های ترکیبی این ۲ الیاف، ارتقاء مقاومت خمشی و شکل‌پذیری این متریال در تقویت با مصالح FRP مورد بررسی قرار گیرد.

۲- برنامه آزمایشگاهی

۲-۱- مواد و مصالح

همان‌طور که اشاره گردید بتن پارچه‌ای از دو جز اصلی پارچه اسپیسر سه بعدی، مخلوط سیمانی به همراه لایه آب‌بند کننده PVC تشکیل شده است. به عبارت دیگر بتن پارچه‌ای شامل یک پارچه اسپیسر سه بعدی است که با یک مخلوط سیمانی خشک با فرمول خاص آگشته و پرسه شده است. و همچنین یک پوشش PVC در پشت نمونه نیز موجب ضد آب شدن نمونه و جلوگیری از بیرون ریختن سیمان از داخل حفرات پارچه اسپیسر می‌شود. در این پژوهش در ساخت تمامی نمونه‌های بتن پارچه‌ای مورد بررسی، از پارچه اسپیسر سه-

طرفه نانولوله کربنی (CNT) اصلاح شده، با وزن مولکولی بالا پلی اتیلن (UHMWPE) به جای PVC در قسمت زیرین نمونه‌ها استفاده نمودند. ژانگ و همکاران [۱۹]، به منظور بهبود خواص مکانیکی بتن‌پارچه‌ای استفاده از ورق‌های FRP را بر روی بتن پارچه‌ای مورد بررسی قراردادند. نتایج نشان می‌دهد که در بتن پارچه‌ای پس از تقویت با کامپوزیت تقویتشده با الیاف خارجی (FRP)، بهبودهای قابل توجهی در استحکام کششی، خمشی آن ایجاد گردیده است. نتایج حاصل از این مطالعه نشان می‌دهد استفاده از الایاف آرامیدی (کولار) سبب ارتقاء خواص مکانیکی بتن پارچه‌ای از جمله مقاومت کششی و خمشی آن می‌گردد. در سال ۲۰۲۱، جیانگانگ نیو و همکاران [۲۰]، به بررسی تأثیر شکل مقطع ستون‌ها بر ویژگی‌های مکانیکی بتن پارچه‌ای تقویت‌شده (مسلح) با الیاف کربن پرداختند. در این مطالعه، از بتن پارچه‌ای و پلیمر تقویت‌شده با الیاف کربن (CFRP) برای تقویت ستون‌هایی با سطح مقطع مربع، هشت ضلعی، دایره‌ای و بیضی استفاده شد. نتایج این پژوهش نشان داد استفاده از بتن پارچه‌ای و الیاف کربن به طور محسوسی سبب افزایش مقاومت فشاری ستون‌ها می‌گردد، به علاوه استفاده از بتن پارچه‌ای بر روی نمونه‌های فشاری تقویت‌شده با الیاف کربن، شکل‌پذیری ستون را به طور قابل توجهی بهبود می‌بخشد و تا حدی نیز ظرفیت باربری آن را افزایش

^۶ Jiangang Niu

همچنین نمونه صنعتی تولید داخل، از سیمان پرتلند تیپ ۲ تولید کارخانه سیمان تهران، به عنوان مخلوط سیمانی در ساخت نمونه‌های بتن پارچه‌ای استفاده شده است، که ویژگی‌های و نحوه ترکیبات موجود در آن در جداول ۲ ارائه گردیده است.

جدول ۲- خواص فیزیکی سیمان پرتلند تیپ ۲ مورد استفاده

مقدار	استاندارد مربوطه	ویژگی	
۲۸۰۰ cm ² /gr	ASTMC204	میزان نرمی بدست آمده تست بلین	
۱۴۰	ASTMC82	اولیه (دقیقه)	زمان گیرش
		ثانویه (دقیقه)	
۲۱۰	ASTMC109	۳ روزه	مقاومت فشاری
		۷ روزه	
		۲۸ روزه	
۲۰. kg/cm ²			
۲۸. kg/cm ²			
۳۸. kg/cm ²			

مواد مرکب FRP از دو جز اصلی تشکیل گردیده‌اند که عبارتند از: الیاف تقویت کننده و ماتریس پلیمری یا ماده زمینه. استفاده از الیاف، در صالح FRP سبب استحکام بخشی و مقاومت ماده کامپوزیتی در برابر تنش‌های اعمالی می‌گردد. ماده زمینه نیز الیاف تقویت کننده را به یکدیگر و سطح مورد تقویت متصل می‌کند و به مواد FRP، شکل و استحکام می‌بخشد. در یک کامپوزیت FRP الیاف به عنوان عضو باربر اصلی محسوب می‌گردد در حالی که ماتریس زمینه آن‌ها در محل و آرایش مطلوب نگهداشته است و به عنوان یک محیط منتقل کننده بار بین الیاف عمل می‌کند به علاوه آن‌ها را از آسیب‌های محیطی در اثر افزایش دما یا رطوبت حفظ می‌کند در این پژوهش از دو نوع الیاف شیشه (GFRP) و کولار (AFRP) در طرح‌های ۱ و ۲ لایه به صورت تک الیاف و طرح‌های ترکیبی ۳ و ۴ لایه این دو الیاف، به منظور تقویت خمثی پنل‌های بتن

بعدی بافت شده با ناخهای پلی اتیلن ترفتالات (PET) استفاده شده است. ویژگی‌های نخ پارچه اسپیسر PET مورد استفاده در ساخت نمونه‌های بتن پارچه‌ای مطابق با جدول ۱ می‌باشد. پارچه‌های اسپیسر ترکیبی از دو لایه پارچه حلقوی مجزا هستند. که توسط نخهای مونوفیلامنت مطابق به یکدیگر متصل شده‌اند. پارچه اسپیسر مورد استفاده در بتن پارچه‌ای دارای یک وجهه متراکم و یک وجهه مش مانند می‌باشد و در فضای میان این دو دو لایه پارچه نخهای اسپیسر قرار گرفته‌اند که این دو لایه را به یکدیگر وصل کرده‌اند.

برای بافت این نوع پارچه از نخهای باریک و نازکی استفاده شده‌است تا محصول دارای انعطاف مناسبی باشد. در جدول ۱ ویژگی‌های پارچه اسپیسر مورد استفاده در ساخت نمونه‌های بتن پارچه‌ای آورده شده است. درواقع هدف استفاده از پارچه اسپیسر در بتن پارچه‌ای، شکل پذیری بتن پارچه‌ای و ممانعت از رشد ترک‌های کششی و خمثی در پنل‌های بتن پارچه‌ای می‌باشد.

جدول ۱- مشخصات پارچه اسپیسر

نوع پارچه	عرض (Cm)	ضخامت (mm)	مقدار تراکم نخ پارچه (1/cm ²)
PET	۱۱۰	۱۳	۷۰

دومین جز تشکیل‌دهنده بتن پارچه‌ای فاز سیمان آن می‌باشد. در بتن پارچه‌ای سیمان نقشی حیاتی داشته و به عنوان عامل مقاومتی در بتن پارچه‌ای می‌باشد به عبارت دیگر تقریباً تمام خواص مقاومتی بتن پارچه‌ای اعم از خواص مکانیکی از جمله خمش آن تا حد زیادی به سیمان به کار رفته در بتن پارچه‌ای بستگی دارد. که ماده را سخت و جامد می‌کند و آن را از یک پارچه انعطاف پذیر به یک لایه بتن بادوام تبدیل می‌کند. در این بررسی به منظور انطباق و مقایسه بهتر نتایج با پژوهش‌های گذشته و

پارچه‌ای می‌باشد مخلوط سیمان می‌باشندی در سرتاسر پارچه اسپیسر به صورت یکنواخت و همگن توزیع گردد. به همین دلیل استفاده از میزلرzan مکانیکی در حین ریختن مخلوط سیمانی به داخل حفرات پارچه اسپیسر ضروری می‌باشد، تا همه سطح پارچه به صورت همگن و یکنواخت به سیمان آغشته گردد. سپس لایه پی‌وی‌سی آغشته به چسب هاتملت که پیشتر در دمای ۱۱۰ درجه سانتی‌گراد ذوب شده و حالت کاملاً روان و نرمی دارد به جهت آببندکردن نمونه‌ها و جلوگیری از بیرون ریختن مواد سیمانی موجود در پارچه اسپیسر بر روی و وجه پشتی نمونه‌ها چسبانده می‌شود. نمونه‌ای از پنلهای ساخته شده در شکل ۲ ارائه گردیده است.



شکل ۲- پنل ساخته شده بتن پارچه‌ای پیش از اسپری نمودن آب رسانی و عمل آوری

پس از گیرش و خشک شدن چسب و اتصال ورقه پی‌وی‌سی به بتن پارچه‌ای، پنلهای بتن پارچه‌ای از وجه رویی خود(پارچه فیبری) مطابق استاندارد آب به صورت اسپری شده با دمای ASTMD8030 ۱۹ درجه سلسیوس و به صورت یکسان در تمامی نواحی پنلهای پاشگردید. سپس به جهت تکمیل فرآیند گیرش اولیه سیمان در دما و طوبت استاندارد قرار می‌گیرند تا فرآیند هیدراتاسیون سیمان تکمیل گردد. پس از ۲۴ ساعت و با تکمیل گیرش ابتدایی پنلهای پارچه‌ای به حوضچه آب با دمای 24 ± 2

پارچه‌ای استفاده شده است. الیاف شیشه مورد استفاده از نوع الیاف شیشه ۲۰۰ گرمی ریزبافت Plain، از نوع E-glass، استفاده شده است با تراکم ۱۰۰ درصد، ساخت کشور چین و تهیه شده از شرکت ایران کامپوزیت استفاده گردیده است. همچنین الیاف کولار مورد استفاده نیز از نوع الیاف کولار ۴۹، ۲۰۰ گرمی و به صورت بافت Plain ساخت کشور چین و تهیه شده از شرکت ایران کامپوزیت می‌باشد. خصوصیات فیزیکی و مکانیکی الیاف شیشه و کولار مورد استفاده در تقویت‌های بتن پارچه‌ای در جدول ۳ ارائه گردیده است. در این پژوهش از رزین اپوکسی LR630 تولید شرکت ایران کامپوزیت به عنوان ماتریس زمینه، جهت اتصال ورقهای FRP شیشه و کولار به سطح بتن پارچه‌ای استفاده شده است. که خواص آن در جدول ۳ ارائه گردیده است.

جدول ۳- خواص مکانیکی مصالح FRP مورد استفاده

نوع	دانسیسته (Kg/m ³)	کششی (GPa)	مقاومت کششی (MPa)	مدول (GPa)
شیشه	۲۱۰۰	۲۸۰۰	۷۲	
آرامید(کولار)	۱۴۷۹	۳۷۹۲	۱۳۰	
رزین اپوکسی	۱۱۵۰	۶۲	۳/۵۱	

۲-۲- نحوه ساخت نمونه‌های بتن پارچه‌ای

برای ساخت نمونه‌های بتن پارچه‌ای ابتدا پنلهای پارچه اسپیسر در ابعاد 30×30 سانتی‌مترا ماده گردید، سپس سیمان پرتلند تیپ ۲ از وجه مشدار (پشتی)

پارچه اسپیسر به درون پارچه ریخته شد. از آنجا که از آنجا که مقاومت بتن پارچه‌ای در برابر بارهای مکانیکی تا حدود زیادی وابسته به فاز سیمانی بتن

تقویتی با استفاده از غلتک، هوای موجود میان ورقهای تقویت و بتن پارچهای خارج گردید و سپس لایه تقویت بعدی بر روی سطح بتن پارچهای چسبانیده شد.

در این پژوهش طرح‌های تقویت با استفاده از الیاف شیشه (GFRP) و کولار (AFRP) در تعداد لایه‌های ۱، ۲ و ۳ و همچنین طرح‌های تقویتی ترکبی الیاف شیشه و کولار شامل طرح لایه شیشه / لایه کولار، لایه شیشه / لایه کولار و لایه کولار / لایه شیشه، در دو تنوع تار و پود ساخته و مورد ارزیابی مقاومت خمی قرار گرفت. توجه به اینکه یکی از اهداف مطالعه حاضر بررسی تاثیر بافت پارچه اسپیسر سه بعدی بر مقاومت خمی بتن پارچه‌ای با و بدون تقویت می‌باشد کلیه نمونه‌های بتن پارچه‌ای شاهد و تقویت شده در هر طرح در دو جهت تاری و پودی اجرا و در مجموع ۲۰ طرح در سه تکرار برای هر یک از جهت‌های تار و پود ساخته شد. پنل‌های بتن پارچه‌ای پس از تقویت با مصالح FRP مطابق دستورالعمل شرکت سازنده به منظور کسب حداقل مقاومت ماتریس پلیمری به مدت ۱۴ روز مورد عمل آوری قرار و پس از آن جهت تست خمی مورد آماده‌سازی قرار گرفت.

۴-۲- آزمایش تعیین مقاومت خمی بتن

پارچه‌ای تقویت شده با مصالح FRP

بر اساس استاندارد ASTM D8364 [۲۲] که استاندارد مرجع تعیین خواص بتن پارچه‌ای می‌باشد. مقاومت خمی بتن پارچه‌ای بر اساس استاندارد ASTM D8058 تعیین می‌گردد. مطابق استاندارد GCCM، نمونه‌ی ASTMD8058 هیدراته شده که فرایند عمل آوری مدنظر برای آن تکمیل گردیده شده باشد، تحت آزمایش خمی سه نقطه با بار

منتقل و تاسن مورد نظر در داخل حوضچه نگهداری گردیدند [۲۱]. با توجه به آنکه بر اساس استاندارد و پژوهش‌های صورت گرفته نظری، همان و همکاران [۱۷]، لی و همکاران [۱۸]، زانک و همکاران [۱۹]، که ارزیابی مقاومت خمی بتن پارچه‌ای را در سن ۱۰ روز مورد ارزیابی قرار دادند و به منظور مقایسه نتایج بدست آمده با مطالعات پیشین پنل‌های بتن پارچه‌ای تاسن ۱۰ روز مورد عمل آوری و کیورینگ قرار گرفتند و سپس از حوضچه‌ها خارج شده و به مدت ۲۴ ساعت در دمای استاندارد خشک شده و سپس با استفاده از مصالح FRP تقویت گردیدند.

۲-۳- نحوه تقویت پنل‌های بتن پارچه‌ای با مصالح FRP

پس از آنکه نمونه‌های بتن پارچه‌ای از حوضچه‌های آب خارج شده و در شرایط آزمایشگاهی خشک گردیدند کار تقویت نمونه‌ها با استفاده الیاف شیشه و کولار بر روی آن‌ها آغاز گردید. بدین منظور ابتدا سطح نمونه‌ها جهت اتصال بهتر با مصالح FRP با استفاده از دستگاه هوادهی و برس پلاستیکی به آرامی و به نحوی که موجب آسیب دیدن بافت پارچه نگردد تمیز گردید. در مرحله بعد رزین و هاردنر باید با نسبت ارائه شده در دیتاشیت سازنده رزین اپوکسی LR630، رزین به میزان ۳۰۰ گرم با هاردنر H630 به نسبت ۳۰ درصد وزنی (۹۰ گرم) مخلوط گردید. سپس ترکیب اپوکسی و هاردنر به خوبی با یکدیگر مخلوط شدند تا ترکیبی یک دست و شفاف به دست آید. بعد از آنکه سطح پنل‌های بتن پارچه‌ای به طور کامل با اپوکسی آغشته گردید، الیاف‌های تقویتی به صورت لایه‌ای بر روی پنل‌ها اجرا و متصل گردید. هر هر مرحله از نصب لایه‌های

نرخ بارگذاری در همه نمونه‌ها ثابت و سرعت بارگذاری ۱ میلی‌متر بر دقیقه تعیین گردید.

بر اساس استاندارد ASTM D8058 مقاومت خمشی هر آزمونه بر اساس رابطه زیر محاسبه می‌گردد:

$$R_n = \frac{3P_n L}{2 bd^2}$$

که در رابطه فوق:

R_n = مقاومت (استحکام) خمشی هر آزمونه، بر حسب MPa،

P_n = نیرو گسیختگی (حداکثر نیروی تاب آوری خمشی) هر آزمونه، بر حسب N،

L = طول دهانه بر حسب mm،

b = عرض آزمونه بر حسب mm،

d = ضخامت متوسط آزمونه بر حسب mm.

۳- مشاهدات و نتایج آزمون خمش

آزمون خمش برای نمونه‌های بتن پارچه‌ای بدون تقویت و با تقویت با مصالح FRP در دو جهت تار و پود پارچه، در ۱۰ طرح و با استفاده از الیاف‌های شیشه ریزبافت دووجهه ۲۰۰ گرم و الیاف کولار بافت پلین دووجهه ۲۰۰ گرم در ۳ تکرار و در ابعاد مورد نظر استاندارد ASTM D8058، طول $160 \pm 1/6$ و عرض $40 \pm 1/6$ میلی‌متر بریده و آماده‌سازی گردید. آزمایشات نمونه‌های خمشی در دو آزمایشگاه مرکز پلیمر بنیاد علوم کاربردی رازی و آزمایشگاه مقاومت مصالح دانشگاه شریف صورت پذیرفت است. نتایج حاصل از بارگذاری خمشی نمونه‌های بتن پارچه‌ای تقویت‌شده با مصالح FRP در جدول ۴ ارائه گردیده است. نماد CC در جدول ۴ معرف بتن پارچه‌ای و عبارت پس از آن بیانگر نوع تقویت اجرا شده بر روی آن می‌باشد.

محوری متمرکز در وسط دهانه آزمونه قرار می‌گیرد؛ که طی آن میزان بار، مقاومت خمشی، میزان خیز (تفییرشکل) برای هر آزمونه محاسبه می‌گردد. [۲۳] به منظور انجام آزمون خمش نمونه‌های بتن پارچه‌ای ابتدا پنل‌های تقویت‌شده با مواد FRP پس از دوره عمل‌آوری با استفاده از تیغ الماسه آزمایشگاهی در ابعاد مورد نظر استاندارد ASTMD8058 (160×40 میلی‌متر)، بریده و آماده‌سازی گردیده و سپس به آزمایشگاه پلیمر بنیاد علوم کاربردی رازی و آزمایشگاه مقاومت مصالح دانشگاه صنعتی شریف جهت تست منتقل گردید.

دستگاه خمش سه نقطه مورد نظر ASTM D8058، دارای تکیه‌گاه پایینی و یک بار متمرکز در وسط دهانه برای بارگذاری نمونه می‌باشد. تکیه‌گاه‌های دستگاه باید به صورت استوانه‌ای شکل بوده که در محل تماس با نمونه مطابق ASTM D8058 می‌باشند و دارای حداقل شعاع $3/2$ میلی‌متر و حداکثر شعاع $12/7$ میلی‌متر باشد. که در دستگاه مورد استفاده در این تست این مقدار $6/7$ میلی‌متر بوده است. به علاوه سطح بارگذاری نیز باید دارای یک لبه یک شکل بلبرینگ، به صورت استوانه افقی شکل باشد. اندازه دهانه در این آزمایش بر اساس استاندارد مذکور می‌باشد 100 میلی‌متر باشد و همچنین خط بار و تکیه‌گاه‌ها نیز در موازات یکدیگر قرار گیرند. بر اساس استاندارد ASTM D8058 هر نمونه می‌باشد در طول 160 و عرض 40 میلی‌متر و تهیه و در ۳ تکرار در راستای تار و پود تحت بارگذاری قرار گیرد. به علاوه مطابق با نظر استاندارد

جدول ۴- نتایج مقاومت خمشی نمونه‌های بتن پارچه‌ای تقویت شده با مصالح FRP

حداکثر خیز نقطه (mm) شکست	متوسط ماکزیمم نیرو (N) خمشی شکست	تشخمشی (MPa) متوجه	نوع تقویت	سری نمونه
۳۰/۰۶	۱۸۶/۷۱	۵/۶۱	شاهد	Wa ^۱ -CC
۲۱/۸۸	۱۵۸/۵۷	۵/۳۳	شاهد	We ^۲ -CC
۴/۱۷	۹۸۴/۹۲	۲۶/۰۸	GFRP ^۱ الایه	Wa-CC-1GFRP
۴/۱۲	۹۲۱/۵۳	۲۴/۶۵	GFRP ^۱ الایه	We-CC-1GFRP
۲/۸۳	۱۳۵۵/۲۵	۳۸/۶۵	GFRP ^۲ الایه	Wa-CC-2GFRP
۲/۶۲	۱۲۸۱/۷۷	۳۵/۲۳	GFRP ^۲ الایه	We-CC-2GFRP
۲/۴۱	۱۸۹۶/۲۷	۴۶/۶۱	GFRP ^۳ الایه	Wa-CC-3GFRP
۲/۱۰	۱۸۸۲/۸۸	۴۱/۴۰	GFRP ^۳ الایه	We-CC-3GFRP
۲۰/۳۵	۱۳۷۰/۹۵	۳۷/۰۱	AFRP ^۱ الایه	Wa-CC-1AFRP
۱۸/۰۲	۱۲۶۴/۴۲	۳۱/۵۳	AFRP ^۱ الایه	We-CC-1AFRP
۱۲/۷۹	۲۱۰۸/۶۷	۵۵/۱۳	AFRP ^۲ الایه	Wa-CC-2AFRP
۱۰/۴۵	۱۸۴۱/۹۸	۵۱/۶۰	AFRP ^۲ الایه	We-CC-2AFRP
۷/۹۸	۳۰۳۸/۶۵	۶۵/۷۶	AFRP ^۳ الایه	Wa-CC-3AFRP
۶/۶۵	۲۶۵۳/۸۶	۵۶/۵۴	AFRP ^۳ الایه	We-CC-3AFRP
۱۴/۵۴	۱۷۶۶/۷۸	۴۰/۱۰	-GFRP ^{۱,۲} الایه AFRP ^۱ الایه	Wa-CC- 1GFRP/1AFRP
۱۱/۵۳	۱۶۷۸/۳۲	۳۹/۱۱	-GFRP ^{۱,۲} الایه AFRP ^۱ الایه	We-CC- 1GFRP/1AFRP
۸/۵۸	۲۱۳۵/۳۶	۵۲/۰۶	-GFRP ^{۲,۳} الایه AFRP ^۱ الایه	Wa-CC- 2GFRP/1AFRP
۷/۴۳	۱۹۴۵/۹۲	۵۰/۷۳	-GFRP ^{۲,۳} الایه AFRP ^۱ الایه	We-CC- 2GFRP/1AFRP
۱۲/۴۲	۲۴۲۹/۷۰	۶۱/۲۳	-AFRP ^{۲,۳} الایه GFRP ^۱ الایه	Wa-CC- 1GFRP/2AFRP
۹/۷۳	۲۴۱۵/۲۰	۵۲/۳۴	-AFRP ^{۲,۳} الایه GFRP ^۱ الایه	We-CC- 1GFRP/2AFRP

۱- عبارت Wa در جدول ۴ به معرف جهت تار (warp) بتن پارچه‌ای می‌باشد.

۲- عبارت We در جدول ۴ معرف جهت پود (weft) بتن پارچه‌ای می‌باشد.

استاندارد ASTMD8058 تحت آزمون خمش سه نقطه قرار گرفت. حداکثر میزان تغییرمکان ثبت شده برای نمونه‌های خمشی بتن پارچه‌ای در تنوع تاری ۳۰/۰۶ و برای تنوع پودی ۲۱/۸۸ میلی‌متر می‌باشد.

به منظور درک بهتر و بررسی کامل‌تر نحوه کیفیت و میزان تاثیر استفاده از انواع مصالح FRP، ۶ نمونه در دو تنوع تاری و پودی بتن پارچه‌ای فاقد تقویت به عنوان نمونه‌های شاهد و در ابعاد منطبق بر

ترک ها تنش بحرانی نواحی شکست را منتقل می کنند و از انتشار بیشتر ترک ها جلوگیری می کنند. این مکانیزم انتقال بار سبب خیز بیشتر بتن پارچه ای پیش از شکست می گردد.

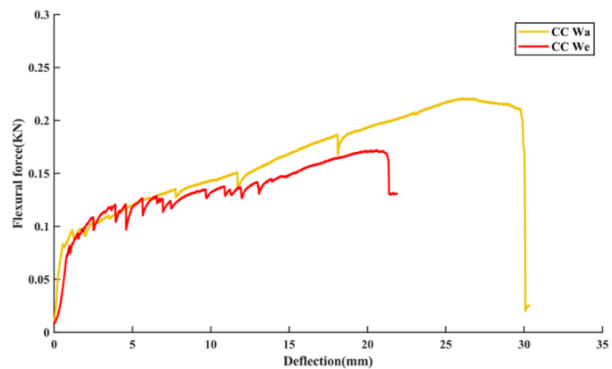


شکل ۴- بتن پارچه ای فاقد تقویت پس از بارگذاری خمی

در طرح تقویت بتن پارچه ای با الایه الیاف شیشه نتایج نشان می دهد متوسط استحکام خمی در تنوع تار نمونه های بتن پارچه ای تقویت شده با الایه شیشه ۰/۸۶ و در نمونه های پودی ۶۵/۴۲ مگا پاسکال می باشد. همچنین حداکثر تغییر مکان ثبت شده که در این طرح تقویت بتن پارچه ای در وسط دهانه و در راستای اعمال بار رخ داده، که این میزان در نمونه های تاری طرح ۷/۱۴ و برای پود ۱/۲۵ میلی متر می باشد. متوسط نیروی خمی منجر به شکست نیز در نمونه های تاری ۹۸۴/۰ کیلو نیوتن و در نمونه های پودی ۹۲۱/۰ کیلو نیوتن می باشد.

رفتار شکست نمونه های تقویت شده با الایه شیشه از نوع خمی به همراه ترک های ترکیبی در محل بارگذاری مت مرکز خمی می باشد. در هیچ یک از نمونه های تقویت شده جداسگی میان الایه شیشه و بستر بتن پارچه ای مشاهده نگردید و شکست صرفاً به دلیل ترک عرضی در نمونه تحت بارگذاری

نتایج حاصل از آزمونه های خمی بتن پارچه ای فاقد تقویت نشان می دهد، نمونه های تاری عملکرد و مقاومت خمی بیشتری در بار خمی، در مقایسه با نمونه های پودی دارا می باشند. نمودار مقایسه های رفتار خمی و منحنی نیرو- تغییر مکان بتن پارچه ای فاقد تقویت در دو تنوع تار و پود در شکل ۳ ارائه گردیده است.

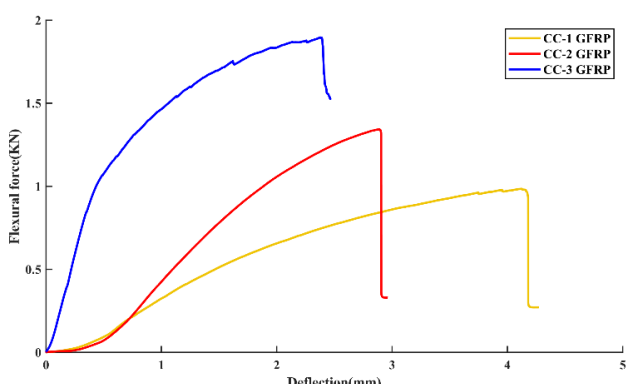


شکل ۳- منحنی نیرو- تغییر مکان خمی بتن پارچه ای فاقد تقویت در دو تنوع تار و پود

متوسط تنش در نمونه های تاری بتن پارچه ای ۵/۶۱ و در تنوع پودی ۳/۵۳ مگا پاسکال می باشد. همچنین متوسط نیروی خمی منجر به شکست نیز در نمونه های تاری ۱۸۶/۰ کیلو نیوتن و در نمونه های پود ۱۵۸/۰ کیلو نیوتن می باشد. همان طور که در شکل ۴ نیز قابل مشاهده است، مکانیزم کلی شکست آزمونه های بتن پارچه ای تحت اثر خمی خالص بوده است، هر چند که در نواحی اطراف محل بارگذاری مت مرکز ترک های ترکیبی خمی و برشی با زاویه ۴۵ درجه به صورت پراکنده مشاهده گردید اما مکانیزم کلی گسیختگی خمی تحت نیرو خمی خالص در محل اعمال بار مت مرکز صورت می پذیرد. نخ های پارچه اسپیسر بتن پارچه ای در هنگام قرائیگری تحت بار خمی با پل زدن بر روی

حداکثر تغییر مکان آزمونهای در این طرح در دو راستا تار و پود $2/40$ و $2/10$ میلی متر می باشد.

نتایج حاصل از طرح های تقویت بتن پارچه ای با لایه های $1, 2, 3$ الیاف شیشه نشان می دهد استفاده از تنها الیاف شیشه برای تقویت بتن پارچه ای، سبب رشد مقاومت خمثی آن به میزان بیش از $4/64$ برابر می گردد به علاوه همان طور که در شکل ۵ ارائه گردیده استحکام خمثی (مقاومت خمثی) در نمونه های تاری و پودی با افزایش تعداد لایه های تقویتی الیاف شیشه افزایش می یابد؛ به نحوی که اضافه نمودن هر لایه الیاف شیشه در تقویت بتن پارچه ای سبب ارتقاء $47/41$ درصدی مقاومت خمثی در نمونه های تاری و در نمونه های پودی موجب رشد به میزان 43 درصدی می گردد از دیگر نتایج به دست آمده در آزمون خمثی طرح های تقویتی شیشه می توان به مقاومت بیشتر در تنوع های تاری نسبت به تنوع های پودی در آزمون خمثی اشاره نمود. به علاوه با افزایش تعداد لایه های تقویت کننده الیاف شیشه، تغییر مکان (خیز) خمثی بتن پارچه ای به شدت کاهش می یابد.



شکل ۵- منحنی های نیرو - تغییر مکان خمثی بتن پارچه ای تقویت شده با الیاف شیشه در تعداد لایه های مختلف

صورت پذیرفته است. در طرح تقویت بتن پارچه ای با 2 لایه الیاف شیشه نیز متوسط تنفس در تنوع تار نمونه های بتن پارچه ای تقویت شده با 2 لایه شیشه $38/65$ و در نمونه های پودی $35/23$ مگا پاسکال می باشد. همچنین حداکثر تغییر مکان ثبت شده که در این طرح تقویت بتن پارچه ای در وسط دهانه و در راستای اعمال بار رخ داده، در نمونه های تاری طرح $2/83$ و برای پودی $2/62$ میلی متر می باشد. متوسط نیروی خمثی منجر به شکست نیز در نمونه های تار $1/35$ کیلو نیوتون و در نمونه های پودی $1/28$ کیلو نیوتون می باشد.

ترک های ایجاد شده در نمونه های تقویت شده با 2 لایه الیاف شیشه نیز همچون طرح 1 لایه شیشه نزدیک به ناحیه بارگذاری ایجاد گردیده همچنین نوع ترک ایجاد شده نیز ترک خمثی خالص است. عرض ترک ایجاد شده در این ناحیه $41/40$ میلی متر می باشد. در هیچ یک از نمونه های مورد بررسی در این طرح تقویت جدا شدگی میان لایه ای و جدا شدگی الیاف از سطح رویه بتن رخ نداده است. نکته قابل توجه این است که در ناحیه تحتانی و خمثی بتن که تقویت صورت گرفته است، هنگامی که دال به بار نهایی خود رسید، الیاف شیشه وارد عمل شده اند و ترک های ناحیه خمثی آزمونه توسط الیاف شیشه شده مهار شدند به گونه ای که هیچ جدا شدگی در این نواحی رخ نداده است. در طرح تقویت بتن پارچه ای با 3 لایه الیاف شیشه نیز متوسط استحکام خمثی در دو راستای تار و پود به ترتیب $46/61$ و $41/40$ مگا پاسکال می باشد. به علاوه

بیشترین میزان تغییر مکان نمونه های پودی نیز در این طرح به میزان ۱۸/۰۲ میلی متر است. در طی بارگذاری نمونه های تقویت شده با الایه الیاف کولار مشاهده گردید ترک ها عمدتاً در بخش کششی آزمونه ها و دقیقاً در زیر محل بارگذاری مت مرکز ایجاد می گردند. به علاوه الیاف کولار به سبب نوع ساختار زنجیره ای خود قادر است مقاومت کششی بسیار زیادی را تحت بار خمشی ارائه دهد، بنابراین برخی از این ترک های اولیه در مقایسه با الیاف شیشه، زمان بیشتری برای انتشار صرف نمود. به عبارت دیگر مقاومت خمشی و سختی بسیار زیاد الیاف کولار می تواند شروع ترک خمشی را به تأخیر اندازد و به طور بالقوه منجر به ظرفیت برابری بالاتری قبل از شکست گردد که این الکو با افزایش تعداد لایه های تقویت کننده کولار به نحوه محسوس تری قابل مشاهده است (شکل ۷). در هیچ یک از نمونه های تقویت شده با ۱ لایه کولار پدیده لایه لایه شدگی الیاف و جدایی الیاف از ماتریس پلیمری مشاهده نگردیده که این خود نشانه حفظ انسجام نمونه تا لحظه گسیختگی می باشد؛ و در نهایت بارگذاری با شکست ماتریس پلیمری پایان می یابد؛ اما پارگی در الیاف رخ نداده است که نشان می دهد الیاف از نهایت ظرفیت خمشی خود استفاده ننموده و هنوز قابلیت تحمل بار بیشتری را دارا می باشد. همچنین متوسط استحکام خمشی در تنوع تار نمونه های بتن پارچه ای تقویت شده با ۲ لایه کولار به میزان ۵۵/۱۳ در نمونه های پودی ۱/۶۰ مگاپاسکال می باشد، به علاوه ماتریس نیروی خمشی گسیختگی نهایی ۲/۱ کیلونیوتن و در تنوع پود

بر اساس نتایج بدست آمده، مکانیزم قالب شکست در نمونه های تقویت شده با الیاف شیشه گسیختگی ناشی از گسترش و تعمیق ترک ناشی خمش خالص در وسط پنل می باشد، و حالات دیگر گسیختگی مانند گسیختگی بر بشی در نزدیکی تکیه گاه ها و یا جدایش میان لایه های در نمونه های تقویت شده با الیاف شیشه مشاهده نگردیده است. نحوه توسعه ترک و گسیختگی خمشی نمونه های تقویت با الیاف شیشه GFRP در شکل ۶ ارائه گردیده است.

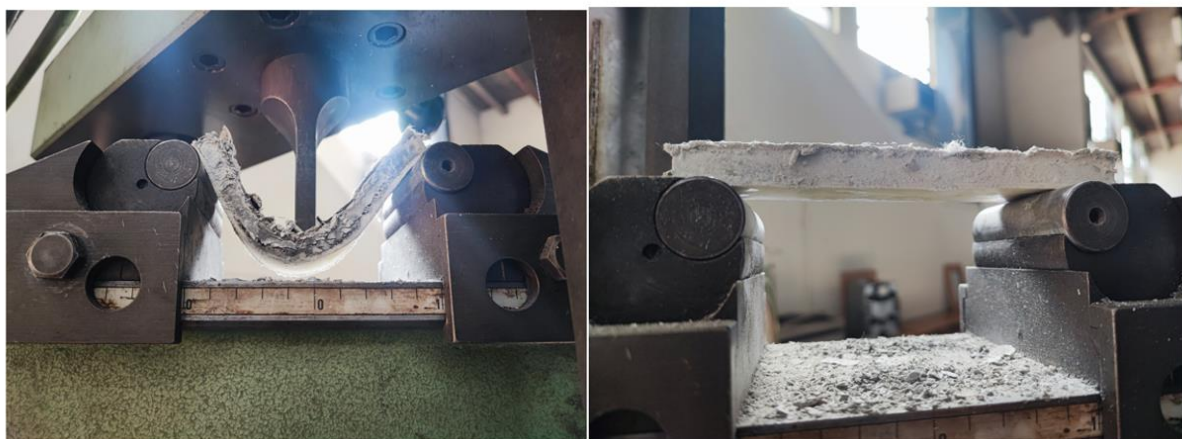


شکل ۶- توسعه ترک و نحوه گسیختگی ناشی از آزمون خمش در بتن پارچه ای تقویت شده با الیاف شیشه GFRP

در سری طرح های تقویت بتن پارچه ای با الیاف کولار (AFRP) مشاهده گردید استفاده از ۱ لایه الیاف کولار ماتریس نیروی گسیختگی خمشی را در تنوع ۱/۲۶ تار به ۱/۳۷ کیلونیوتن و در تنوع پود ۷/۳۳ برابری را نسبت به نمونه شاهد فاقد تقویت بتن پارچه ای نشان می دهد به عبارت دیگر استفاده از ۱ لایه الیاف کولار استحکام خمشی را از ۵/۶۱ در نمونه شاهد به ۳۷/۰۱ مگاپاسکال ارتقاء می دهد. حداقل تغییر مکان بتن پارچه ای تقویت شده با ۱ لایه الیاف کولار مربوط به نمونه تار و در وسط دهانه و راستای اعمال بار و به میزان ۲۰/۳۵ میلی متر است. همچنین

همچنین بیشترین میزان تغییر مکان نمونه‌های پودی نیز به میزان $6/65$ میلی‌متر بوده است. به علاوه متوسط تنش در تنوع تاری نمونه‌های بتن پارچه‌ای تقویت شده با 3 لایه کولار به میزان $65/76$ و در نمونه‌های پودی $54/54$ مگاپاسکال می‌باشد که در مقایسه با مقاومت خمشی نمونه‌های بتن پارچه‌ای تقویت شده با کولار توسط زانک و همکاران ($20/17$ ، $20/86$ ، $50/50$ مگاپاسکال، رشد $29/28$ درصدی)، و نسبت به بتن معمول (با مقاومت فشاری 30 مگاپاسکال و مقاومت خمشی معادل $5/35$ مگاپاسکال مطابق رابطه تبدیلی ACI) $1/95$ برابری را نشان می‌دهد.

$1/84$ کیلونیوتن می‌باشد. به علاوه بیشترین میزان تغییرمکان ثبت شده در این سری نمونه مربوط به نمونه تاری است، که در وسط دهانه و راستای اعمال بار و به میزان $12/79$ میلی‌متر بوده است. همچنین بیشترین میزان تغییرمکان نمونه‌های پودی نیز به میزان $10/45$ میلی‌متر است. در طرح تقویت بتن پارچه‌ای با 3 لایه الیاف کولار ماکزیمم نیروی خمشی گسیختگی نهایی در جهت تار $3/03$ کیلونیوتن و در تنوع پودی $2/65$ کیلونیوتن می‌باشد. بیشترین میزان تغییر مکان در این سری نمونه مربوط به نمونه تار، در وسط دهانه و راستای اعمال بار و به میزان $7/98$ میلی‌متر بوده است.



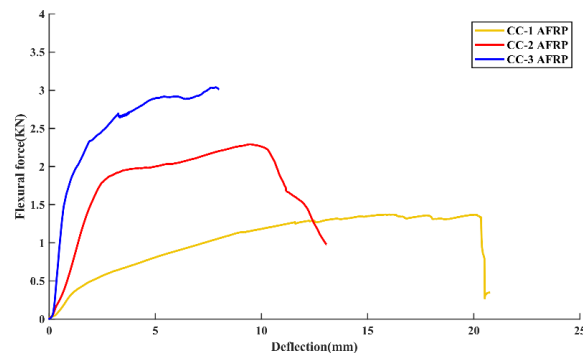
شکل ۷- روند توسعه ترک و نحوه گسیختگی ناشی از آزمون خمش در بتن پارچه‌ای تقویت شده با 3 لایه CFRP

پارچه‌ای فراهم آورد. در واقع علی رغم بافت و وزن یکسان الیاف شیشه و کولار، الیاف شیشه (مطابق جدول 3) به سبب نوع ساختار سیلیکاتی، ترد و متراکم خود دارای دانستیه بیشتر و مدول کششی کمتری نسبت به الیاف کولار می‌باشد در حالی که الیاف کولار به سبب وجود ساختار زنجیره‌ای خود در مقایسه با الیاف شیشه شکل پذیری بیشتری را برای نمونه بتن پارچه‌ای تحت بار خمش ایجاد می‌کند که این مورد به طور خاص با افزایش تعداد

استفاده از الیاف کولار مقاومت خمشی نمونه‌های بتن پارچه‌ای را به طور قابل ملاحظه‌ای بهبود و ارتقا می‌بخشد به طوری که اضافه نمودن یک لایه الیاف-کولار به بتن پارچه‌ای مقاومت خمشی متوسط آن را به $37/01$ مگاپاسکال ارتقاء می‌دهد که این مقدار، ارتقاء بیش از $6/59$ برابری نسبت به بتن پارچه‌ای شاهد، با مقاومت خمشی $5/6$ ، را نشان می‌دهد. استفاده از الیاف کولار نسبت الیاف‌های شیشه قادر است تغییر شکل بیشتری را برای نمونه‌های بتن

با تعداد یکسان، موجب ایجاد شکل پذیری بیشتر در آزمونهای بتن پارچه‌ای گردید به طوری که شکل-پذیری آزمونهای تقویت شده در این طرح سبب افزایش تغییر مکان خمی (خیز) نمونه‌ها به میزان بیش از ۵ برابر نسبت به حالت تقویت با ۲ لایه الیاف شیشه افزایش یافت. هر چند که استفاده از الیاف شیشه به عنوان لایه اول تقویت سبب محدود شدن خیز بتن پارچه‌ای نسبت به حالت تقویت با ۲ لایه الیاف کولار گردید. مکانیزیم شکست در آزمونهای تقویت شده با الیاف شیشه و کولار با تعداد لایه‌های یکسان بر خلاف طرح‌های گذشته عمدتاً بر اثر و رامدگی انتهای لایه تقویت کننده رویی (الیاف کولار) بوده است چرا که با از بین رفتن اتصال بین چسب و لایه اول تقویت (الیاف شیشه)، آنکه که الیاف شیشه به حداقل مقاومت خمی خود برسد، مکانیزیم انتقال بار دچار اختلال می‌گردد که موجب می‌شود نیرو اعمالی به طور کامل به الیاف کولار متقل نگردد به همین سبب با افزایش نیرو خمی اعمالی تنش‌های بزرگ برشی و قائمی در نزدیکی انتهای صفحه تقویت کولار به وجود می‌آید؛ و زمانی که این تنش‌ها از حد تحمل لایه اول تقویت فراتر رود لایه فوقانی کولار قبل از آنکه به حداقل مقاومت خمی خود برسد دچار شکست زودرس شده و در بخش‌های انتهایی آزمونه از سطح بتن پارچه‌ای و الیاف شیشه جدا و دچار و رامدگی می‌گردد. این نوع مکانیزیم شکست خمی به طور خاص در آزمونهای تقویت شده با ۱ لایه شیشه و ۲ لایه کولار نمود بیشتری دارد. به عبارت دیگر در نمونه‌های بتن پارچه‌ای تقویت شده با ترکیب ۱ لایه

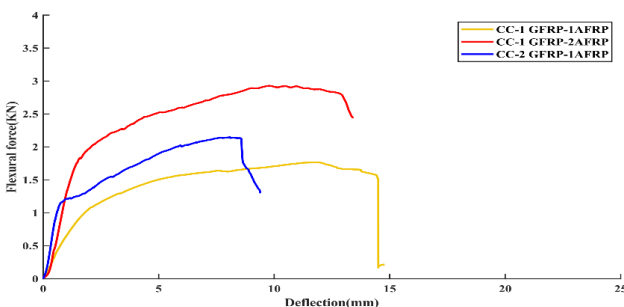
لایه‌های تقویت کننده مطابق شکل ۸ نمود بیشتری پیدا می‌کند. به علاوه همان‌طور که در طرح‌های تقویت با الیاف شیشه مشاهده گردید جهت تار بتن پارچه‌ای به سبب بافت پارچه اسپیسر، تراکم و فاصله کم‌تر نخ‌های میان دو وجهه پارچه در شرایط یکسان مقاومت خمی و در عین حال تغییر شکل بیشتری را ایجاد می‌کند و استفاده از الیاف‌های تقویتی شیشه و کولار نتوانسته بر این خاصیت ذاتی پارچه اسپیسر تاثیری داشته باشد.



شکل ۸- منحنی‌های نیرو- تغییر مکان خمی بتن پارچه‌ای تقویت شده با الیاف کولار در تعداد لایه‌های مختلف

در طی این پژوهش ۳ طرح تقویت ترکیبی الیاف شیشه و کولار نیز به منظور بررسی عملکرد و نحوه تاثیر دو فاز ناهمسان الیافی در تقویت بتن پارچه‌ای مورد آزمون خمی قرار گرفت بر این اساس در طرح تقویت بتن پارچه‌ای با ۱ لایه الیاف شیشه لایه الیاف کولار متوسط مقاومت خمی در تنوع تار ۴۰/۱۰ و در نمونه‌های پودی ۳۹/۱۱ مگاپاسکال می‌باشد. همچنین حداقل تغییر مکان خمی نمونه‌های تاری این طرح ۱۴/۵۴ و برای پود ۱۱/۵۳ میلی‌متر می‌باشد. متوسط نیروی خمی منجر به شکست نیز در نمونه‌های تار ۱/۷۶ کیلو نیوتون و در نمونه‌های پودی ۱/۶۷ کیلو نیوتون می‌باشد. تقویت بتن پارچه‌ای با ترکیب دو نوع الیاف شیشه و کولار

الیاف شیشه به عنوان اولین لایه تقویت به طور کامل انجام شده است و در درون تقویت نیز پدیده لایه لایه شدگی رخ نداده است. در حین حال و با وجود عدم استفاده از تمام ظرفیت خمشی الیاف کولار در طرح تقویت بتن پارچه‌ای با استفاده از الیاف شیشه و کولار، صرف استفاده از لایه الیاف کولار(آرامید) سبب ارتقاء مقاومت خمشی بتن پارچه‌ای گردیده است تا آنچا که متوسط استحکام خمشی در تنوع تار نمونه‌های بتن پارچه‌ای تقویت شده با لایه شیشه ۲ لایه کولار به $1/23$ در نمونه‌های پودی $52/34$ مگاپاسکال می‌رسد. همچنین حداکثر تغییر مکان خمشی نمونه‌های تار این طرح تقویت $12/42$ و برای پود $9/37$ میلی‌متر می‌باشد. متوسط نیروی خمشی منجر به گسیختگی نیز در نمونه‌های تار $2/43$ کیلو نیوتن و در نمونه‌های پودی $2/42$ کیلو نیوتن می‌باشد. منحنی رفتاری نیرو-تغییر مکان هر یک از طرح‌های ترکیبی الیاف شیشه و کولار در شکل ۹ ارائه گردیده است.



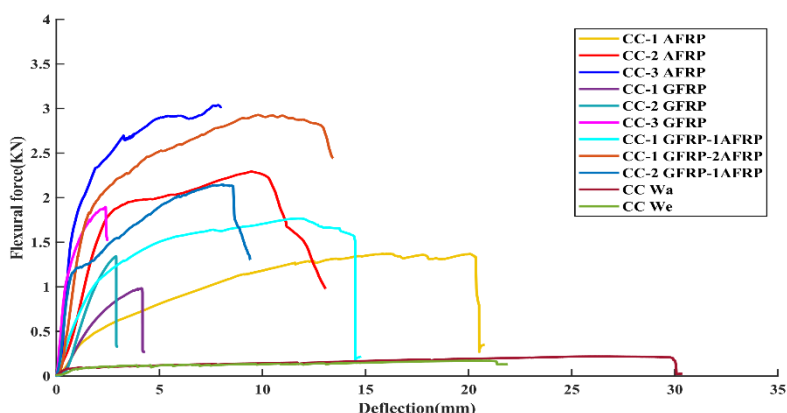
شکل ۹- منحنی‌های نیرو- تغییر مکان خمشی بتن پارچه‌ای تقویت شده با ترکیب الیاف شیشه و کولار در تعداد لایه‌های مختلف مکانیزیم شکست نمونه‌های تقویت شده با لایه الیاف شیشه و لایه لایه کولار نشان می‌دهد استفاده از الیاف کولار موجب شکل پذیری بیشتری در بتن پارچه‌ای می‌گردد. اضافه نمودن لایه الیاف شیشه موجب تغییر مکانیزیم شکست نسبت به

الیاف شیشه و لایه الیاف کولار علاوه بر ترکهای خمشی، ترکهای ترکیبی خمشی و برشی نیز به طور قابل توجهی مشاهده می‌گردید. در اکثر قریب به اتفاق نمونه‌های این طرح آخرین لایه تقویت تحت کشش ناشی از خمش (لایه دوم کولار) دچار پارگی نگردیده‌اند و ترک عرضی شکست تنها بر روی سطح اپوکسی مشاهده شد که این بدین معنی ایست که الیاف کولار از حداکثر پارگی در الیاف رخ نداده است که نشان می‌دهد الیاف از نهایت ظرفیت خمشی خود استفاده ننموده و هنوز قابلیت تحمل بار بیشتری را دارا می‌باشد. دلیل این روند ناشی از آن است در حین خمش پس از آنکه الیاف شیشه به عنوان اولین لایه تقویتی به حد نهایی خمش خود رسید دچار ریزترکهای در محدوده اعمال بار می‌گردد که باعث می‌شود علاوه بر ایجاد سطح ناهمواری بر روی آن به عنوان لایه اول تقویت نیروهای خمشی به درستی به لایه دوم و سوم تقویت الیاف کولار متقل نگردد، همین امر سبب ایجاد نیروی برشی زیادی در انتهای صفحات تقویت‌کننده می‌گردد که در نهایت با رسیدن این میزان به حداکثر قابل تحمل برای تقویت لایه بستر تقویت از سطح بتن پارچه‌ای جدا می‌گردد و بنابراین آزمون پیش از آنکه لایه اول و دوم فیبر کولار به حداکثر ظرفیت خمشی خود برسد آزمایش به اتمام می‌رسد.

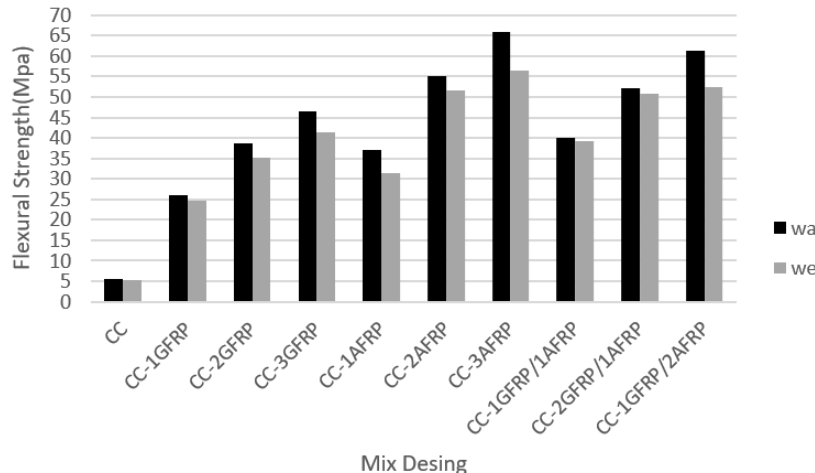
علی‌رغم انقال ناقص بار در این طرح چسب (ماتریس پلیمری) در هیچ آزمونهای دچار شکستگی نمی‌گردد که نشان می‌دهد مکانیزیم انقال نیرو تا لحظه آخر از سطح بتن پارچه‌ای به

نمونه دچار گسیختگی نهایی گردیده است. متوسط استحکام خمشی در تنوع تار نمونه‌های بتن پارچه‌ای تقویت شده با ۱ لایه شیشه ۱ لایه کولار به ۵۲/۰۶ و در نمونه‌های پودی ۵۰/۷۳ مگاپاسکال می‌باشد. همچنین حداکثر تغییرمکان ثبت شده نمونه‌های تاری طرح ۸/۵۸ و برای پود ۷/۴۳ میلی‌متر می‌باشد. متوسط نیروی خمشی منجر به شکست نیز در نمونه‌های تاری ۲/۱۳ کیلو نیوتن و در نمونه‌های پودی ۱/۹۵ کیلو نیوتن می‌باشد. استفاده از ۱ لایه کولار به منظور تقویت بتن پارچه‌ای دارای ۲ لایه شیشه می‌تواند موجب افزایش مقاومت خمشی بتن پارچه‌ای به میزان ۳/۸۴ برابر تقویت با دو لایه شیشه گردد. در ادامه در شکل ۱۱ و ۱۰ منحنی‌های رفتاری نیرو-تغییر مکان خمشی و استحکام خمشی (مقاومت خمشی) هریک از طرح‌های مورد بررسی ارائه گردیده است.

حال تقویت با ۱ لایه شیشه و ۱ لایه الیاف کولار و همچنین ۱ لایه الیاف شیشه و ۲ لایه کولار می‌گردد. ۲ لایه الیاف شیشه با تشکیل ماتریس هم فاز اگرچه میزان تغییر شکل کلی آزمونه‌ها را کاهش می‌دهند و از استحکام خمشی کمتری نیز نسبت به طرح تقویت ۲ لایه شیشه و ۱ لایه کولار ایجاد می‌کند اما مکانیزیم غالب در تمامی نمونه‌های تقویت شده با این طرح تحت اثر خمش خالص صورت می‌پذیرد. در بیشتر نمونه‌های این طرح شکستگی به واسطه رشد ترک عرضی خمشی در نمونه‌ها دیده شده و لایه لایه شدگی در نمونه‌ها تا لحظه گسیختگی مشاهده نگردید. بنابراین علت شکست نمونه‌ها رشد ترک‌ها پس از پارگی پارچه و در ادامه با افزایش بار و شکست ماتریس پلیمری شیشه، تمامی مقادیر تنش خمشی به لایه کولار منتقل و با رسیدن به حداکثر میزان تغییر شکل الیاف کولار و پارگی آن



شکل ۱۰- مقایسه منحنی‌های نیرو-تغییر مکان خمشی طرح‌های تقویت بتن پارچه‌ای با مصالح FRP با طرح شاهد



شکل ۱۱- مقایسه حداقل میزان مقاومت خمشی نمونه‌های بتن پارچه‌ای، تقویت شده با مصالح FRP در طرح‌های مختلف

۳ لایه الیاف شیشه و کولار به صورت تک نوع الیاف و ۳ طرح ترکیبی ۲ لایه و ۳ لایه با ترکیبی این دو نوع الیاف می‌باشد؛ که مهم‌ترین نتایج بدست آمده عبارت‌اند از:

(۱) جهت تار بتن پارچه‌ای به سبب نوع بافت، آرایش و تراکم نخ‌های اسپیسر در آن تحت بار خمشی مقاومت و رفتار شکل‌پذیرتری نسبت به جهت پود در بتن پارچه‌ای دارد به طوری که مقاومت خمشی بتن پارچه‌ای در راستای تار ۵/۶۱ و در جهت پود ۵/۲۳ مگاپاسکال می‌باشد. همچنین خیز نقطه شکست در جهت تار ۳۰/۰۶ و در جهت پود بتن پارچه‌ای ۲۱/۸۸ میلی‌متر می‌باشد. این رفتار جز خواص ذاتی بتن پارچه‌ای بوده و تقویت آن با مصالح FRP سبب تغییر در آن نمی‌گردد. چنان که در تمامی طرح‌های تقویت صورت پذیرفته در مطالعه همواره جهت تار بتن پارچه‌ای مقاومت و خیز بیشتری را نسبت به جهت پود بتن پارچه‌ای ارائه نموده است.

(۲) به دلیل آنکه الیاف در مصالح FRP جزء اصلی تحمل کننده بار است، نوع الیاف، تعداد لایه‌های

۴- نتیجه‌گیری

بتن پارچه‌ای علی‌رغم مزایای بسیار خود دارای کاستی‌هایی در خواص مکانیکی خود از جمله استحکام (مقاومت خمشی) خودمی‌باشد. رویکردهای تقویتی نیز که تاکنون در خصوص ارتقاء استحکام خمشی بتن پارچه‌ای ارائه گردیده است عمدتاً مبتنی بر ارتقاء خواص اجزا تشکیل‌دهنده بتن پارچه‌ای از قبیل سیمان و پارچه اسپیسر می‌باشد که این رویکرد تقویتی نیز با محدودیت‌های متعددی برای ارتقاء خواص مواجه است لذا استفاده از مصالح FRP برای تقویت خمشی بتن پارچه‌ای ضمن رفع محدودیت‌های پیشین می‌تواند ظرفیت‌های جدیدی در خصوص خمش بتن‌های پارچه‌ای ایجاد نماید بر همین مبنای در این مطالعه حاضر جمعاً ۶۰ نمونه پنل بتن پارچه‌ای تقویت شده با مصالح FRP، شیشه و آرامید (کولار)، در ۱۰ طرح در دو نوع کلی تاری و پودی در تعداد لایه‌های ۲، ۱ و ۳ به صورت چندلایه و ترکیبی، مورد آزمایش و تجزیه و تحلیل قرارداده شده است. طرح‌های مورد بررسی شامل آزمونهای شاهد، ۶ طرح تقویت ۱ تا

تاری نسبت به تنواعهای پودی در آزمون خممش اشاره نمود.

(۵) در طرحهای تقویت بتن پارچهای بالایه‌های ۱، ۲ و ۳، الیاف آرامید(کولار) مشاهده گردیده است استفاده از الیاف کولار می‌تواند مقاومت خممشی نمونه‌های بتن پارچهای را به طور قابل ملاحظه‌ای بهبود و ارتقا بخشد به طوری که اضافه نمودن یک لایه الیاف کولار به بتن پارچهای مقاومت خممشی متوسط آن را به $37/0\cdot1$ مگاپاسکال ارتقاء می‌دهد که این مقدار ارتقاء بیش از $6/6$ برابری را نسبت به بتن پارچهای شاهد، با مقاومت خممشی $5/6$ ، را نشان می‌دهد به علاوه مقدار ظرفیت- خممشی (بارنهایی گسیختگی) را از $186/71$ نیوتن به $1370/95$ نیوتن افزایش می‌دهد که رشد $7/34$ برابری را نشان می‌دهد. استفاده از الیاف کولار در تقویت خممشی بتن پارچهای به دلیل نوع ساختار زنجیره‌ای این الیاف قادر است تا تغییر شکل بیشتری را نسبت به الیاف شیشه حتی با وجود افزایش تعداد لایه‌های تقویت‌کننده ارائه دهد.

(۶) ترکیب بتن پارچهای با استفاده از الیاف تقویتی - الایه شیشه و الایه کولار می‌تواند خواص خممشی بهتری از بتن پارچهای تقویت شده با ۱ لایه الیاف کولار را ارائه دهد به خصوص این طرح توانسته رشد مناسبی را در نمونه‌های خممشی تاری و پودی نسبت به نمونه‌های مشابه در طرح ۱ کولار ارائه نماید. هر چند که این میزان بهبود عملکرد کماکان کمتر از مقاومت خممشی بتن پارچهای با ۲ لایه الیاف کولار خواهد بود. استفاده از الیاف شیشه سبب تردشکن شدن کلی متریال بتن پارچهای می‌گردد و موجب

تقویت‌کننده، آرایش آن و وزن و تراکم کلی الیاف، در خواص خممشی بتن پارچهای تقویت شده با FRP مؤثر می‌باشند. همچنین ماتریس پلیمری آن نیز باید به گونه‌ای ساخته و اجرا گردد تا تحت بارگذاری خممشی دارای تاخیر در پیک شکست نباشد و قادر باشد تا لحظه گسیختگی الیاف، بدون شکست در ساختار خود بار وارد را به الیاف منتقل و پیش از آن دچار شکست نگردد.

(۳) استفاده از مصالح FRP در تقویت بتن پارچهای سبب بهبود عملکرد خممشی بتن پارچهای می‌گردد. به علاوه استفاده از مصالح FRP در بتن پارچهای باعث می‌شود تنشهای کششی ناشی از خممش را به طور یکنواخت‌تر در سراسر متریال توزیع شود و تمرکز تنشهای موضوعی را کاهش می‌دهند و از ترک خوردن زودهنگام بتن پارچهای جلوگیری می‌کنند. همچنین با افزایش تعداد لایه‌های تقویت‌کننده مصالح FRP سختی، نیرو و گسیختگی و استحکام خممشی افزایش و در عین حال میزان شکل- پذیری (خیز) پنل‌های بتن پارچهای کاهش می‌یابد.

(۴) در طرحهای تقویت بتن پارچهای بالایه‌های ۱، ۲ و ۳ الیاف شیشه مشاهده گردیده است که استحکام خممشی (مقاومت خممشی) در نمونه‌های تاری و پودی با افزایش تعداد لایه‌ها افزایش می‌یابد. به نحوی که اضافه نمودن هر لایه الیاف شیشه در تقویت بتن پارچهای سبب ارتقاء $47/34$ درصدی مقاومت خممشی در نمونه‌های تاری و همچنین در نمونه‌های پودی به میزان $25/30$ درصد می‌گردد. از دیگرنتایج به دست آمده در آزمون خممشی طرحهای تقویتی شیشه می‌توان به مقاومت بیشتر در تنواعهای

می‌شود تا الیاف کولار قادر نباشد از تمام ظرفیت در مقادیر کمتری با حداقل طرفیت خود دچار مقاومتی خود استفاده نماید به همین جهت نمونه‌ها شکست می‌شوند.

مراجع

- [۱] میندس، س؛ یانگ، ف؛ ترجمه دکتر محمد شکرچی زاده، قدوسی پرویز و علی اکبر رمضانیانپور؛ (۱۳۹۳)، "بتن"، تهران: انتشارات دانشگاه تهران.
- [۲] مهتاب، ئیرو، پ؛ ترجمه دکتر علی اکبر رمضانیانپور، پرویز قدوسی، اسماعیل گنجیان (۱۳۹۱)، "ریزاساختار خواص و اجزای بتن تکنولوژی بتن"، تهران، دانشگاه صنعتی امیرکبیر، ۱۳۹۱.
- [۳] غفاری مقدم، ف؛ (۱۳۹۳)، "راهنمای بهسازی و ترمیم سازه‌های بتنی"، تهران: قرارگاه سازندگی خاتم الانبیاء (ص).
- [۴] ConcreteCanvas; 2020, Concrete canvas provides: erosion control& containment <http://www.concretecanvas.com> accessed 12, January.
- [۵] ASTM D-8173-18. (2023), Standard Guide for Site Preparation, Layout, Installation, and Hydration of Geosynthetic Cementitious Composite Mats, American Society for Testing and Materials.
- [۶] Concrete Canvas GCCM. (2022) England: concrete canvas companies. Retrieved from www.concretecanvas.com
- [۷] Chen Y, Hu C, Ding M, et al. (2014), Structural design and performance research of concrete tent. Jiangxi Build Mater; 12: 216–225.
- [۸] Lu W, Sun C, Yang C, et al. (2018) , Application of concrete canvas in slope protection. Hous Real Estate; 10: 192.
- [۹] Zhou L, Ding G, Tan J, et al. (2019), Seismic response of concrete canvas reinforced slopes: influence of tilt degrees for reinforcement. J Earthq Tsunami. Epub ahead of print November.
- [۱۰] Yip, J. and N. Pui, (2007), "Study of three-dimensional spacer fabrics: Physical and mechanical properties," Journal of Materials Processing Techbology, vol. 206, p. 359-364 .
- [۱۱] Hou, X., Hu, H., & Silberschmidt, V. V.(2012) , "A study of computational mechanics of 3D spacer fabric: factors affecting its compression deformation". Journal of Materials Science, 47, 3989-3999.
- [۱۲] Wang, P., Lai, C., Wang, F., Jin, F., & Fan, H.(2016), Fabrication and mechanical behaviors of cementitious composites reinforced by 3D woven lattice sandwich fabrics. Composites Part A: Applied Science and Manufacturing, 85, 130-137.
- [۱۳] Bao B.(2013), Preparation and performance of concrete canvas. Nanjing, China: Southeast University.
- [۱۴] Guo Y.(2014), Preparation and properties of magnesium phosphate cement-based composite. Nanjing, China: Southeast University.
- [۱۵] Cao P and Cai Z.(2016) Experimental study on tensile properties of concrete canvas. Low Temp Build Technol; 7: 1–3.
- [۱۶] Han, F., Chen, H., Li, X., Bao, B., Lv, T., Zhang, W., & Hui Duan, W.(2016), Improvement of mechanical properties of concrete canvas by anhydrite-modified calcium sulfoaluminate cement. Journal of Composite Materials, 50(14), 1937-1950.

- [17] Han, F., Chen, H., Zhang, W., Lv, T., & Yang, Y.(2016), *Influence of 3D spacer fabric on drying shrinkage of concrete canvas*. *Journal of Industrial Textiles*, 45(6), 1457-1476.
- [18] Li, H., Chen, H., Liu, L., Zhang, F., Han, F., Lv, T., & Yang, Y.(2016), *Application design of concrete canvas (CC) in soil reinforced structure*. *Geotextiles and Geomembranes*, 44(4), 557-567.
- [19] Zhang, F., Chen, H., Li, X., Li, H., Lv, T., Zhang, W., & Yang, Y. (2017). *Experimental study of the mechanical behavior of FRP-reinforced concrete canvas panels*. *Composite Structures*, 176, 608-616.
- [20] Niu, J., Xu, W., Li, J., & Liang, J. (2021). *Influence of cross-sectional shape on the mechanical properties of concrete canvas and CFRP-reinforced columns*. *Advances in Materials Science and Engineering*, 1-14.
- [21] ASTM D8030/D8030M ,(2019). *Standard Practice for Sample Preparation for GCCM*.
- [22] ASTM D8364/D8364M-21,(2021).*Standard Specification for Geosynthetic Cementitious Composite Mat (GCCM) Materials*.
- [23] ASTM D8058/D8058 – 17,(2017).*Standard Test Method for Determining the Flexural Strength of a Geosynthetic Cementitious Composite Mat (GCCM) Using the Three-Point Bending Test*.

ارزیابی تاثیر پوزولان خاکستری نوع A و میکروسیلیس

بر خواص مکانیکی و دوام بتن



محمد رضا محمدی‌زاده

دانشیار، دانشگاه هرمزگان، گروه مهندسی عمران



مهدیه عبدالله‌ی‌تی‌آب

دانشجوی کارشناسی ارشد-سازه، دانشگاه هرمزگان

گروه مهندسی عمران

چکیده

تولید سیمان مانند بسیاری از فرآیندهای صنعتی، با پتانسیل انتشار گاز دی اکسید کربن همراه است که تاثیر منفی بر محیط‌زیست دارد. پژوهش‌های علمی در تکنولوژی بتن موجب شده است تا در سال‌های اخیر برای کاهش آلودگی محیط‌زیست از روش‌های نوین و مواد جدید مانند پوزولان‌ها استفاده شود. در این مطالعه خواص مکانیکی و دوام بتن‌های ساخته شده با درصد‌های متفاوت از خاکستری‌تریبادی نوع A (۳، ۵، ۷/۵ و ۱۰ درصد)، میکروسیلیس (۱۰ و ۱۵ درصد) و ترکیب درصد بهینه خاکستری‌تریبادی و درصد بهینه میکروسیلیس (ترکیب بهینه) به عنوان جایگزین بخشی از وزن سیمان بررسی شد. خواص مکانیکی و دوام بتن با انجام آزمایش‌های مقاومت فشاری، مدول گسیختگی و نفوذپذیری بر روی تعداد ۲۱۶ آزمونه بتنی حاصل از ۸ طرح مخلوط در سنین ۲۸ و ۹۰ روز ارزیابی گردید. نتایج نشان داد که استفاده از طرح مخلوط با پوزولان خاکستری‌تریبادی نوع A به مقدار ۵ درصد و طرح مخلوط با میکروسیلیس به مقدار ۱۵ درصد، هر کدام به تنها یکی به عنوان طرح‌های مخلوط بهینه باعث افزایش مقاومت فشاری به ترتیب به میزان ۳ و ۳۵/۹ درصد در سن ۲۸ روز نسبت به نمونه شاهد متناظر می‌شود. همچنین برای این طرح مخلوط‌های بهینه، افزایش مقاومت فشاری به مقدار ۳/۸ درصد در سن ۹۰ روز نسبت به نمونه شاهد متناظر می‌باشد. با توجه به نتایج می‌توان مشاهده شد که افزودن پوزولان‌های خاکستری‌تریبادی نوع A (به مقدار ۳، ۵ و ۷/۵ درصد وزن سیمان) و میکروسیلیس (به مقدار ۱۵ درصد وزن سیمان) باعث افزایش مدول گسیختگی نمونه‌های بتنی در سنین ۲۸ و ۹۰ روز می‌گردد. با مقایسه نتایج می‌توان دریافت که میزان نفوذپذیری نمونه دارای ۵ درصد خاکستری‌تریبادی، نمونه دارای ۱۵ درصد میکروسیلیس و نمونه دارای ترکیب بهینه به ترتیب به میزان ۴۲/۹، ۱۰/۷ و ۳۵/۷ درصد در سن ۲۸ نسبت به نفوذپذیری نمونه شاهد کاهش یافته است. همچنین مشاهده شد که میزان نفوذپذیری نمونه حاوی ۵ درصد خاکستری‌تریبادی در سن ۹۰ روز معادل با نفوذپذیری نمونه حاوی ۱۵ درصد میکروسیلیس می‌باشد.

کلمات کلیدی: پوزولان صنعتی، خاکستری‌تریبادی نوع A، میکروسیلیس، خواص مکانیکی، دوام بتن

۱- مقدمه

صنعتی نوع A^۱ مشابه سیمان و دارای خواص پوزولانی است [۵ و ۶]. این نوع خاکستربرادی حاوی درصد بسیار پایین از اکسید آلومینات و اکسید کلسیم و درصد بالایی از اکسید سیلیس می‌باشد [۷]. میکروسیلیس^۲ توسط سیستم غبارگیر گازهای خروجی در حین تولید سیلیس و آلیاژهای سیلیس مانند فروسیلیس در کوره‌های قوس الکتریکی جمع‌آوری می‌گردد. میکروسیلیس به رنگ خاکستری روشن با وزن مخصوص بسیار کم، سطح ویژه بسیار بالا و میزان دی اکسید سیلیسیم موجود در آن معمولاً بین ۸۵-۹۵ درصد وزنی می‌باشد [۸ و ۹]. در ادامه می‌توان به تعدادی از کارهای تحقیقاتی انجام شده در خصوص استفاده از پوزولان خاکستر بادی نوع A و میکروسیلیس اشاره نمود.

زندي و عابدي (۲۰۲۰)، تأثير ميزان خاکستربرادی کلاس F، C و خاکستربرادی صنعتی نوع A را بر روی مقاومت بتن در برابر نفوذ یون كلر و تخلخل بتن ارزیابی نمودند. نتایج نشان داد میزان نفوذپذیری، قطر فضای تخلخل و حجم نفوذ با افزایش میزان درصد هر سه نوع خاکستربرادی کاهش یافته است. در خاکستربرادی نوع A کاهش نفوذپذیری بيشتری نشان داده شد و علت آن سطح ویژه بيشتر و بالابودن ميزان سیلیس فعال نسبت به کلاس‌های ديگر خاکستربرادی می‌باشد. همچنين در نمونه‌های حاوی خاکستربرادی نوع A، کاهش

سیمان يكى از اجزای بتن و پرمصرف‌ترین ماده در مقیاس جهانی است و برای طیف وسیعی از ساختمان‌ها و زیر ساخت‌ها مورد استفاده قرار می‌گيرد. اما با اين حال، تولید سیمان به صورت قابل توجهی با انتشار گاز دی اکسید کربن همراه است که تاثیر منفی بر محیط زیست دارد. لذا موضوع استفاده از پوزولان‌ها و مواد جدید به عنوان جایگزین جزئی سیمان از جمله موضوعات مهم در صنعت ساختمان‌سازی تبدیل شده است [۳-۱]. پوزولان خاکستربرادی^۳ محصول فرعی نیروگاه‌های حرارتی سوخت زغال‌سنگ و یا از سوزاندن ضایعات برخی کارخانجات، پالایشگاه‌ها و صنایع مختلف حاصل می‌گردد. براساس استاندارد ASTM C618 متن‌های علمی، بر مبنای فرآيند تولید و مواد اولیه انواع مختلف از خاکستربرادی وجود دارد. نوعی خاکستربرادی از گازهای خروجی نیروگاه‌های حرارتی با سوختن زغال‌سنگ جمع‌آوری می‌گردد که با نام کلاس F و کلاس C معرفی می‌شوند [۴]. نوع دیگر خاکستربرادی از فرآيند سوختن زباله یا سایر مواد ضایعاتی برخی کارخانجات، پالایشگاه‌ها و صنایع مختلف در کوره در دمای بین ۶۰۰ الى ۸۰۰ درجه سانتي گراد تولید می‌شود که اين نوع خاکستربرادی صنعتی بانام تجاری کلاس A معرفی می‌گردد. دانه‌بندی و سطح ویژه خاکستربرادی

^۱Type A industrial fly ash

^۲MicroSilica

^۳Fly ash

در صدهای وزنی جایگزین سیمان برابر با ۱۰، ۱۵ و ۲۰ درصد بر روی نفوذپذیری و مقاومت نمونه‌های بتنی ۷ روزه مورد بررسی قرار دادند. نتایج نشان داد افزودن پوزولان میکروسیلیس در تمامی در صدهای وزنی موجب افزایش مقاومت فشاری و کاهش نفوذپذیری می‌گردد و افزودن خاکستریابی سبب کاهش مقاومت فشاری و نفوذپذیری

۲- برنامه آزمایشگاهی

۱-۲- مشخصات مصالح مصرفی

در این مطالعه از سیمان پرتلند نوع ۲ تولیدی کارخانه سیمان هرمزگان استفاده شد که مشخصات شیمیایی و فیزیکی آن به ترتیب در جداول ۱ و ۲ ارائه شده است. از سنگدانه درشت (شن) با حداکثر اندازه اسمی ۱۹ میلی‌متر و سنگدانه ریز (ماسه) که کوچکترین اندازه آن برابر با ۰/۰۷۵ میلی‌متر و مدول نرمی ۳ مطابق با استاندارد ASTM C33 [۱۳] استفاده گردید. نمودار دانه‌بندي مصالح سنگی (شن و ماسه) در شکل ۱ نشان داده شده است. وزن مخصوص برای شن و ماسه به ترتیب ۲/۶۳ و ۲/۴۶ گرم بر سانتی‌مترمکعب است. همچنین درصد جذب آب شن و ماسه به ترتیب ۱/۱ و ۱/۳ درصد تعیین گردید. آب مصرفی در ساخت بتن، آب شرب شهر بندرعباس می‌باشد. از فوق‌روان‌کننده بر پایه پلی‌کربوکسیلات ساخت شرکت فارس ایران نوع آیورامیکس ۴۰۳ استفاده شده است. پوزولان‌های مورد استفاده در این مطالعه، خاکستریابی صنعتی با نام تجاری A که از فرآیند خاکستر کوره زباله‌سوز و ساخت شرکت شهرک بتن اصفهان می‌باشد، تهیه

کمتری در قطر تخلخل و حجم نفوذ دیده شد. علت این نتیجه، نزدیکی سطح ویژه و ریزی خاکستریابی نوع A با سیمان می‌باشد [۵]. بیات و بحرینیان (۲۰۲۰)، از نوعی ماسه با دانه‌بندي یکنواخت به عنوان ماده‌ی اصلی و نیز خاکستریابی صنعتی نوع A و آهک به عنوان ماده‌ی افزودنی استفاده شد. خاکستریابی در در صدهای مختلف ۲، ۱۰، ۲۰، ۳۰، ۴۰ به صورت اضافه شده با آهک یا بدون آهک بررسی شد. وزن مخصوص خشک حداکثر و آزمایش نفوذپذیری بر روی نمونه‌ها انجام شد. نتایج نشان داد که هر چه میزان درصد خاکستریابی افزایش یابد، میزان نفوذپذیری کاهش بیشتری می‌یابد. در بررسی بافت اولیه نمونه‌های حاوی خاکستریابی، نتایج نشان داد که خاکستریابی نوع A ابتدا فضاهای خالی ماسه را پر می‌نماید و پس از آن از تماس دانه‌های ماسه بر روی یکدیگر جلوگیری می‌کند و به همین‌علت کاهش وزن مخصوص خشک حداکثر نمونه‌ها نشان داده شد [۶]. کاظمیان و همکاران (۲۰۱۰)، خاکستریابی با مقدار سیلیس بالا را با استفاده از فرآیند تبدیل دو مرحله‌ای به یک زوئیلت با ظرفیت تبادل یونی بالا تبدیل کردند [۱۰]. یوزباس و آیدین (۲۰۲۰)، تاثیر میکروسیلیس در در صدهای مختلف ۵، ۱۰، ۱۵ و ۲۰ به عنوان جایگزین وزنی سیمان بر خواص مکانیکی بتن در سالین ۷، ۲۸ و ۹۰ روز بررسی شد. نتایج نشان داد بتن حاوی ۱۵ درصد میکروسیلیس دارای بیشترین مقاومت فشاری در همه سالین ذکر شده، می‌باشد [۱۱]. نادری و همکاران (۱۳۹۹)، اثر پوزولان‌های میکروسیلیس، زوئیلت و خاکستریابی با

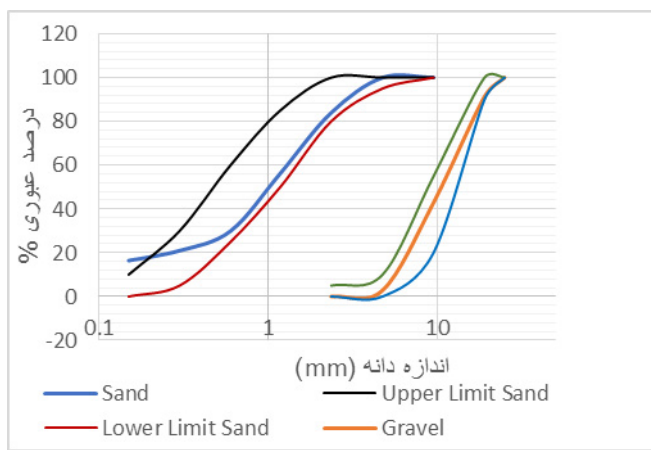
گردید. همچنین میکروسیلیس از کارخانه فروسریلیس ایران، واقع در سمنان تهیه شد که ارائه شده است.

جدول ۱- مشخصات شیمیایی سیمان، خاکستریابی نوع A و میکروسیلیس

خواص شیمیایی (%)									
L.O.I	SO ₃	Na ₂ O	K ₂ O	MgO	Fe ₂ O ₃	Al ₂ O ₃	CaO	SiO ₂	
1.72	1.83	0.52	0.52	1.88	3.78	4.92	63.79	21.37	سیمان
4.17	0.19	0.93	0.81	1.16	0.99	3.46	0.58	80	خاکستریابی نوع A
3.5	0.1	0.5	1	1.5	2	1	1.5	85	میکروسیلیس

جدول ۲- مشخصات فیزیکی سیمان، خاکستریابی نوع A و میکروسیلیس

خواص فیزیکی			
وزن مخصوص (kN/m ³)	(m ² /kg) بلین	اندازه ذرات (μm)	
31.6	305.1	<45	سیمان
16	290-300	0.2-45	خاکستریابی نوع A
4-6	14000-20000	0.08-0.4	میکروسیلیس



شکل ۱- نمودار دانه‌بندی مصالح درشت‌دانه و ریزدانه

۲-۲- طرح مخلوط بتن

طرح مخلوط که در مجموع ۲۱۶ عدد آزمونه بتنی ساخته و ارزیابی گردید. در جدول ۳، نام‌گذاری طرح مخلوط بدین صورت است که RF بیانگر طرح مخلوط بتن شاهد، FA بیانگر طرح مخلوط مربوط به بتن‌های حاوی پوزولان خاکستریابی نوع A و MS بیانگر طرح مخلوط بتن‌های دارای میکروسیلیس می‌باشد. اعدادی که به عنوان پسوند

در این مطالعه برای ارزیابی تاثیر جایگزینی پوزولان خاکستریابی در درصددهای وزنی ۰، ۳، ۵، ۷/۵ و ۱۰ درصد و پوزولان میکروسیلیس ۱۰ و ۱۵ درصد و همچنین یک ترکیب از درصد بهینه خاکستریابی و میکروسیلیس (بترتیب ۵ و ۱۵ درصد) بر مشخصات مکانیکی و دوام بتن، ۸ طرح مخلوط بررسی گردید. همچنین تعداد ۳ آزمونه برای هر آزمایش از هر

و اعداد ۲۸ و ۹۰ که به عنوان پسوند پس از حرف D قرار دارند، نشان دهندهی سن عمل‌آوری می‌باشند.

پس از حروف FA و MS قرار دارند به ترتیب نشان دهندهی درصد خاکستربادی و میکروسیلیس جایگزین وزن سیمان می‌باشند. در بخش ارائه نتایج هر آزمایش بر روی نمودارها، D مخفف Day (روز)

جدول ۳- طرح مخلوط بتن

فوق روان کننده (%)	اجزای تشکیل دهنده (kg/m ³)							نام طرح مخلوط
	میکروسیلیس	خاکستربادی	شن نخودی	شن بادامی	ماسه	آب	سیمان	
0	0	0	380	366	1012	211	400	RF
0	0	12	380	366	1012	211	388	FA3
0	0	20	380	366	1012	211	380	FA5
0	0	30	380	366	1012	211	370	FA7.5
0	0	40	380	366	1012	211	360	FA10
0.24	40	0	380	366	1012	211	360	MS10
0.33	60	0	380	366	1012	211	340	MS15
0.33	60	20	380	366	1012	211	320	FA5MS15

بتن‌های حاوی خاکستربادی نوع A استفاده نشده است. در بتن‌های دارای میکروسیلیس با توجه به خواص فیزیکی این پوزولان پس از آب، فوق روان-کننده نیز به منظور تراکم بهتر بتن اضافه گردید. پس از ساخت بتن، مخلوط بتن براساس استاندارد در ۳ لایه و در هر لایه ۲۵ ضربه (جهت تراکم بتن) درون قالب ریخته شد. آزمونهای ساخته شده در دمای ۲۲ درجه سانتی‌گراد در محیط آزمایشگاه به مدت ۲۴ ساعت نگهداری شدند (شکل ۲). پس از خارج کردن آزمونهای از قالب، تا سنین ۲۸ و ۹۰ روز جهت آزمایش در دمای آزمایشگاه تحت عمل‌آوری مربوط در حوضچه‌ی آب قرار گرفتند.

۳- آماده سازی نمونه‌ها

بتن مطابق با نسبت مخلوطهای تعیین شده که جزئیات آن‌ها در جدول ۳ ارائه گردیده است، تهیه شد. برای این منظور پس از محاسبه حجم بتن لازم در هر مرحله، وزن اجزای بتن تعیین گردید و مصالح مورد نیاز وزن شدند. سپس مطابق با استاندارد C192/C192M-18 [۱۴] برای ساخت بتن ابتدا مصالح سنگی مخلوط گردید و سپس سیمان، خاکستربادی نوع A و میکروسیلیس افزوده شد، در نهایت آب به ترکیبات خشک اضافه شده است. در بتن‌های دارای خاکستربادی، به علت جذب آب بسیار کم این پوزولان در هنگام استفاده در بتن روانی بتن را به میزان کمی کاهش می‌دهد. به همین علت از فوق روان کننده در زمان ساخت

براساس زمان ۷۲ ساعت و فشار ۰/۵ مگاپاسکال سنجیده می‌شود. به این گونه که آزمونه مکعبی با ابعاد ۱۵۰ میلی‌متر، درون محفظه تحت فشار تا ۰/۵ مگاپاسکال قرار می‌گیرد و بعد از گذشت زمان ۷۲ ساعت، به وسیله جک بتن شکن به دو نیم تقسیم می‌شود. سپس با استفاده از خط کش، عمق نفوذ آب در بتن بر حسب میلی‌متر اندازه‌گیری می‌شود.

۳- نتایج و بحث

۳- آزمایش مقاومت فشاری

نتایج مربوط به مقاومت فشاری تمام طرح‌های مخلوط که شامل نتایج نمونه شاهد، نمونه‌های دارای درصدهای مختلف خاکستربرای، دارای دو درصد متفاوت از میکروسیلیس و نمونه دارای ۵ درصد خاکستربرای و ۱۵ درصد میکروسیلیس (به عنوان ترکیب بهینه) در سالین ۲۸ و ۹۰ روز در شکل‌های ۴ و ۵ ارائه شده است. نتایج نشان می‌دهد که مقاومت فشاری نمونه حاوی ۳ درصد خاکستربرای در سالین ۲۸ و ۹۰ روز نسبت به نمونه شاهد به میزان جزئی افزایش داشته است. بیشترین مقاومت فشاری در سالین ۲۸ و ۹۰ روز مربوط به نمونه بتنی حاوی ۵ درصد خاکستربرای، به ترتیب به میزان افزایش ۳ و ۳/۸ درصد نسبت به نمونه شاهد می‌باشد و این به دلیل بالابودن میزان سیلیس فعال (SiO_2) در خاکستربرای می‌باشد که موجب بهبود ریزساختار بتن می‌گردد [۵]. همچنین مشاهده می‌شود، مقاومت فشاری نمونه حاوی ۷/۵ درصد خاکستربرای برابر با مقاومت فشاری نمونه شاهد در دو سن ۲۸ و ۹۰ روز می‌باشد. نمونه حاوی ۱۰ درصد خاکستربرای در سالین ۲۸ و ۹۰ روز



شکل ۲- قالب‌گیری نمونه‌ها

۴- شرح انجام آزمایش

آزمایش مقاومت فشاری بر روی آزمونه‌های مکعبی با ابعاد ۱۵۰ میلی‌متر در سالین ۲۸ و ۹۰ روز مطابق با استاندارد ASTM C39 [۱۵]، با استفاده از جک هیدرولیکی و سرعت بارگذاری ۶/۷۵ کیلونیوتن بر ثانیه انجام شد (شکل ۳). برای ارزیابی قابلیت تیریا دال بتنی غیرمسلح به لحاظ مقاومت در مقابل شکست ناشی از خمش، آزمایش مقاومت خمشی مطابق با استاندارد ASTM C78 [۱۶] بر روی آزمونه‌های تیر ۱۰۰×۱۰۰×۵۰۰ میلی‌متر در دو سن ۲۸ و ۹۰ روز انجام گردید. همچنین به منظور بررسی دوام، آزمایش تعیین عمق نفوذ آب تحت فشار بر اساس استاندارد ۸- BS EN12390-8 [۱۷] بر روی آزمونه‌های بتنی در سالین ۲۸ و ۹۰ روز انجام شد. برای تعیین میزان عمق نفوذ آب در بتن،

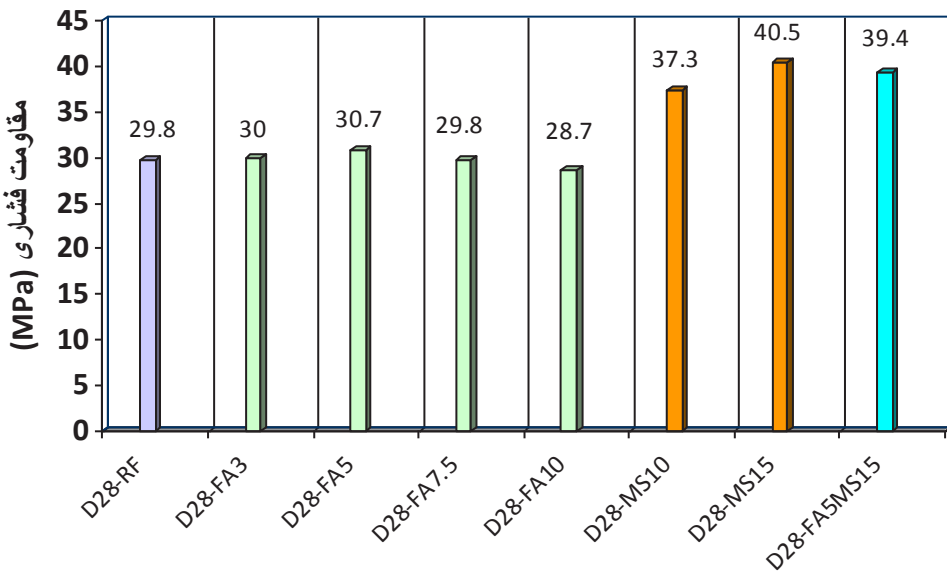
فیزیکی ذرات بسیار ریز میکروسیلیس، امکان پر کردن فضاهای خالی کوچک، بین ذرات مخلوط بتن را فراهم می‌سازد و به این ترتیب ساختار بتن چگال‌تر شده و سبب افزایش مقاومت فشاری بیش‌تر می‌گردد.



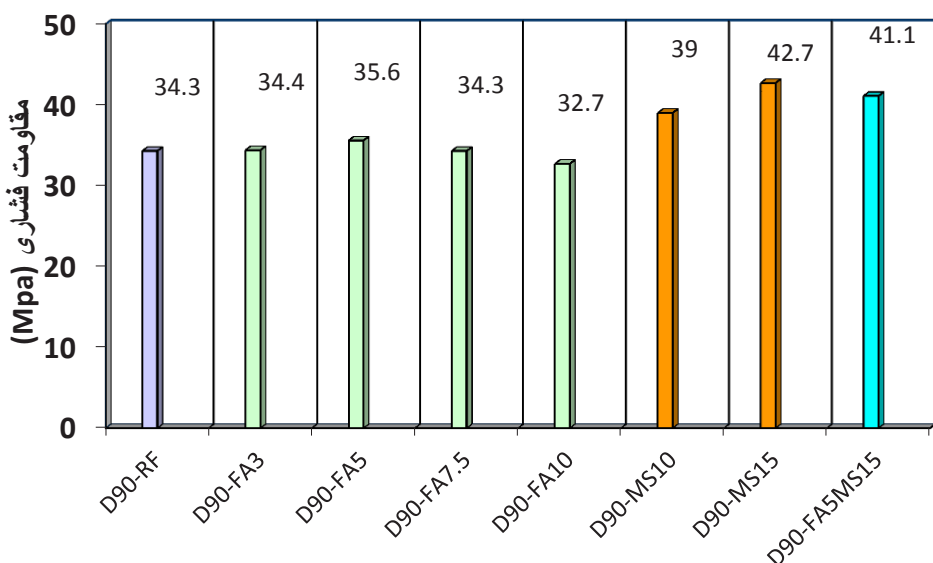
شکل ۳- آزمایش مقاومت فشاری بتن

دارای کاهش مقاومت فشاری به ترتیب به میزان $\frac{3}{7}$ و $\frac{4}{7}$ درصد نسبت به نمونه شاهد می‌باشد. همچنین نتایج شکل ۴ و ۵ نشان می‌دهد که افزودن هر دو درصد پوزولان میکروسیلیس جایگزین بخشی از سیمان، باعث افزایش مقاومت فشاری در هر دو سن 28 و 90 روز نسبت به بتن شاهد می‌شود. در میان نمونه‌ها، نمونه حاوی 10 درصد میکروسیلیس دارای افزایش مقاومت فشاری در سنین 28 و 90 روز به ترتیب به میزان $\frac{25}{2}$ و $\frac{13}{7}$ درصد نسبت به نمونه شاهد می‌باشد. همچنین نمونه حاوی 15 درصد میکروسیلیس دارای بالاترین مقاومت فشاری در هر دو سن 28 و 90 روز به ترتیب به میزان $\frac{35}{9}$ و $\frac{24}{5}$ درصد نسبت به بتن شاهد می‌باشد. در ضمن نتایج مربوط به نمونه‌های حاوی ترکیب درصد بهینه خاکستری و میکروسیلیس نشان می‌دهد، مقاومت فشاری نمونه‌های حاوی ترکیب بهینه در سنین 28 و 90 روز به ترتیب به میزان $\frac{19}{8}$ و $\frac{32}{2}$ درصد نسبت به نمونه‌های شاهد افزایش یافته است.

علت کسب مقاومت کم در نمونه‌های دارای درصدهای مختلف خاکستری نسبت به نمونه‌های دارای میکروسیلیس می‌توان با توجه به این موضوع اشاره کرد که سطح ویژه، وزن مخصوص و اندازه ذرات خاکستری مشابه سیمان است [۵]. اما در بتن‌های حاوی میکروسیلیس، به دلیل ماهیت



شکل ۴- نمودار نتایج آزمایش مقاومت فشاری طرح‌های مختلف در سن ۲۸ روز



شکل ۵- نمودار نتایج آزمایش مقاومت فشاری طرح‌های مخلوط مختلف در سن ۹۰ روز

مشاهده می‌شود، نمونه شاهد و نمونه‌های حاوی درصدهای مختلف خاکستریابی با افزایش سن عمل آوری دارای درصد افزایش بالاتر، نسبت به نمونه‌های حاوی میکروسیلیس می‌باشند. بیشترین درصد تغییر مقاومت فشاری از سن ۹۰ روز نسبت به همان نمونه در سن ۲۸ روز، مربوط به نمونه حاوی ۵ درصد خاکستریابی به میزان ۱۶ درصد افزایش می‌باشد. علت افزایش بیشتر مقاومت

میزان درصد افزایش مقاومت فشاری نمونه‌های سن ۹۰ روز نسبت به سن ۲۸ روز در جدول ۴ ارائه شده است. از مقایسه و ارزیابی نتایج می‌توان مشاهده کرد که مقاومت فشاری نمونه‌ها در سن ۹۰ روز نسبت به همان نمونه در سن ۲۸ روز بیشتر می‌باشد و این به علت انجام واکنش آبگیری و تا حدودی تکمیل شدن فرآیند آن در طول سن عمل آوری می‌باشد که موجب افزایش ژل C-H-S می‌شود. همچنین

نتایج نمونه شاهد، نمونه‌های دارای درصدهای مختلف خاکستریابی، نمونه دارای فقط ۱۵ درصد میکروسیلیس و همچنین نمونه دارای ۵ درصد خاکستریابی و ۱۵ درصد میکروسیلیس (به عنوان ترکیب بهینه) در سالین ۲۸ و ۹۰ روز بترتیب در شکل‌های ۷ و ۸ نشان داده شده است. از مقایسه نتایج شکل ۷ مشاهده می‌شود که مدلول گسیختگی نمونه دارای ۵ درصد پوزولان خاکستریابی در سن ۲۸ روز، معادل با مدلول گسیختگی نمونه شاهد می‌باشد. مدلول گسیختگی نمونه‌های دارای ۳ و ۷/۵ درصد خاکستریابی نسبت به نمونه شاهد به میزان مساوی ۱/۸۵ درصد در سن ۲۸ روز افزایش داشته است. همچنین نمونه دارای ۱۰ درصد خاکستریابی در سن ۲۸ روز، دارای کاهش مدلول گسیختگی به میزان ۳/۷ درصد نسبت به نمونه شاهد منتظر می‌باشد. بیشترین افزایش مدلول گسیختگی در سن ۲۸ روز مربوط به نمونه دارای ۱۵ درصد میکروسیلیس به میزان ۳۳/۳ درصد نسبت به نمونه شاهد می‌باشد و نیز نسبت به نمونه‌های دارای خاکستریابی و نمونه دارای ترکیب بهینه بیشتر می‌باشد. همچنین از نتایج می‌توان دریافت، مدلول گسیختگی نمونه دارای ترکیب بهینه به میزان ۲۷/۸ درصد نسبت به نمونه شاهد در سن ۲۸ روز افزایش یافته است.

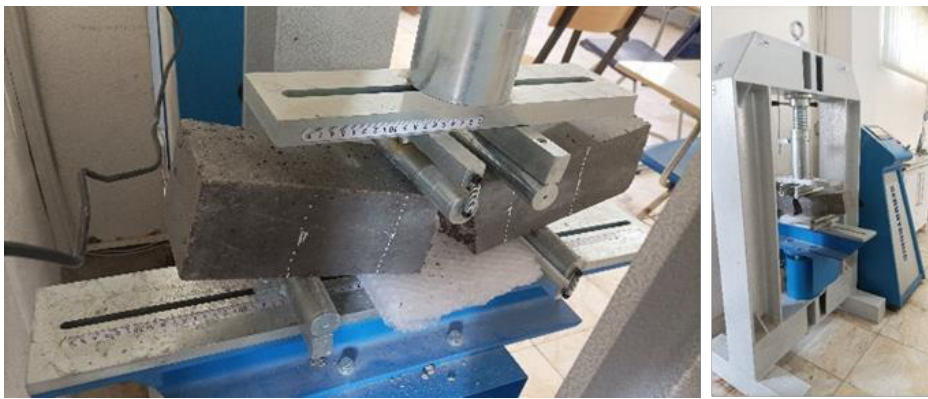
فشاری نمونه‌های حاوی خاکستریابی نسبت به نمونه‌های حاوی میکروسیلیس این مسئله می‌باشد که استفاده از میکروسیلیس در بتون موجب می‌گردد که بتون تا سن ۲۸ روز تقریباً به آبگیری نهای خود برسد [۱۸]. اما بتون در سالین بالاتر با استفاده از خاکستریابی نوع A، به دلیل تکمیل فرآیند عمل آبگیری، به مقاومت فشاری بیشتری دست می‌یابد.

جدول ۴- درصد افزایش مقاومت فشاری نمونه‌های ۹۰ روز نسبت به ۲۸ روز

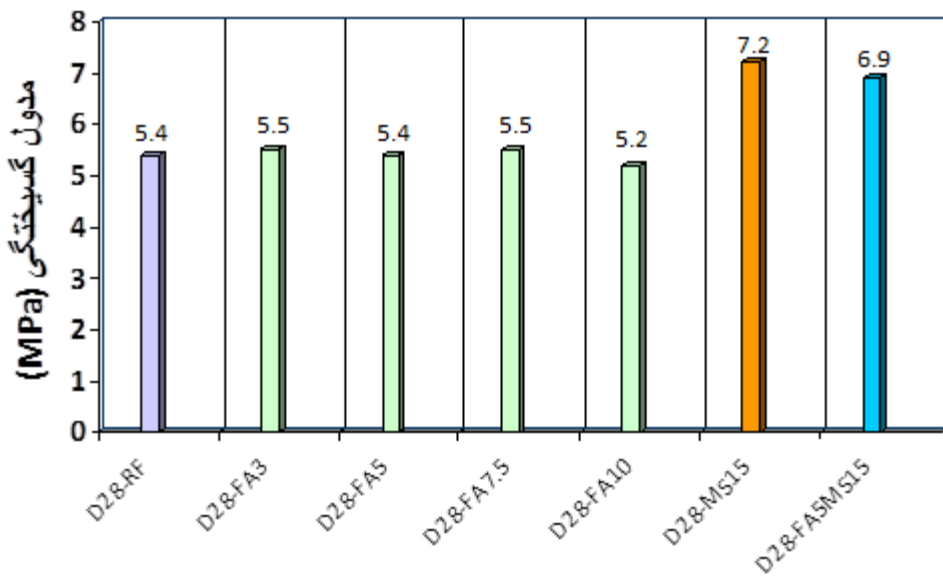
نام طرح	درصد افزایش مقاومت فشاری نمونه‌های ۹۰ روز نسبت به ۲۸ روز
RF	15.1
FA3	14.7
FA5	16
FA7.5	15.1
FA10	13.9
MS10	4.6
MS15	5.4
FA5MS15	4.3

۲-۴- آزمایش مقاومت خمشی

شکل ۶ آزمایش مقاومت خمشی بر روی تیر بتونی را نشان می‌دهد. مقاومت خمشی رابطه مستقیم با مدلول گسیختگی دارد. در این مطالعه پس از انجام آزمایش مقاومت فشاری و مشخص شدن درصد بهینه میکروسیلیس (۱۵ درصد)، فقط آزمونه‌های دارای ۱۵ درصد میکروسیلیس جهت ارزیابی مدلول گسیختگی مورد بررسی قرار گرفتند. نتایج مربوط به مدلول گسیختگی همه طرح‌های مخلوط که شامل



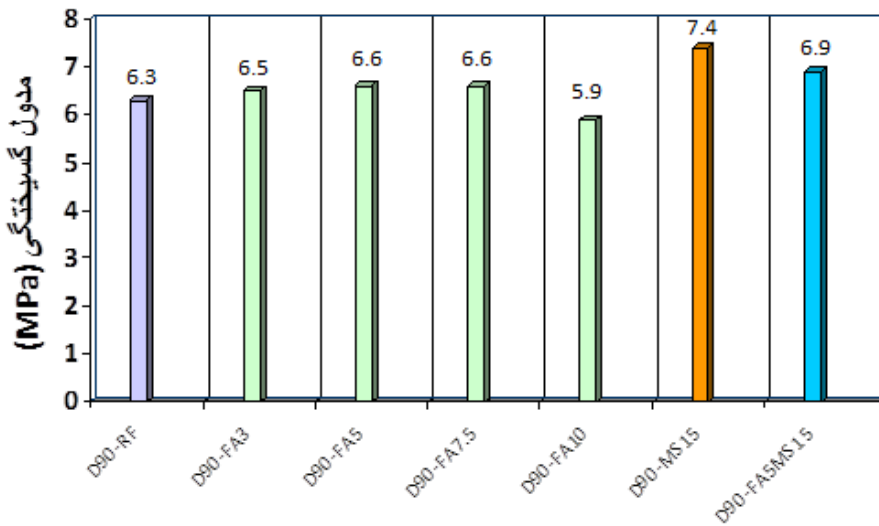
شکل ۶- آزمایش تعیین مدول گسیختگی بتن



شکل ۷- نمودار نتایج آزمایش مدول گسیختگی طرح های مختلف در سن ۲۸ روز

خاکستریادی، دارای کاهش مدول گسیختگی به میزان $6/3$ درصد نسبت به نمونه شاهد در سن ۹۰ روز می باشند. ضمناً مدول گسیختگی نمونه حاوی ترکیب بهینه به میزان $9/5$ درصد نسبت به نمونه شاهد افزایش داشته است. علاوه بر این، بیشترین افزایش مدول گسیختگی در سن ۹۰ روز مربوط به نمونه دارای 15 درصد میکروسیلیس به میزان $17/5$ درصد نسبت به نمونه شاهد می باشد.

نتایج مربوط به مدول گسیختگی سن ۹۰ روز در شکل ۸ نشان می دهد که افزودن 3 ، 5 و $7/5$ درصد خاکستریادی به عنوان جایگزین بخشی از وزن سیمان، باعث افزایش مدول گسیختگی در سن ۹۰ روز به ترتیب به میزان $3/2$ ، $4/8$ و $4/8$ درصد نسبت به نمونه شاهد می گردد و بیشترین مدول گسیختگی مربوط به نمونه های حاوی 5 و $7/5$ درصد خاکستریادی می باشد. همچنین مشاهده می شود که نمونه های دارای 10 درصد



شکل ۸- نمودار نتایج آزمایش مدول گسیختگی طرح های مختلف در سن ۹۰ روز

نوع A می باشد که با شرکت در ترکیبات شیمیایی ژل C-H-S موجب پر شدگی منافذ ریز و درشت و همچنین توانایی بیشتر بتون در مقابل نفوذ آب می گردد. همچنین نتایج نشان داد که با افزایش خاکستربرادی به میزان $7/5$ و 10 درصد جایگزین بخشی از وزن سیمان، میزان نفوذپذیری نمونه ها افزایش می یابد به این صورت که، نفوذپذیری نمونه حاوی $7/5$ درصد خاکستربرادی نسبت به نفوذپذیری نمونه شاهد در سالین 28 و 90 روز به ترتیب به میزان $3/6$ و $5/6$ درصد افزایش یافته است و نمونه حاوی 10 درصد خاکستربرادی در سالین 28 و 90 روز دارای افزایش نفوذپذیری به میزان $14/3$ و $27/8$ درصد نسبت به نمونه شاهد می باشدند.

همچنین نتایج شکل های 10 و 11 نشان می دهد که میزان نفوذپذیری نمونه دارای 15 درصد میکروسیلیس در سالین 28 و 90 روز به ترتیب به مقدار $42/9$ و $16/7$ درصد نسبت به نمونه شاهد کاهش یافته است. میزان نفوذپذیری نمونه دارای ترکیب بهینه (5 درصد خاکستربرادی و 15 درصد میکروسیلیس) در سن 28 روز به میزان $35/7$ درصد نسبت به نمونه شاهد کاهش داشته است و میزان نفوذپذیری نمونه حاوی ترکیب بهینه در سن 90 روز معادل با میزان نفوذپذیری نمونه

۳-۳- آزمایش نفوذپذیری

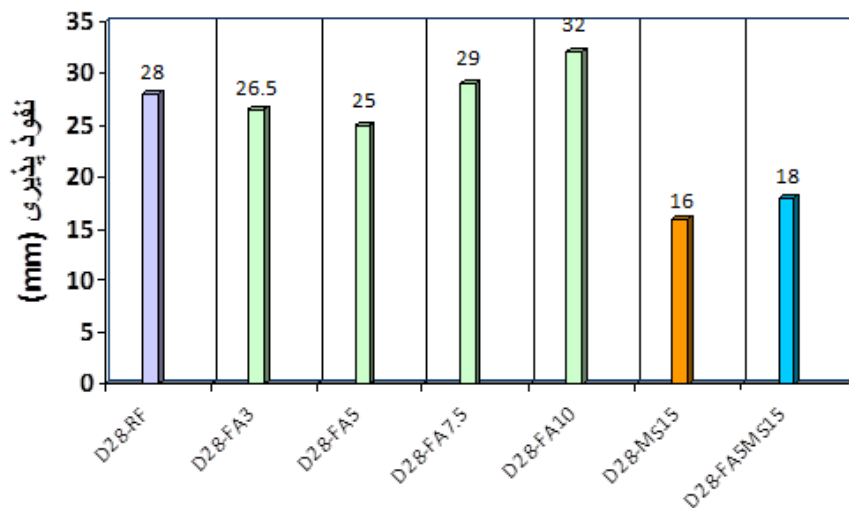
در این مطالعه پس از انجام آزمایش مقاومت فشاری و مشخص شدن درصد بهینه میکروسیلیس (15 درصد)، فقط آزمونه های دارای 15 درصد میکروسیلیس جهت ارزیابی میزان نفوذپذیری بررسی شدند. 3 آزمونه در دستگاه نفوذپذیری و میزان عمق نفوذ آب در 3 آزمونه در شکل 9 نشان داده شده است. نتایج مربوط به آزمایش نفوذپذیری تمام طرح های مخلوط که شامل نتایج نمونه شاهد، نمونه های دارای درصد های مختلف خاکستربرادی، نمونه دارای 15 درصد میکروسیلیس و 15 همچنین نمونه دارای 5 درصد خاکستربرادی و 15 درصد میکروسیلیس (به عنوان ترکیب بهینه) در سالین 28 و 90 روز در شکل های 10 و 11 ارائه شده است. نفوذپذیری نمونه حاوی 3 درصد پوزولان خاکستربرادی در سالین 28 و 90 روز نسبت به نفوذپذیری نمونه متناظر شاهد به ترتیب به میزان $5/4$ و $11/1$ درصد کاهش یافته است. کمترین میزان نفوذپذیری در سالین 28 و 90 روز مربوط به نمونه بتنی حاوی 5 درصد خاکستربرادی نوع A، به ترتیب به میزان کاهش $10/7$ و $16/7$ درصد نسبت به نمونه شاهد می باشد و این به دلیل بالا بودن میزان اکسید سیلیس فعال (SiO_2) در خاکستربرادی

لحاظ تکمیل فرآیند عمل آبگیری دارای نفوذپذیری کمتری می‌باشد.

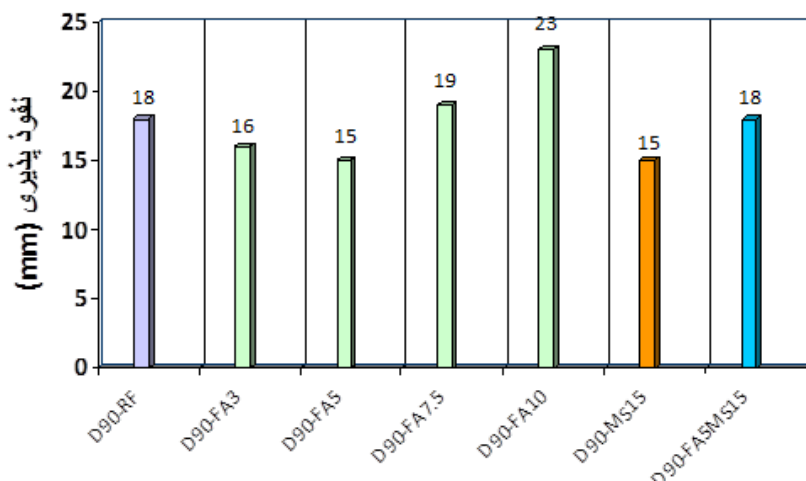


شکل ۹- آزمونهای نفوذپذیری و میزان عمق نفوذ آب در نمونه بتونی

شاهد می‌باشد. اگر ارزیابی مقایسه‌ای بین نمونه شاهد، درصد بهینه خاکستریابی، درصد بهینه میکروسیلیس و ترکیب بهینه انجام گردد، می‌توان مشاهده کرد که میزان نفوذپذیری نمونه حاوی فقط ۵ درصد خاکستریابی معادل با نمونه حاوی فقط ۱۵ درصد میکروسیلیس می‌باشد که هر دو به میزان ۱۶/۷ علت کاهش بیشتر نفوذپذیری نمونه حاوی خاکستریابی نسبت به نمونه حاوی میکروسیلیس این مسئله می‌باشد که استفاده از میکروسیلیس در بتن موجب می‌گردد که بتن تا سن ۲۸ روز تقریباً به آبگیری نهایی خود برسد. اما در رابطه با استفاده از خاکستریابی نوع A، بتن در سنین بالاتر به



شکل ۱۰- نمودار نتایج میزان نفوذپذیری طرح‌های مختلف در سن ۲۸ روز



شکل ۱۱- نمودار نتایج میزان نفوذپذیری طرح‌های مختلف در سن ۹۰ روز

۴- نتیجه‌گیری

- نتایج کلی حاصل از ارزیابی آزمایش‌های مقاومت فشاری، مدول گسیختگی و نفوذپذیری صورت گرفته بر روی ۲۱۶ آزمونه موجود در این مطالعه به شرح ذیل می‌باشد:
- بهترین عملکرد در آزمایش‌های مربوط به مقاومت فشاری و نفوذپذیری در نمونه حاوی فقط ۵ درصد خاکستریابی و نمونه حاوی فقط ۱۵ درصد میکروسیلیس جایگزین وزنی سیمان در سنین ۲۸ و ۹۰ روز مشاهده شده است.
- افزودن ۳، ۵ و ۷/۵ درصد خاکستریابی به عنوان جایگزین بخشی از سیمان، باعث افزایش مدول گسیختگی در سنین ۲۸ و ۹۰ روز نسبت به نمونه شاهد می‌شود و بیشترین مدول گسیختگی مربوط به نمونه‌های حاوی ۳ و ۵/۵ درصد در سن ۲۸ روز و ۵ و ۷/۵ درصد خاکستریابی در سن ۹۰ روز می‌باشد.
- عملکرد افزودن ترکیب ۵ درصد خاکستریابی و ۱۵ درصد میکروسیلیس جایگزین وزنی سیمان در بتن (ترکیب بهینه)، موجب کاهش به نسبت کم مقاومت فشاری و مدول گسیختگی و افزایش نسبتاً کم نفوذپذیری نسبت به افزودن فقط ۱۵ درصد میکروسیلیس به بتن در سنین ۲۸ و ۹۰ روز می‌گردد.
- با افزودن ۷/۵ درصد پوزولان خاکستریابی جایگزین سیمان، مقاومت فشاری معادل با مقاومت فشاری بتن شاهد را در سنین ۲۸ و ۹۰ روز مشاهده شد.
- افزودن ۷/۵ درصد پوزولان خاکستریابی جایگزین سیمان، موجب افزایش نفوذپذیری در سنین ۲۸ و ۹۰ روز می‌شود.
- افزودن ۱۰ درصد خاکستریابی در بتن باعث کاهش مقاومت فشاری، مدول گسیختگی و افزایش میزان نفوذپذیری در سنین ۲۸ و ۹۰ روز می‌گردد.
- مقاومت فشاری، مدول گسیختگی و نفوذپذیری در سن ۹۰ روز نسبت به سن ۲۸ روز نمونه شاهد و نمونه‌های حاوی درصدهای مختلف خاکستریابی نسبت به نمونه‌های حاوی میکروسیلیس بیشتر می‌باشند. بیشترین درصد تغییر مربوط به نمونه‌های حاوی ۵ درصد خاکستریابی می‌باشد. علت افزایش این است که استفاده از میکروسیلیس در بتن باعث می‌شود که بتن تا سن ۲۸ روز تقریباً به آبگیری نهایی خود برسد. اما در رابطه با استفاده از خاکستریابی نوع A، بتن در سنین بالاتر به لحاظ تکمیل فرآیند عمل آبگیری دارای خواص مکانیکی و دوام بیشتری می‌باشد.
- میزان نفوذپذیری نمونه حاوی ۵ درصد خاکستریابی معادل با نمونه حاوی ۱۵ درصد میکروسیلیس در سن ۹۰ روز نشان داده شد.

۵- فهرست مراجع

- [1] Imbab, M.S., Carrigan, C., McKenna, S. (2012). "Trends and developments in green cement and concrete technology". *International Journal of Sustainable Built Environment*, 1(2), pp 194-216.
- [2] Drammeh, A., Sidibeh, O. (2015). "Trends and Developments in Green Cement and Concrete Technology". *sustainable Industrial Processing Summit*, Vol. 6, pp 79-80, Flogen Star Outreach.
- [3] Vorayos, N., Vorayos, N., Jaitiang, T. (2020). "Energy-environmental performance of Thai's cement industry". *Energy Reports*, 6, pp 460-466.
- [4] Tikalsky, P.J., Huffman, M.V., Butler, W.B., Jensen, J.S., Popovics, S., Call, B.M., Keck, R., Prusinski, J., Carrasquillo, R.L., Kosmatka, S.H., Reddy, D.V. (1996). "Use of fly ash in concrete". *ACI Committee*, 232.
- [۵] زندی، ی.، عابدی، م. (۱۴۰۰). "ارزیابی تأثیر پارامترهای متفاوت بر روی مقاومت بتن در برابر نفوذ یون کلراید و تخلخل آن". نشریه مهندسی عمران امیرکبیر، دوره ۵۳ شماره ۳، صفحات ۱۰۶۷-۱۰۸۲.
- [۶] بیات، م.، بحرینیان، س. م. ح. (۱۳۹۹). "تأثیر خاکستر بادی و آهک بر روی خصوصیات ژئوتکنیکی خاک ماسه ای". نشریه انجمن زمین شناسی مهندسی ایران، جلد سیزدهم، شماره ۲، صفحات ۸۵-۹۵.
- [7] Fotovat, F., Kazemian, H., Kazemeini, M. (2009). "Synthesis of Na-A and faujasitic zeolites from high silicon fly ash. *Materials Research Bulletin*". 44(4), 913-917.
- [8] Medina, N.F., Barluenga, G., Hernández-Olivares, F. (2015). "Combined effect of polypropylene fibers and silica fume to improve the durability of concrete with natural pozzolans blended cement". *Construction and Building Materials*, 96, pp 556-566.
- [9] Mohammadi, M., Moghtadaei, R.M., Samani, N.A. (2014). "Influence of silica fume and metakaolin with two different types of interfacial adhesives on the bond strength of repaired concrete". *Construction and Building Materials*, 51, pp 141-150.
- [10] Kazemian, H., Naghdali, Z., Kashani, T. G., Farhadi, F. (2010). "Conversion of high silicon fly ash to Na-P1 zeolite: Alkaline fusion followed by hydrothermal crystallization". *Advanced Powder Technology*, 21(3), pp 279-283.
- [11] Uzbas, B., Aydin, A.C. (2020). "Microstructural analysis of silica fume concrete with scanning electron microscopy and X-ray diffraction. Engineering". *Technology & Applied Science Research*, 10(3), pp.5845-5850.
- [۱۲] نادری، م. و همکاران. (۱۳۹۹). " مطالعه نفوذپذیری و مقاومت بتن‌های حاوی دوده سیلیسی، زئولیت و خاکستری با استفاده از روش محفظه استوانه‌ای و استاندارد بریتانیا". نشریه علمی-پژوهشی مهندسی سازه و ساخت، دوره ۷۵، شماره ۳، صفحه ۹۲ تا ۱۱۳.
- [13] ASTM C33/C33M – 18. (2018). "Standard Specification for Concrete Aggregates".

- [14] ASTM C192/C192M – 18. (2018). “Standard Practice for Making and Curing Concrete Test Specimens in the Laboratory”.
- [15] ASTM C39/C39M – 21. (2020). “Standard Test Method for Compressive Strength of Cylindrical Concrete Specimens”.
- [16] ASTM C78/C78 – 21. (2021). “Standard Test Method for Flexural Strength of Concrete (Using Simple Beam with Third-Point Loading)”.
- [17] BS EN 12390-8. (2019). “Testing hardened concrete. Depth of penetration of water under pressure”.
- [18] Pachideh, Gh., Gholhaki, M., Moshtagh, A. (2020). “Laboratory study of mechanical properties and microstructure of cement mortar containing Silicafume and Granulated Blast- Furnace Slag in post-high temperature condition”. *Concrete research*, 13(1), pp 81-97.

بررسی تاثیر رزین پلی استر غیراشباع به عنوان ماده پرکننده مابین بلوک‌های رویه بتن بلوکی سطوح پروازی فرودگاه (توقفگاه هوایپیما) بر شاخص FOD و در مواجهه با سوخت هوایپیما



مجید قاسمی

دانشجوی دکتری راه و ترابری
دانشکده عمران-معماری و هنر
 واحد علوم و تحقیقات، دانشگاه آزاد اسلامی، تهران



پraham حیاتی

استادیار گروه راه و ترابری
دانشکده عمران و محیط زیست
دانشگاه تربیت مدرس، تهران



امیر ابراهیم دهشپور

دانشجوی دکتری راه و ترابری
دانشکده عمران-معماری و هنر
 واحد علوم و تحقیقات، دانشگاه آزاد اسلامی، تهران

چکیده

استفاده از انواع روسازی‌های بتنی (صلب) در سطوح پروازی فرودگاه‌ها به دلیل ظرفیت باربری بالا، مقاومت در برابر ریزش سوخت و همچنین طول عمر بپره‌برداری بیشتر نسبت به روسازی‌های آسفالتی ارجحیت پیدا کرده است. از بین انواع روسازی‌های بتنی، روسازی بتن بلوکی علاوه بر ظرفیت باربری کافی دارای انعطاف‌پذیری مناسب، سرعت نگهداری و تعییر بالا و امکان دسترسی سریع به لایه‌های زیرین روسازی است که موجب استفاده از این روسازی به عنوان یکی از گزینه‌های طراحی در سطوح توقفگاه هوایپیما شده است. روسازی‌های بتنی سطوح پروازی خصوصاً توقفگاه‌های هوایپیما در طی عمر بپره‌برداری خود وضعیتی را تحمل می‌کنند که در شرایط متداول در سایر رویه‌های بتنی تجربه نمی‌شود. این شرایط خاص سبب وقوع خرابی‌هایی همچون پوسته شدن سطح رویه بر اثر ریزش سوخت هوایپیما شده است که منجر به افزایش احتمال وقوع شاخص پتانسیل آسیب ناشی از جسم خارجی (FOD) می‌گردد. بنابراین روسازی این نواحی نیازمند مقاومت در برابر ریزش سوخت یا روغن‌های نفتی است. در این پژوهش رویه بتن بلوکی بر اساس ضوابط FAA در محدوده $2 \times 1/5$ متر با بلوک‌های بتنی به ابعاد 22×8 سانتی‌متر و ضخامت ۱ سانتی‌متر با الگوی چینش جناغی با ماسه درزبند به عنوان پرکننده مابین بلوک‌ها متراکم گردید. همچنین به منظور بررسی تاثیر ماده درزبند، فضای مابین بلوک‌ها با استفاده از مصالح پرکننده متداول (ملات ماسه و سیمان) و ترکیب رزین پلی استر غیراشباع به همراه پودر سنگ به ضخامت ۱ سانتی‌متر آب‌بندی گردید. آزمون‌های بیرون کشیدگی (Pull-off) و حلایت در مواجهه با سوخت JP-4 هواپیما انجام گردید و در نهایت بافت مصالح پرکننده توسط تصاویر میکروسکوپی (SEM) مورد بررسی قرار گرفت. نتایج آزمایش‌ها نشان داد که استفاده از مصالح پرکننده پایه رزین علاوه بر ایجاد بافت پیوسته و افت وزنی کمتر از 5% در مواجهه با سوخت JP-4 هواپیما که سبب کاهش پتانسیل FOD سطوح پروازی شد، قفل و بست مابین بلوک‌های بتنی را نیز به میزان 45% نسبت به ملات ماسه و سیمان افزایش داد. امکان سنجی کاربرد مصالح پرکننده حاوی رزین پلی استر غیراشباع با توجه به بهبود پیوستگی، افزایش قفل و بست و کاهش تغییر وزن و کاهش پتانسیل شاخص FOD در روسازی‌های سطوح پروازی پیشنهاد می‌گردد.

کلمات کلیدی: روسازی بتن بلوکی، رزین پلی استر غیراشباع، آزمون بیرون کشیدگی (Pull-off)، سطوح پروازی فرودگاه، شاخص پتانسیل آسیب ناشی از جسم خارجی (FOD).

۱- مقدمه

ترافیکی بر روی آنها بیشتر از ۴۵ تن است باید از لایه اساس ثبیت شده با سیمان (CTB)^۴ در ساختارشان استفاده شود^[۲,۵]. برای ساخت بلوک‌های بتنی از استانداردهای BS EN 1338 و ASTM C936-C936M استفاده می‌گردد که توضیحات کاملی از مواد اولیه، ابعاد و روش‌های آزمایش بر روی بلوک‌های بتنی را ارائه کرده‌اند^[۶,۷].

ظرفیت باربری روسازی‌های بتن بلوکی مورد استفاده در سطوح پروازی توسط طاهری و همکاران^[۸] در سال ۲۰۲۱ بررسی گردید. روسازی بتن بلوکی به مساحت ۴ متر مربع برمبنای ضوابط FAA ساخته و بارگذاری صفحه در مرکز آن انجام شد. سپس تعداد تکرار مجاز بارگذاری بر روی روسازی با توجه به پاسخ لایه CTB تعیین گردید. برای پر کردن فضای خالی مابین بلوک‌ها از ترکیب ماسه و سیمان با نسبت ۳ به ۱ استفاده شد.

در بررسی روسازی‌های بتن بلوکی علاوه بر بررسی ظرفیت باربری، میزان چفت و بست^۵ بلوک‌های به یکدیگر و همچنین مقاومت در برابر نیروی برشی نیز از اهمیت بالایی برخوردار است. در روسازی‌های بتنی بلوکی، قفل و بست افقی بلوک‌های بتنی تاثیر مستقیم بر مقاومت روسازی دربرابر بارهای افقی دارد که به شکل و الگوی چیدمان بلوک‌ها، نوع مصالح پرکننده بین آن‌ها و تماس بلوک‌ها با یکدیگر

استفاده از روسازی‌های بتنی(صلب)^۱ به جهت افزایش ظرفیت باربری و همچنین طول عمر بهره برداری بیشتر نسبت به روسازی‌های آسفالتی، ارجحیت پیدا کرده است^[۱]. با توجه به مقاومت باربری مناسب این نوع از روسازی، استفاده از آن در سطوح پروازی فرودگاه‌ها توصیه شده، در حالی که نگهداری و تعمیر آن نیازمند صرف زمان و مسدود سازی ترافیک عبوری است^[۲]. از بین انواع روسازی‌های بتنی، روسازی بتن بلوکی علاوه بر ظرفیت باربری کافی دارای انعطاف‌پذیری مناسب، سرعت نگهداری و تعمیر بالا و امکان دسترسی سریع به لایه‌های زیرین روسازی است که موجب کاربرد آن به عنوان یکی از گزینه‌های طراحی در سطوح توقفگاه هواپیماها^۲ شد^[۳,۴]. روسازی بتن بلوکی از اجزا منفرد (بلوک‌های بتنی) با سطوح جانبی نامنظم تشکیل شده است که در کنار یکدیگر به عنوان یک ساختار پیوسته عمل می‌کنند. ساخت و اجرای روسازی‌های سطوح پروازی فرودگاه‌ها به دلیل شرایط خاص این سطوح، باید با کیفیت بالا و همچنین ریسک پایین باشد. بنابراین سازمان هوانوردی فدرال (FAA)^۳ شرایط و نحوه ساخت و اجرای روسازی بتن بلوکی را ارائه کرده است. برهمین اساس روسازی‌های بتن بلوکی که بار

⁴ Cement Treated Base (CTB)

⁵ interlock

¹ Rigid pavement

² Apron

³ Federal Aviation Administration (FAA)

خاص سبب وقوع خرابی‌هایی همچون پوسته شدن^۹ سطح رویه بر اثر ریزش سوخت هواپیما شده است FOD که منجر به افزایش احتمال وقوع پدیده گردید[۱۲]. بنابراین روسازی این نواحی نیازمند مقاومت در برابر ریزش سوخت یا روغن‌های نفتی است. برای کنترل مقاومت روسازی‌ها در برابر ریزش سوخت، بند P-404 از آیین نامه FAA [۱۴] و استاندارد ASTM D1854 [۱۵] نحوه انجام آزمایش برای روسازی‌های آسفالتی و بتنی را ارائه کرده‌اند. نکته مهم در آزمایش‌های ارائه شده، تماس مستقیم سوخت با رویه روسازی به مدت ۲۴ ساعت است[۱۶].

۲- روش پژوهش

علاوه بر دو عامل ظرفیت باربری و قفل و بست بین بلوكها، مقاومت در برابر ریزش سوخت برای روسازی‌های واقع در مکان‌های نظیر توقفگاه‌های هواپیما، پارکینگ‌ها و جایگاه‌های سوخت از اهمیت ویژه‌ای برخوردار است و اجزا روسازی این مکان‌ها باید مقاومت کافی در برابر ریزش سوخت داشته باشند. در این پژوهش تلاش گردید تا با ارائه یک ماده پرکننده بین بلوكی جدید ضمن افزایش قفل و بست بلوكها به یکدیگر، از احتمال خرابی‌های ناشی از FOD در سطوح پروازی کاست. همچنین مقاومت در برابر ریزش سوخت را به حداقل رساند که خود موجب افزایش عمر بهره‌برداری روسازی است و از ورود رطوبت و ذرات خارجی به لایه‌های روسازی جلوگیری می‌کند.

که در نتیجه آن انتقال بار بین آنها صورت می‌گیرد، بستگی دارد[۹].

یک سیستم جدید توسط جان امری و همکاران [۱۰] در سال ۲۰۰۴ ارائه گردید که موجب افزایش قفل و بست بین بلوك‌های بتنی و کاهش پدیده FOD در سطوح پروازی فرودگاه‌ها شد. سیستم جدید ارائه شده شامل اعمال تغییراتی در شکل بلوكها بود. این تغییرات به منظور چفت شدن بلوك‌های بتنی به یکدیگر انجام شد.

در سال ۲۰۱۸ ووگانگ لین و همکاران [۱۱] چهار مدل مختلف بلوك بتنی را با چهار الگو چیدمان، کنار یکدیگر قرار دادند که از بین الگوهای انتخابی، مدل جناغی^۶ عملکرد سازه‌ای بهتری از خود نشان داد. ایجاد تغییرات در شکل بلوك‌های بتنی منجر به کاهش شاخص پتانسیل آسیب ناشی از جسم خارجی (FOD)^۷ و همچنین افزایش قفل و بست بین بلوك‌های بتنی گردید. با چینش پنج مدل مختلف بلوك بتنی در شش الگو گوناگون، مشخص گردید که سختی تماسی^۸ ماسه پرکننده درزها نقش نقش مهمی در تغییر شکل‌های افقی دارد و باید از پر شدن کامل درزها اطمینان حاصل کرد[۱۲].

روسازی‌های بتنی سطوح پروازی خصوصاً توقفگاه‌های هواپیما در طی عمر بهره‌برداری خود وضعیتی را تحمل می‌کنند که در شرایط متداول در سایر رویه‌های بتنی تجربه نمی‌شود. این شرایط

⁶ Herringbone pattern

⁷ Foreign Object Damage (FOD)

⁸ Contact stiffness

⁹ Scaling

کنترل گردید. لایه CTB مطابق با بند P-209 نشريه FAA [۲۰] دانه بندي، پخش و به وسیله متراکم کننده دستی مطابق شکل شماره (۱-الف) متراکم و پس از عمل آوري لایه CTB، لایه بستر ماسه‌اي مطابق شکل شماره (۱-ب) به ضخامت ۳ سانتي متر دانه‌بندي و بر روی آن اجرا و متراکم گردید. در مرحله آخر ساخت روسازی، بلوک‌های بتني مطابق شکل شماره (۱-ج) با الگوی جناغي بر روی بستر ماسه‌اي چيده و متراکم گردید. برای پر کردن فضای خالي بين بلوک‌های بتني از ماسه با قطر کمتر از ۱/۱۸ ميلي متر استفاده شد (مطابق معيار (FAA(150/5320-6D) [۲۱].

۱-۲- ساختار روسازی

روسازی بتن بلوکي بر اساس ضوابط FAA در ابعاد $1/3m \times 2m$ به ضخامت ۷۱ سانتي متر در ۶ لایه شامل خاک بستر، زيراساس، اساس سنگي شکسته و اساس تثبيت شده با سيمان (CTB) هر يك به ضخامت ۱۵ سانتي متر، لایه بستر ماسه‌اي به ضخامت ۳ سانتي متر و بلوک‌های بتني به ضخامت ۸ سانتي متر ساخته شد. صالح لایه‌های خاک بستر، زيراساس و اساس سنگي شکسته شده پس از دانه‌بندي مطابق بندۀ P-152 [۱۷] و P-154 [۱۸] از آئين نامه FAA اجرا شد و سپس در صد تراکم هر لایه مطابق با AASHTO T191 [۱۹]



(ج)



(ب)



(الف)

شكل ۱- مراحل ساخت روسازی بتن بلوکی فروندگاهی: (الف) تراکم لایه CTB، (ب) اجرای لایه بستر ماسه‌اي، (ج) چيش بلوک‌های بتني با الگوی جناغي

۲-۲- مشخصات صالح پرکننده بين بلوک‌های بتني

از ۲ نوع ماده چسباننده^{۱۰} برای ساخت ملات پرکننده در درزهای روسازی بلوکي مطابق با شکل شماره ۳ استفاده شد.

¹⁰ binder



(ب)



(الف)

شکل ۳- نوع ماده چسباننده: (الف) سیمان تیپ ۲، (ب) رزین پلی استر غیر اشبع

سیمان مصرفی در این پژوهش از نوع پرتلند تیپ ۲ کارخانه سیمان قاین انتخاب و مشخصات شیمیایی آن به شرح جدول شماره ۲ می‌باشد. وزن مخصوص سیمان مورد استفاده بر اساس استاندارد C188 ASTM [۲۳]، مقدار ۳۱۴۶ کیلوگرم بر متر مکعب تعیین شد.

به منظور پخش میزان اسیدی یا بازی بودن هر یک از رزین‌ها، آزمایش سنجش PH [۲۲] با روش الکترومتری انجام شد. ویسکوزیته رزین پلی استر غیراشبع با استفاده از ویسکومتر بروکفیلد محاسبه گردید. نتایج آزمایشات مطابق جدول شماره ۱ ارائه گردیده است.

جدول ۱- مشخصات رزین پلی استر غیراشبع

نتیجه	آزمایش
۱۰۹۰	ویسکوزیته (CPS)
۳/۸۱	PH

جدول ۲- مشخصات ترکیبات شیمیایی سیمان

ترکیب	استاندارد	حد استاندارد	مقدار (%)
SiO ₂	ISIRI 1692	---	۲۱/۷
Al ₂ O ₃	ISIRI 1692 Titer	Max 6	۴/۶
Fe ₂ O ₃	ISIRI 1692 Titer	Max 6	۴/۶
CaO	ISIRI 1692 Titer	---	۶۳
MgO	ISIRI 1692 Titer	Max 6	۱/۱
SO ₃	ISIRI 1692	Max 3	۱/۸۴
LOI	ISIRI 1692	Max 3	۲/۶
IR	ISIRI 1692	Max 1.5	۰/۵۵
C ₃ A	---	Max 8	۶

مشخصات فیزیکی سیمان مورد استفاده در جدول شماره ۳ قابل مشاهده است.

جدول ۳- مشخصات ترکیبات فیزیکی سیمان

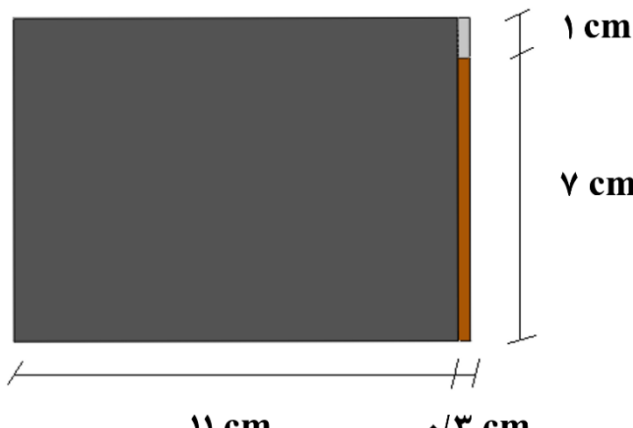
نتایج	حد استاندارد	استاندارد	مشخصه	
۱۴۵	Min 100	ISIRI 393	۲ روزه	مقاومت فشاری Kg/cm ²
---	---	ISIRI 393	۳ روزه	
۳۱۰	---	ISIRI 393	۷ روزه	
۴۵۰	Min 425 Max 625	ISIRI 393	۲۸ روزه	
۰/۰۲	Max 0.8	ISIRI 391	(٪) انبساط اتوکلاو (٪)	
۲۲	Min 45	ISIRI 392	اولیه	زمان گیرش min
۲۶۵	Max 360	ISIRI 392	نهایی	
۳۰۰	Min 2800	ISIRI 390	Cm ² /gr بلین	

۳-۲- نسبت‌های مخلوط مصالح پرکننده بین بلوک‌های بتونی

در این تحقیق دو نوع ترکیب مختلف به عنوان ماده پرکننده مورد بررسی قرار گرفته است. جزئیات طرح اختلاط ترکیبات مطابق جدول شماره ۴ ارائه شده است.

جدول ۴- جزئیات طرح اختلاط مصالح پرکننده

کد طرح	نسبت اختلاط	المصالح افزوده شده	الصالح چسباننده
۱	۱ واحد سیمان + ۳ واحد ماسه [۸]	ماسه	سیمان
۲	۱ واحد رزین + ۱/۸ واحد پودر سنگ	پودر سنگ	رزین پلی استر غیراشباع



شکل ۴- جزئیات درزگیری بلوک‌های بتونی

۴-۲- عملیات آب‌بند کردن روسازی با مصالح

پرکننده

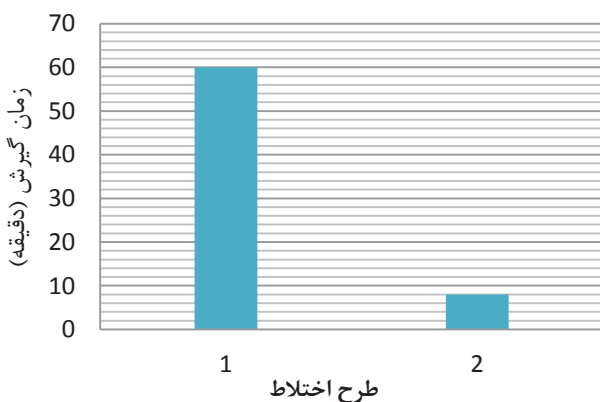
به منظور بهبود قفل و بست مابین بلوک‌های بتونی، از دو نوع چسباننده به عنوان مصالح اولیه برای درزگیری نهایی به ضخامت ۱ سانتی‌متر و عرض ۰/۳ سانتی‌متر مابین بلوک‌های بتونی برای درزگیری نهایی سطح روسازی استفاده شده است. فضای ۷ سانتی‌متر باقی مانده توسط ماسه درزبند خشک پر شده است (شکل شماره ۴).

میکروسکوپ الکترونی روشی (SEM)^{۱۲} از بافت سطحی مصالح بر اساس استاندارد ۲۲- E2809 [۲۶] تهیه شده است. آزمایش‌ها در محل سایت آزمایش روسازی بلوکی دانشگاه آزاد اسلامی سمنان انجام گرفته است.

۴- بحث و تحلیل نتایج

۱- زمان گیرش مصالح پرکننده

زمان گیرش مصالح مورد استفاده به عنوان پرکننده بین بلوک‌های بتنی از نظر افزایش سرعت ساخت یا تعمیر روسازی بتن بلوکی از اهمیت بالایی برخوردار است. زمان گیرش مصالح مورد استفاده در این پژوهش مطابق با نمودار شکل شماره ۶ ارائه گردیده است.



شکل ۶- مدت زمان لازم برای گیرش مصالح پرکننده سرعت گیرش مصالح پرکننده حاوی رزین پلی استر غیراشباع به همراه پودر سنگ ۵۲ دقیقه کمتر از مصالح پرکننده متداول (ملات ماسه و سیمان) بود که موجب ارتقا سرعت عملیات تعمیر در سطوح پروازی گردید.

تصویر بلوک‌های بتنی پس از آببندی مطابق با شکل شماره ۵ ارائه شده است.



(الف)



(ب)

شکل ۵- آببندی سطح روسازی: (الف) ملات ماسه و سیمان، (ب) رزین پلی استر غیر اشباع به همراه پودر سنگ

۳- آزمایش‌ها

آزمایش‌های تعیین ویسکوزیته و PH رزین به ترتیب بر اساس ISO 2555: 2018 [۲۴] و Manual for PH-meter 2016 [۲۵] آزمایش بیرون کشیدگی بلوک‌های بتنی به منظور ارزیابی قفل و بست بلوک‌های بتنی بر اساس استاندارد ASTM D4541-22 [۲۵]، آزمایش حلایت^{۱۱} مصالح پرکننده در مواجه با سوخت FAA JP-4 هواپیما بر اساس بند P-404 از استاندارد انجام گردیده است و همچنین تصاویر میکروسکوپی با استفاده از

^{۱۲} Scanning Electron Microscopy (SEM)

^{۱۱} Solubility

همچنین احتمال جداسدگی بخشی از مصالح ملات ماسه و سیمان به دلیل عدم پیوستگی کافی و متخلخل بودن، بیشتر از مصالح پایه رزین است. بنابراین استفاده از مصالح پرکننده پایه رزین گزینه مناسبی برای آبندی نهایی بلوکهای بتونی در سطوح پروازی فرودگاه است و در نتیجه استفاده از این مصالح، پتانسیل شاخص FOD نیز کاهش یافت. مصالح حاوی رزین دارای صلبیت بیشتری نسبت به ملات ماسه و سیمان است که موجب افزایش مقاومت این مصالح در برابر ضربه و فشارهای ناشی از عبور چرخ های هوایپما از سطح روسازی می شود. تصاویر شکستن مصالح پرکننده در اثر اعمال نیرو مطابق شکل شماره ۸ ارائه گردیده است.



(الف)

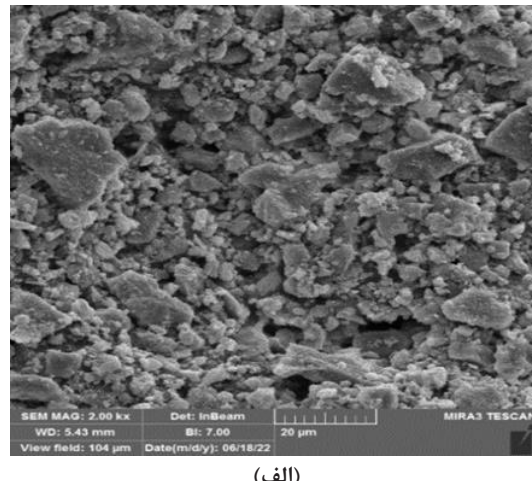


(ب)

شکل ۸- تصاویر مصالح پرکننده در هنگام خردشدن بر اثر نیروی وارد شده: (الف) ملات ماسه و سیمان، (ب) رزین پلی استر غیراشباع به همراه پودر سنگ ملات ماسه و سیمان پس از شکسته شدن به قطعات ریزتر تقسیم شد که به مرور زمان می تواند از

۲-۴- تصاویر میکروسکوپی از سطح مصالح پرکننده (SEM)

تصاویر میکروسکوپی از سطح مصالح پرکننده در مقیاس ۲۰ μm مطابق شکل شماره ۷ ارائه شده است.



(الف)



(ب)

شکل ۷- تصاویر میکروسکوپی از سطح مصالح پرکننده: (الف) ملات ماسه و سیمان، (ب) رزین پلی استر غیراشباع به همراه پودر سنگ

برمبانای تصاویر میکروسکوپی مشاهده گردید ملات ماسه و سیمان متخلخل بوده و پیوستگی بین مصالح آن کم است. استفاده از رزین موجب ایجاد سطحی یکپارچه در مصالح پرکننده شد. براساس تصاویر ارائه شده از مصالح پایه رزین مشخص گردید دانه های پودر سنگ به صورت کامل درون رزین حل نشده اما ترکیب پودر سنگ و رزین دارای پیوستگی کامل است و اثری از تخلخل مشاهده نگردیده است.

تصاویر مربوط به بلوک های بتنی پس از انجام آزمایش Pull-off مطابق شکل شماره ۱۱ ارائه گردیده است.



(الف)



(ب)

شکل ۱۱- تصاویر بلوک های بتنی پس از انجام آزمون Pull-off: (الف) ملات ماسه و سیمان، (ب) رزین پلی استر غیراشباع به همراه پودر سنگ

میان بلوک های بتنی خارج شده و علاوه بر افزایش احتمال آسیب ناشی از اجسام خارجی، نفوذ رطوبت به لایه های زیرین بلوک های بتنی را تسريع کند.

۳-۴- آزمون بیرون کشیدگی (Pull-off)

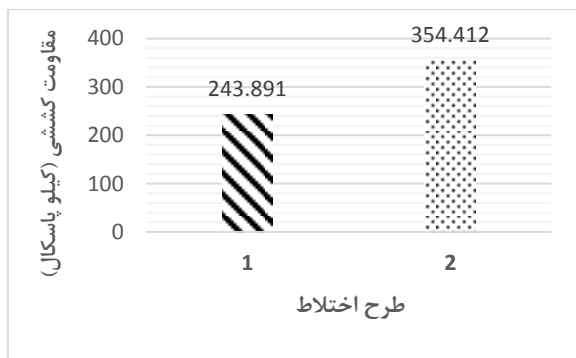
آزمون Pull-off بر روی سه بلوک بتنی که دور تا دور هر بک از آنها با مصالح رزین پلی استر غیراشباع به همراه پودر سنگ و ملات ماسه و سیمان به ارتفاع ۱ سانتی‌متر درزگیری شده بود، مطابق با استاندارد ۲۲ ASTM D4541 انجام گردیده است. نحوه انجام آزمون در شکل شماره ۹ و نتایج نیروی کششی نهایی وارد شده به هر بلوک برای جadasازی مطابق نمودار شکل شماره ۱۰ ارائه گردیده است.



شکل ۹- انجام آزمایش Pull-off بر روی بلوک های بتنی

۴-۴- آزمایش حلالیت

آزمایش حلالیت مطابق با بند P-404 از استاندارد FAA بر روی مصالح پرکننده روسازی بتن بلوکی انجام شده است [۱۴]. برهمین اساس مقداری از مصالح پرکننده برداشت و وزن آنها محاسبه گردیده است. درگام بعد معادل وزن برداشت شده، سوخت JP-4 هواپیما اضافه شده است. مصالح به مدت ۲۴ ساعت در شرایط غوطه وری در سوخت هواپیما قرار داشته‌اند. در نهایت پس از ۲۴ ساعت، مصالح از



شکل ۱۰- نتایج آزمایش Pull-off براساس نتایج مشخص گردید که استفاده از رزین باعث افزایش قفل و بست بین بلوک های بتنی به میزان ۴۵ درصد نسبت به پرکننده متداول (ملات ماسه و سیمان) شد.

۵-نتیجه‌گیری

بر مبنای آزمون‌های انجام گرفته، نتایج زیر بدست آمده است:

- سرعت گیرش مصالح پرکننده حاوی رزین پلی استر غیراشباع به همراه پودر سنگ ۵۲ دقیقه کمتر از مصالح پرکننده متداول (ملات ماسه و سیمان) بوده که موجب افزایش سرعت عملیات ترمیم و تعمیر در سطوح بروازی خواهد شد.

- بر مبنای مشاهدات میدانی مشخص گردیده است که مصالح حاوی رزین پلی استر غیراشباع دارای صلیبت و عدم انعطاف‌پذیری بوده است که می‌تواند باعث افزایش صلیبت رویه بتنی نیز شود، در حالی که روسازی بتن بلوکی یک روسازی نیمه صلب بوده و صلیبت بیشتر از سودمندی این روسازی خواهد کاست.

- بر مبنای تصاویر میکروسکوپی از بافت مصالح پرکننده و همچنین مشاهدات میدانی، استفاده از مصالح حاوی رزین پلی استر غیراشباع همراه با پودر سنگ، به علت ایجاد پیوستگی و صلیبت بیشتر موجب کاهش پتانسیل شاخص FOD گردید.

- بر مبنای آزمایش Pull-off، استفاده از مصالح پرکننده حاوی رزین موجب افزایش قفل و بست مابین بلوک‌های بتنی به میزان ۴۵٪ نسبت به ملات ماسه و سیمان (پرکننده متداول) به عنوان ماده درزگیر نهایی گردید.

- واکنش پذیری مصالح حاوی رزین پلی استر غیر اشباع در مواجه با سوخت هواپیما (JP-4) کمتر از ۰/۵٪ بوده است که این موضوع مقاومت این مصالح

حالت غوطه وری خارج و اقدام به از بین بردن ماده حلال (سوخت هواپیما) گردیده است. وزن مصالح پس از خشک شدن (از بین رفتن کامل سوخت هواپیما) محاسبه شد. درصد افت وزن مصالح قبل و بعد از قرار گیری در حلال مطابق با رابطه شماره ۱ محاسبه و با نتایج حلالیت مواد معمول پرکننده (ملات ماسه و سیمان) مقایسه گردید.

$$(1) \quad \frac{\text{وزن ثانویه} - \text{وزن اولیه}}{\text{وزن اولیه}} \times 100 = \text{درصد افت وزنی}$$

نتایج آزمایش حلالیت مطابق جدول شماره ۵ ارائه گردیده است.

جدول ۵-جزئیات طرح‌های اختلاط مصالح پرکننده

مصالح	درصد تغییرات وزن پس از ۲۴ ساعت غوطه وری در سوخت هواپیما
پرکننده حاوی رزین پلی استر غیراشباع به همراه پودر سنگ	-۰/۳٪
ملات ماسه و سیمان	۳٪

براساس نتایج حاصل، واکنش پذیری مصالح هر ۲ گروه نسبت به سوخت هواپیما حداقل بوده و از این میان، ملات ماسه و سیمان تغییرات وزنی بیشتری نسبت به مصالح حاوی رزین داشت (افزایش وزن) که علت عدمه آن ناشی از متخالخ بودن این مصالح بود (نسبت بیشتر ماسه در مقابل سیمان). مصالح حاوی رزین پلی استر غیراشباع به همراه پودر سنگ دچار خورندگی شد که میزان آن ۰/۳٪ بود.

افزایش قفل و بست و کاهش تغییر وزن و کاهش پتانسیل شاخص FOD در روش‌های سطوح داده است.

-امکان سنجی کاربرد مصالح پرکننده حاوی رزین پلی استر غیراشباع با توجه به بهبود پیوستگی، پروازی پیشنهاد می‌گردد.

۶- مراجع

- [1] Estates, D. (2011). *A guide to airfield pavement design and evaluation. Design & Maintenance Guide*, 27.
- [2] Gkyrtis, K., Armeni, A., Plati, C., & Loizos, A. (2021). Structural performance assessment of airfield concrete pavements based on field and laboratory data. *Infrastructures*, 6(12), 173.
- [3] Yeo, S. H., Mo, K. H., Hosen, M. A., & Mahmud, H. B. (2022). Properties of cementitious repair materials for concrete pavement. *Advances in Materials Science and Engineering*, 2022(1), 3057801.
- [4] Rollings, R. S., & Geotechnical Laboratory (US). (1983). *Concrete block pavements*.
- [5] FAA, Standard Specifications for Construction of Airports. 2018, Federal Aviation Administration: USA. p. 727.
- [6] Purwanto, P., & Priastiwi, Y. A. (2008). Testing of concrete paving blocks the BS EN 1338: 2003 British and European standard code. *Teknik*, 29(2), 80-84..
- [7] ASTM C936/C936M-23, Standard Specification for Solid Concrete Interlocking Paving Units, United States.
- [8] Taheri, V., Fakhri, M., & Hayati, P. (2021). Evaluation of airfield concrete block pavements based on 3-D modelling and plate loading test. *Construction and Building Materials*, 280, 122441.
- [9] Garilli, E., Autelitano, F., Roncella, R., & Giuliani, F. (2020). The influence of laying patterns on the behaviour of historic stone pavements subjected to horizontal loads. *Construction and Building Materials*, 258, 119657.
- [10] Emery, J., Lazar, M., & Burrows, G. R. (2004). A new paver system for airfields. In *Transportation Systems Workshop*, Fort Lauderdale USA.
- [11] Lin, W., Kim, D., Ryu, S., Hao, H., Ge, Y. E., & Cho, Y. H. (2018). Evaluation of the load dissipation behavior of concrete block pavements with various block shapes and construction patterns. *Journal of Materials in Civil Engineering*, 30(2), 04017291.
- [12] Hengl, H. L., Kluger-Eigl, W., Lukacevic, M., Blab, R., & Füssl, J. (2018). Horizontal deformation resistance of paving block superstructures-Influence of paving block type, laying pattern, and joint behavior. *Internacional Journal of Pavement Research and Technology*, 19(7), 1575-1594.

- [13] Shill, S. K., Al-Deen, S., & Ashraf, M. (2018). Concrete durability issues due to temperature effects and aviation oil spillage at military airbase—A comprehensive review. *Construction and Building Materials*, 160, 240-251.
- [14] FAA, Standard Specifications for Construction of Airports, in: Item P-404 Fuel-Resistant Asphalt Mix Pavement, 2018, FAA: USA. p. 24.
- [15] ASTM, Standard Specification for Jet-Fuel-Resistant Concrete Joint Sealer, Hot-Applied Elastic Type (Withdrawn 2006). 2017, ASTM: USA. p. 1.
- [16] Rizvi, H., Mehta, Y., Weis, D., Purdy, C., & Ali, A. (2019). Fuel Resistance Asphalt Binder: Mixing Procedure and Fuel Damage Resistance. In *Testing and Characterization of Asphalt Materials and Pavement Structures: Proceedings of the 5th GeoChina International Conference 2018—Civil Infrastructures Confronting Severe Weathers and Climate Changes: From Failure to Sustainability*, held on July 23 to 25, 2018 in HangZhou, China (pp. 1-11). Springer International Publishing.
- [17] FAA, Standard Specifications for Construction of Airports, in Item P-152, Excavation, Subgrade, and Embankmen. 2018, U.S. Department of Transportation, Federal Aviation Administration: USA. p. 103.
- [18] FAA, Standard Specifications for Construction of Airports, in Item P-154, Subbase Course. 2018, U.S. Department of Transportation Federal Aviation Administration: USA. p. 121.
- [19] AASHTO T191, Standard Method of Test for Density of Soil In-Place by the Sand-Cone Method. 2014, AASHTO: USA. p. 8.
- [20] FAA, Standard Specifications for Construction of Airports, in Item P-209, Crushed Aggregate Base Course. 2018, U.S. Department of Transportation Federal Aviation Administration: USA. p. 173.
- [21] FAA, Airport Pavement Design and Evaluation AC No:150/5320-6F, in Pavement Design. 2016, U.S. Department of Transportation Federal Aviation Administration: USA.
- [22] Toledo, M. (2016). A Guide to PH measurement: theory and practice of laboratory pH applications. Manual for pH-meter.
- [23] ASTM C188-09, A.S., Standard Test Method for Density of Hydraulic Cement. 2009, ASTM: USA.
- [24] ISO, E. (2018). 2555. Plastics—Resins in the Liquid State or as Emulsions or Dispersions—Determination of Apparent Viscosity Using a Single Cylinder Type Rotational Viscometer Method. European Committee for Standardization (CEN): Brussels, Belgium, Technical Committee ISO/TC61/SC5: Geneva, Switzerland.
- [25] ASTM D4541-22, Standard Test Method for Pull-Off Strength of Coatings Using Portable Adhesion Testers, ASTM International, 2022, ASTM: USA
- [26] ASTM E2809-22, A., Standard Guide for Using Scanning Electron Microscopy/Energy Dispersive X-Ray Spectroscopy (SEM/EDS) in Forensic Polymer Examinations. 2022, ASTM: USA. p. 8.

حقیقی

انجمن بتن ایران

معرفی تعدادی از اعضای

در این بخش اسامی تعدادی از اعضای جدید حقیقی
که به عضویت انجمن بتن رسیده‌اند، درج می‌گردد.



احمد کرمی عینی
شماره عضویت: ۸۷۳۳



علی ذوالقدری
شماره عضویت: ۸۷۳۲



علی رضا آشتیانور
شماره عضویت: ۸۷۳۱



کیمیا قاسمی
شماره عضویت: ۸۷۳۰



ابوالفضل ولی زاده نخجوگانلو
شماره عضویت: ۸۷۳۷



محمد شبانی کارکردی
شماره عضویت: ۸۷۳۶



مهدی داوودی
شماره عضویت: ۸۷۳۵



محمدامین جلیلی
شماره عضویت: ۸۷۳۴



سحررحمتی
شماره عضویت: ۸۷۴۸



سیده اعظم حسینی
شماره عضویت: ۸۷۴۱



آرمان نیک فرجام
شماره عضویت: ۸۷۴۹



کورش نصرالله زاده نسلی
شماره عضویت: ۸۷۴۸



محمد ملاحسینی
شماره عضویت: ۸۷۵۳



نگاره کریمان شاددل
شماره عضویت: ۸۷۵۲



علیرضا رادرسر
شماره عضویت: ۸۷۵۱



علی صادق زاده خیاطی
شماره عضویت: ۸۷۴۹

			
معین خوشرو شماره عضویت: ۸۷۵۷	بهنام فیضی پور شماره عضویت: ۸۷۵۶	نیما لطفی شماره عضویت: ۸۷۵۵	فرزاد یوسف تیز هوش شماره عضویت: ۸۷۵۴
			
شبnum ذکری شماره عضویت: ۸۷۷۲	سارا حقیقی شماره عضویت: ۸۷۷۱	کیهان رحمانی شماره عضویت: ۸۷۷۰	سیدپوریا تقوقی نکیه شماره عضویت: ۸۷۶۹
			
اسماعیل اعجازی حور شماره عضویت: ۸۷۷۶	محمد محمدحتشم معین شماره عضویت: ۸۷۷۵	عبدالله نجیب ایسینی شماره عضویت: ۸۷۷۴	سیامک چمدی تاشه کبد شماره عضویت: ۸۷۷۳
			
علی خلیلی فرد شماره عضویت: ۸۷۸۰	پرستو آشفته شماره عضویت: ۸۷۷۹	کاوه اکبری شماره عضویت: ۸۷۷۸	نیما بریجانی کروای شماره عضویت: ۸۷۷۷
			
کیمیا مظاہری شماره عضویت: ۸۷۸۴	سیده فاطمه کمالی شماره عضویت: ۸۷۸۳	ابوالفضل کریمی ساطی شماره عضویت: ۸۷۸۲	آرمین شیرکار شماره عضویت: ۸۷۸۱
			
سیدعلی حسینی شماره عضویت: ۸۷۸۸	ساناز دهقان شماره عضویت: ۸۷۸۷	حسین کریم پور شماره عضویت: ۸۷۸۶	فاطمه نیک شیجانی شماره عضویت: ۸۷۸۵

معرفی اعضای دانشجویی انجمن بتن ایران

در این بخش اسامی تعدادی از اعضای جدید دانشجویی که به عضویت انجمن بتن رسیده اند، درج می شود.

ردیف	نام نام خانوادگی	نام دانشگاه	شماره
۱	حسام اشرافی	دانشگاه صنعتی خواجه نصیرالدین طوسی	۸۶۶۴
۲	امیررضا صادقی	دانشگاه آزاد بیرون	۸۶۶۵
۳	امیررضا عارفی	دانشگاه آزاد اسلامی واحد تهران جنوب	۸۶۶۷
۴	پرنیان تمیز	دانشگاه آزاد اسلامی واحد پردیس	۸۶۸۰
۵	علیرضا فهمی پور	دانشگاه آزاد اسلامی واحد پردیس	۸۶۸۱
۶	نازنین میر	دانشگاه آزاد اسلامی واحد پردیس	۸۶۸۲
۷	زهراء حصاری شرا	دانشگاه آزاد اسلامی واحد پردیس	۸۶۸۳
۸	علیرضا رستمی	دانشگاه آزاد اسلامی واحد بیرون	۸۷۰۰
۹	محمد رضا کاظمی	دانشگاه آزاد اسلامی واحد پردیس	۸۷۰۱
۱۰	حانیه اسماعیلی	دانشگاه پیام نور تهران شرق	۸۷۲۷
۱۱	اعظم ارمکان	دانشگاه آزاد اسلامی واحد قم	۸۷۴۰